**COMMITTENTE:** 



PROGETTAZIONE:



# DIRETTRICE FERROVIARIA MESSINA - CATANIA - PALERMO NUOVO COLLEGAMENTO PALERMO - CATANIA

		INIED	<b>A QTDI</b>	ITTIID	E SUD
U	J.U.	IINER	ADIRI	JIIUR	C SUL

## **PROGETTO DEFINITIVO**

## TRATTA LERCARA DIR. - CALTANISSETTA XIRBI (LOTTO 3)

Opere di sostegno viabilità - Lotto 3b

NV54 - Rotatoria 2: Muro di sostegno MU81

Relazione di calcolo

SCALA:
_

COMMESSA LOTTO FASE ENTE TIPO DOC. OPERA/DISCIPLINA PROGR. REV.

RS3T 30 D 78 CL MU8100 001 B

Rev.	Descrizione	Redatto	Data	Verificato	Data	Approvato	Data	Autorizzato Data
Α	Emissione Esecutiva	ATI Sintagma Rocksoil - Edin	Feb-2020	A.Di Costanzo	Feb-2020	A.Barreca	Feb-2020	D.Tiberti
В	Emissione Esecutiva	ATI Sintagma Rocksoil - Edin	Apr-2020	A.Di Costanzo	Apr-2020	A.Barreca	Apr-2020	Apr-2020
			,	The state of the s				
								Prov. d.N.
								A STATE OF THE PERSON NAMED IN COLUMN TO STATE OF THE PER
								Ordine deg

File: RS3T.3.0.D.78.CL.MU.81.0.0.001.B



DIRETTRICE FERROVIARIA MESSINA – CATANIA – PALERMO NUOVO COLLEGAMENTO PALERMO – CATANIA TRATTA VALLELUNGA – CALTANISETTA XIRBI (LOTTO 3b)

OPERE DI SOSTEGNO VIABILITA' – LOTTO 3B

NV54: ROTATORIA 2: MURO DI SOSTEGNO MU81 RELAZIONE DI CALCOLO 
 COMMESSA
 LOTTO
 CODIFICA
 DOCUMENTO
 REV.
 FOGLIO

 RS3T
 30 D 78
 CL
 MU8100 001
 B
 2 di 119

## **INDICE**

1.	PREM	ESSA		6
	1.1	DE	SCRIZIONE DELL'OPERA	6
2.	NORM	IATIVA	DI RIFERIMENTO	9
3.	DOCU	MENTI	DI RIFERIMENTO	9
4.	UNITÀ	A DI MIS	SURA E SIMBOLOGIA	10
5.	CARA'	TTERIS	TICHE DEI MATERIALI	11
	5.1	CA	LCESTRUZZO	11
	5.2	AC	CIAIO IN BARRE AD ADERENZA MIGLIORATA B450 C	14
6.	INQUA	ADRAM	ENTO GEOTECNICO	15
7.	CRITE	RI DI V	ERIFICA	17
	7.1	VE	RIFICHE GEOTECNICHE (SLU) IN CONDIZIONI STATICHE	17
		7.1.1	VERIFICA A SCORRIMENTO	19
		7.1.2	VERIFICA A RIBALTAMENTO	20
		7.1.3	VERIFICA A CARICO LIMITE DELLA FONDAZIONE	20
		7.1.4	VERIFICA A STABILITÀ GLOBALE	20
	7.2	VE	RIFICHE GEOTECNICHE (SLV) IN CONDIZIONI SISMICHE	21
	7.3	VE	RIFICHE GEOTECNICHE (SLE)	23
	7.4	VE	RIFICHE GEOTECNICHE - URTO	24
	7.5	VE	RIFICHE STRUTTURALI SLU	25
		7.5.1	CRITERI DI VERIFICA DELLE SEZIONI IN C.A.	25
		7.5.2	VERIFICHE PER GLI STATI LIMITE ULTIMI A FLESSIONE - PRESSOFLESSIONE	25
		7.5.3	VERIFICA AGLI STATI LIMITE ULTIMI A TAGLIO	25
	7.6	VE	RIFICHE STRUTTURALI SLE	27
		7.6.1	VERIFICHE ALLE TENSIONI	27
		7.6.2	VERIFICHE A FESSURAZIONE	28
	7.7	VE	RIFICHE STRUTTURALI - URTO	30



NV54: ROTATORIA 2: MURO DI SOSTEGNO MU81 RELAZIONE DI CALCOLO 
 COMMESSA
 LOTTO
 CODIFICA
 DOCUMENTO
 REV.
 FOGLIO

 RS3T
 30 D 78
 CL
 MU8100 001
 B
 3 di 119

8.	ANAL	ISI DEI	CARICHI	31
	8.1	PES	SI PROPRI	31
	8.2	CA	RICHI PERMANENTI	33
		8.2.1	PARAPETTO METALLICO	33
		8.2.2	BARRIERA DI SICUREZZA	33
		8.2.3	SPINTA DEL TERRENO	33
	8.3	CA	RICHI VARIABILI	35
		8.3.1	CARICHI MOBILI DA TRAFFICO	35
	8.4	CA	RICHI ECCEZIONALI – URTO DA TRAFFICO VEICOLARE	36
	8.5	VA	LUTAZIONE DELL'AZIONE SISMICA	37
		8.5.1	VITA NOMINALE	37
		8.5.2	CLASSE D'USO	37
		8.5.3	PERIODO DI RIFERIMENTO	37
		8.5.4	PARAMETRI SISMICI	37
9.	COMB	INAZIO	NI DI CARICO	42
10.	PROGI	ЕТТО Е	VERIFICA DEL MURO DI SOSTEGNO "TIPO 1"	46
	10.1	DA	TI DI INPUT	46
	10.2	CA	LCOLO DELLE AZIONI	50
		10.2.1	FORZE VERTICALI E INERZIALI	50
		10.2.2	SPINTE IN CONDIZIONE STATICA	52
		10.2.3	SPINTE IN CONDIZIONE SISMICA +	53
		10.2.4	SPINTE IN CONDIZIONE SISMICA	54
		10.2.5	SPINTE IN PRESENZA DI URTO	55
	10.3	VE	RIFICHE GEOTECNICHE	56
		10.3.1 DRENA	VERIFICA STATICA A RIBALTAMENTO, SCORRIMENTO E CARICO LIMITE VERTICALE - C.	56
		10.3.2 DRENA	VERIFICA SISMICA A RIBALTAMENTO, SCORRIMENTO E CARICO LIMITE VERTICALE - C.	58



NV54: ROTATORIA 2: MURO DI SOSTEGNO MU81 RELAZIONE DI CALCOLO 
 COMMESSA
 LOTTO
 CODIFICA
 DOCUMENTO
 REV.
 FOGLIO

 RS3T
 30 D 78
 CL
 MU8100 001
 B
 4 di 119

		VERIFICA STATICA A RIBALTAMENTO, SCORRIMENTO E CARICO LIMITE VERTICALE - C.N	
	10.3.4 DRENA	VERIFICA STATICA A RIBALTAMENTO, SCORRIMENTO E CARICO LIMITE VERTICALE - C.N	
	10.3.5	VERIFICA DI STABILITÀ GLOBALE – COND. DRENATE	. 68
	10.3.6	VERIFICA DI STABILITÀ GLOBALE – COND. NON DRENATE	. 72
	10.4 VEF	RIFICHE STRUTTURALI	76
	10.4.1	CALCOLO DELLE SOLLECITAZIONI	. 76
	10.4.2	VERIFICHE SLU	. 78
	10.4.3	VERIFICHE SLE TENSIONE	. 80
	10.4.4	VERIFICHE SLE FESSURAZIONE	81
	10.4.5	VERIFICHE STRUTTURALI IN PRESENZA DI URTO	. 82
11. PR	OGETTO E	VERIFICA DEL MURO DI SOSTEGNO "TIPO 2"	83
	11.1 DA7	TI DI INPUT	83
	11.2 CAI	COLO DELLE AZIONI	87
	11.2.1	FORZE VERTICALI E INERZIALI	. 87
	11.2.2	SPINTE IN CONDIZIONE STATICA	. 89
	11.2.3	SPINTE IN CONDIZIONE SISMICA +	. 90
	11.2.4	SPINTE IN CONDIZIONE SISMICA	. 91
	11.2.5	SPINTE IN PRESENZA DI URTO	92
	11.3 VEF	RIFICHE GEOTECNICHE	93
	11.3.1 DRENA	VERIFICA STATICA A RIBALTAMENTO, SCORRIMENTO E CARICO LIMITE VERTICALE - C. TE	. 93
	11.3.2 DRENA	VERIFICA SISMICA A RIBALTAMENTO, SCORRIMENTO E CARICO LIMITE VERTICALE - C.	. 95
	11.3.3 NON D	VERIFICA STATICA A RIBALTAMENTO, SCORRIMENTO E CARICO LIMITE VERTICALE - C. RENATE	. 99
	11.3.4 DRENA	VERIFICA SISMICA A RIBALTAMENTO, SCORRIMENTO E CARICO LIMITE VERTICALE - C.	101
	11.3.5	VERIFICA DI STABILITÀ GLOBALE – COND. DRENATE	105



NV54: ROTATORIA 2: MURO DI SOSTEGNO MU81 RELAZIONE DI CALCOLO 
 COMMESSA
 LOTTO
 CODIFICA
 DOCUMENTO
 REV.
 FOGLIO

 RS3T
 30 D 78
 CL
 MU8100 001
 B
 5 di 119

	11.3.6	VERIFICA DI STABILITÀ GLOBALE – COND. NON DRENATE	. 109
11.4	4 VER	RIFICHE STRUTTURALI	. 113
	11.4.1	CALCOLO DELLE SOLLECITAZIONI	. 113
	11.4.2	VERIFICHE SLU	. 115
	11.4.3	VERIFICHE SLE TENSIONE	. 117
	11.4.4	VERIFICHE SLE FESSURAZIONE	. 118
	11.4.5	VERIFICHE STRUTTURALI IN PRESENZA DI URTO	119



### 1. PREMESSA

Il presente documento si inserisce nell'ambito della redazione degli elaborati tecnici di progetto definitivo della direttrice ferroviaria Messina-Catania-Palermo, nuovo collegamento Palermo-Catania tratta Vallelunga – Caltanisetta Xirbi (Lotto 3b).

#### 1.1 DESCRIZIONE DELL'OPERA

Nella presente relazione sono illustrati i calcoli e le verifiche del muro di sostegno MU81 che si sviluppa in pianta dal 0+012,34 km al km 0+102,91 km (Figura 1-1, Figura 1-2).

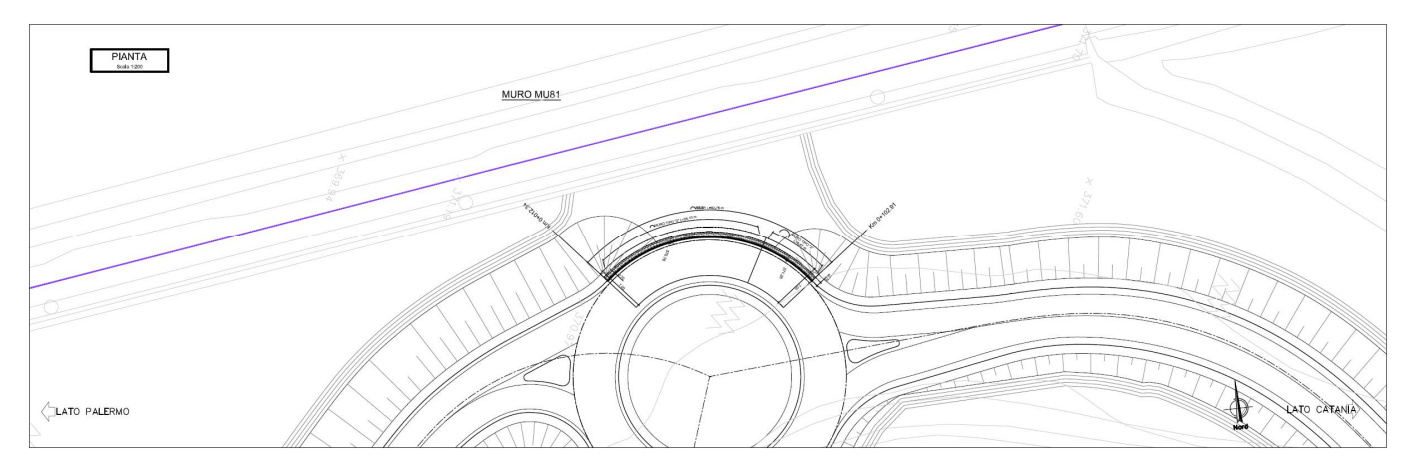


Figura 1-1 – NV54: Rotatoria 2: Muro di sostegno MU81 - Pianta.

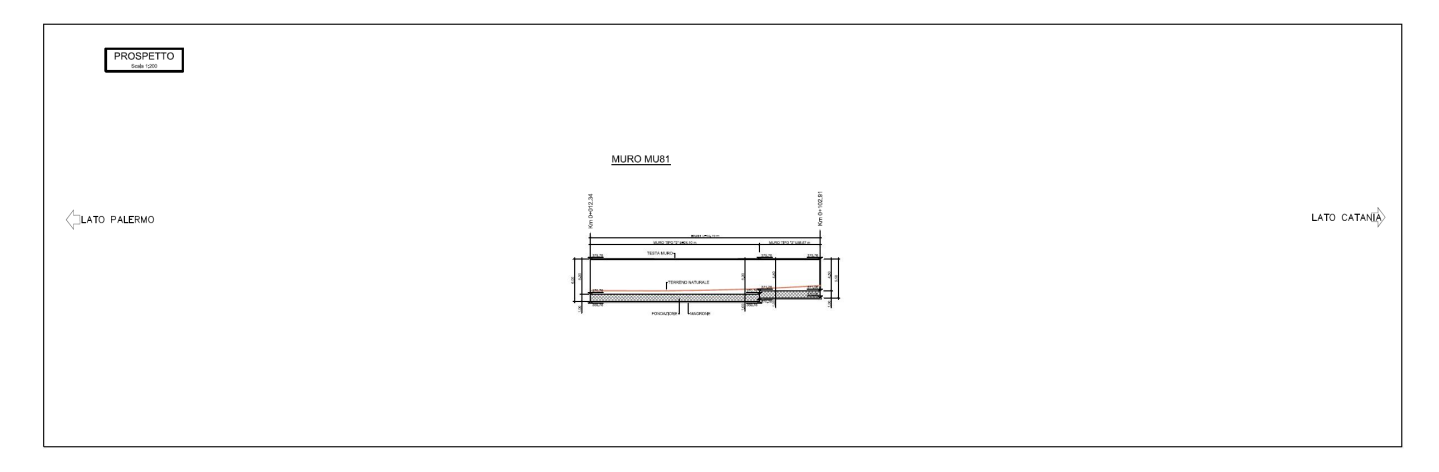


Figura 1-2 – NV54: Rotatoria 2: Muro di sostegno MU81 - Prospetto.



Quanto riportato di seguito consentirà di verificare che il dimensionamento della struttura è stato effettuato nel rispetto dei requisiti di resistenza richiesti all'opera.

L'altezza del muro è variabile con lo sviluppo dell'opera stessa fino ad un massimo di 6.00m, con spessore del paramento in testa di 0.4m, spessore della soletta di fondazione pari a 0.60m - 1.00m e larghezza della stessa pari a 4.20m - 5.50m.

Sono state individuate due tipologie di "muro di sostegno" le cui caratteristiche sono di seguito riassunte:

• muro "tipo 1" per altezze fino a 4,50 metri la fondazione del muro è diretta ed è caratterizzata da una lunghezza di 4.20 m e spessore 0.60 m. Il ricoprimento sopra la zattera di valle è pari ad almeno 20 cm. L'altezza del paramento massima è pari a 4.50 m (Figura 1-3).

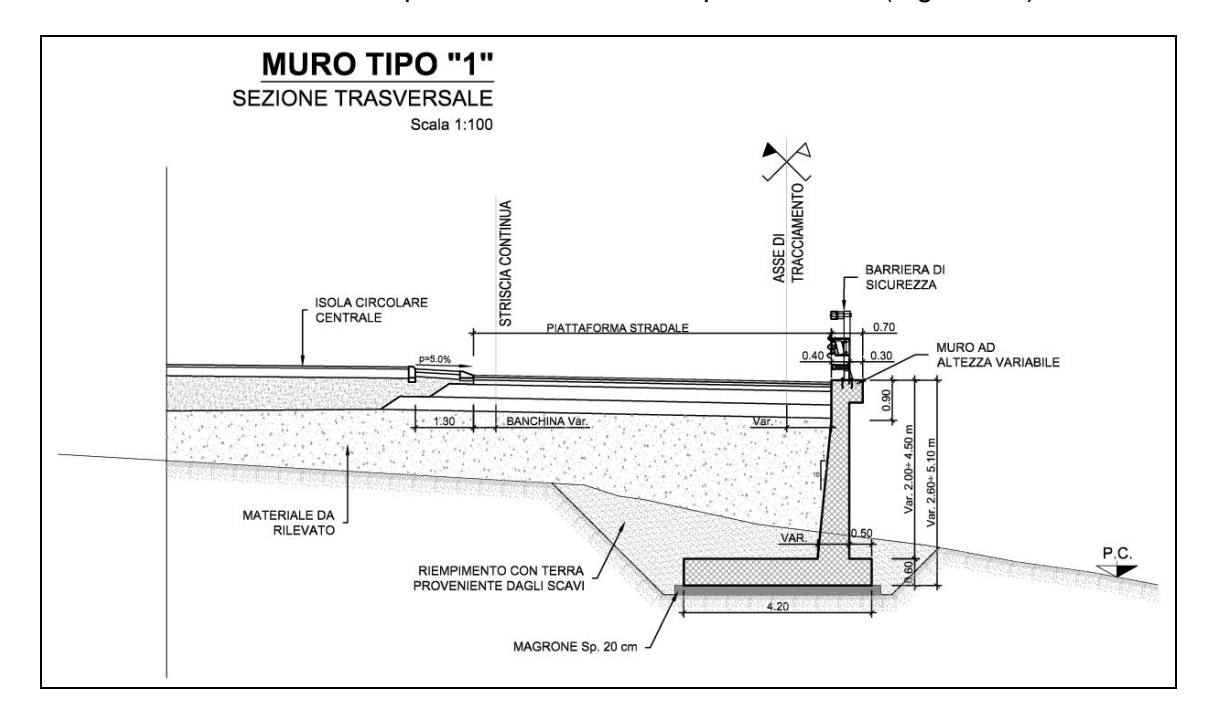


Figura 1-3 – NV54: Rotatoria 2: Muro di sostegno MU81 – Sezione tipo 1.

• muro "tipo 2" per altezze comprese tra 4.50 e 6.00 metri la fondazione del muro è diretta ed è caratterizzata da una lunghezza di 5.50 m e spessore 1.00 m. Il ricoprimento sopra la zattera di valle è pari ad almeno 20 cm. L'altezza del paramento massima è pari a 6.00 m (Figura 1-4).



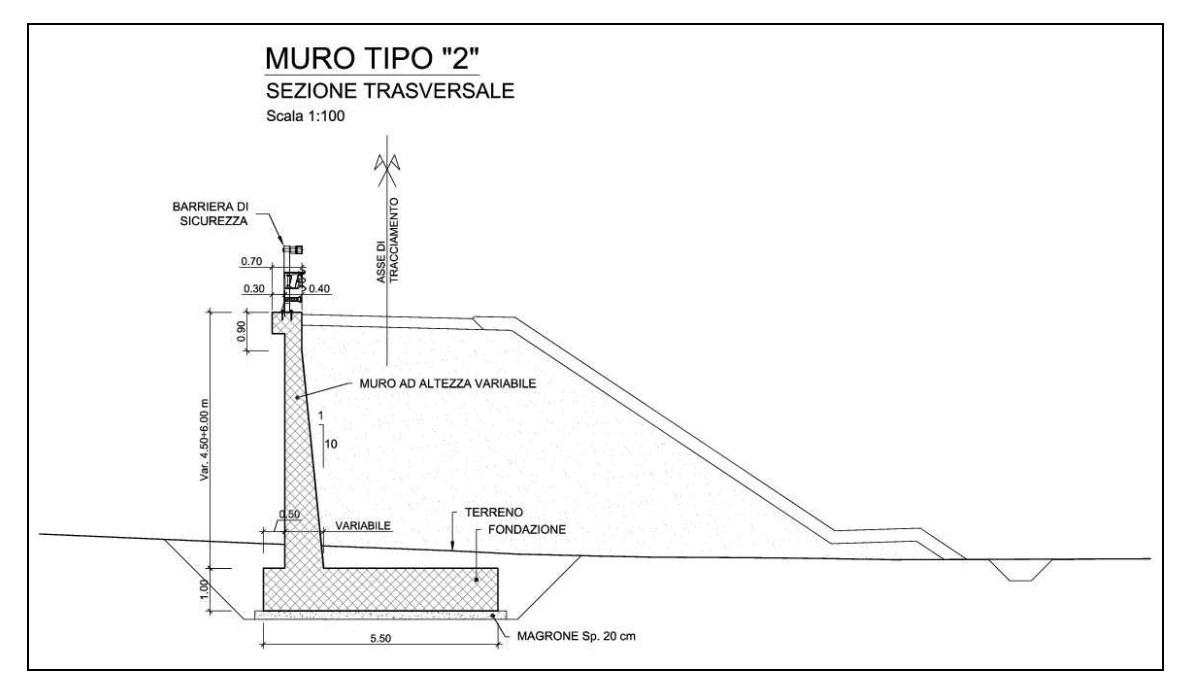


Figura 1-4 – NV54: Rotatoria 2: Muro di sostegno MU81 – Sezione tipo 2.

Di seguito si svolgerà la verifica per ogni tipo di muro precedentemente descritto caratterizzato dall'altezza di paramento massima.



NV54: ROTATORIA 2: MURO DI SOSTEGNO MU81 RELAZIONE DI CALCOLO 
 COMMESSA
 LOTTO
 CODIFICA
 DOCUMENTO
 REV.
 FOGLIO

 RS3T
 30 D 78
 CL
 MU8100 001
 B
 9 di 119

#### 2. NORMATIVA DI RIFERIMENTO

L'interpretazione dei risultati e la redazione della presente relazione sono stati effettuati nel rispetto della Normativa in vigore.

I principali riferimenti normativi sono i seguenti:

Norme Tecniche per le Costruzioni - D.M. 17-01-18 (NTC-2018);

Circolare n. 7 del 21 gennaio 2019 - Istruzioni per l'Applicazione dell'aggiornamento delle Norme Tecniche per le Costruzioni di cui al Decreto Ministeriale 17 gennaio 2018;

Regolamento (UE) N.1299/2014 del 18 novembre 2014 della Commissione Europea. Relativo alle specifiche tecniche di interoperabilità per il sottosistema "infrastruttura" del sistema ferroviario dell'Unione Europea.

Eurocodici EN 1991-2: 2003/AC:2010 - Eurocodice 1 - Parte 2

RFI DTC SI MA IFS 001 C del 21-12-18 - Manuale di Progettazione delle Opere Civili

#### 3. DOCUMENTI DI RIFERIMENTO

Vengono presi a riferimento i seguenti elaborati grafici progettuali di pertinenza:

RS3T.3.0.D.78.P9.MU.81.0.0.001: <u>"Opere di sostegno viabilità – Lotto 3b – NV54: Rotatoria 2: Muro di sostegno MU81 – Pianta, prospetto e sezioni"</u>

RS3T.3.0.D.78.TT.OC.00.0.0.007.A: <u>"Opere civili – Elaborati generali OO. CC. – Tabella incidenze armature Opere Civili Viabilità – Lotto 3b"</u>

RS3T.3.0.D.78.GE.GE.00.0.0.002.B: <u>"GEOTECNICA – Elaborati generali – Relazione geotecnica generale – opere all'aperto - Lotto 3b"</u>



DIRETTRICE FERROVIARIA MESSINA – CATANIA – PALERMO NUOVO COLLEGAMENTO PALERMO – CATANIA TRATTA VALLELUNGA – CALTANISETTA XIRBI (LOTTO 3b)

OPERE DI SOSTEGNO VIABILITA' – LOTTO 3B

NV54: ROTATORIA 2: MURO DI SOSTEGNO MU81 RELAZIONE DI CALCOLO COMMESSA LOTTO
RS3T 30 D 78

CODIFICA

DOCUMENTO MU8100 001

REV. FOGLIO

10 di 119

#### 4. UNITÀ DI MISURA E SIMBOLOGIA

Si utilizza il Sistema Internazionale (SI):

unità di misura principali

N (Newton) unità di forza

m (metro) unità di lunghezza

kg (kilogrammo-massa) unità di massa

s (secondo) unità di tempo

unità di misura derivate kN

(kiloNewton) 103N

MN (megaNewton) 106N

**kgf** (kilogrammo-forza) 1 kgf = 9.81 N

**cm** (centimetro) 10-2 m

mm (millimetro) 10-3 m

Pa (Pascal) 1 N/m2

kPa (kiloPascal) 103 N/m2

MPa (megaPascal) 106 N/m2

N/m3 (peso specifico)

g (accelerazione di gravità) ~9.81 m/s2

corrispondenze notevoli

1 MPa = 1 N/mm2

1 MPa ~ 10 kgf/cm2

Si utilizzano i seguenti principali simboli con le relative unità di misura normalmente adottate:

v (gamma) peso dell'unità di volume (kN/m3)

 $\sigma$  (sigma) tensione normale (N/mm2)



DIRETTRICE FERROVIARIA MESSINA – CATANIA – PALERMO NUOVO COLLEGAMENTO PALERMO – CATANIA TRATTA VALLELUNGA – CALTANISETTA XIRBI (LOTTO 3b)

OPERE DI SOSTEGNO VIABILITA' – LOTTO 3B

NV54: ROTATORIA 2: MURO DI SOSTEGNO MU81 RELAZIONE DI CALCOLO 
 COMMESSA
 LOTTO
 CODIFICA
 DOCUMENTO
 REV.
 FOGLIO

 RS3T
 30 D 78
 CL
 MU8100 001
 B
 11 di 119

τ (tau) tensione tangenziale (N / mm2)

 $\epsilon$  (epsilon) deformazione (m/m) -

#### 5. CARATTERISTICHE DEI MATERIALI

Le caratteristiche dei materiali sono ricavate con riferimento alle indicazioni contenute nei capitoli 4 e 11 del D.M. 17 gennaio 2018. Nelle tabelle che seguono sono indicate le principali caratteristiche e i riferimenti dei paragrafi del D.M. citato.

#### **5.1 CALCESTRUZZO**

• Elemento strutturale: <u>fondazione ed elevazione muro di sostegno</u>

Classe di resistenza = C32/40;

Rck = resistenza cubica = 40 N/mm2;

fck = resistenza cilindrica caratteristica = 0.83 Rck = 33.20 N/ mm2;

fcm = resistenza cilindrica media = fck + 8 = 41.20 N/ mm2;

fcd =  $\alpha$ cc fck/ $\gamma$ c = 18,81 N/mm2;

fctm = resistenza a trazione media =  $0.30 \times fck^2/3 = 3.10 \text{ N/ mm}^2$ ;

fcfm = resistenza a traz. per flessione media = 1.20 x fctm = 3.72 N/ mm2;

fcfk = resistenza a traz. per flessione carati. = 0.70 x fcfm = 2.60 N/ mm2;

Ecm = modulo elast. tra 0 e 0.40fcm =  $22000 \text{ x (fcm/10)}^{0.3} = 33642.78 \text{ N/ mm2}$ ;

Tolleranza di posa del copriferro = 10 mm;

Classe di esposizione XC4

Copriferro minimo c<sub>min</sub>= 45 mm

Condizioni ambientali: aggressive



NV54: ROTATORIA 2: MURO DI SOSTEGNO MU81 RELAZIONE DI CALCOLO 
 COMMESSA
 LOTTO
 CODIFICA
 DOCUMENTO
 REV.
 FOGLIO

 RS3T
 30 D 78
 CL
 MU8100 001
 B
 12 di 119

## CALCOLO COPRIFERRO - § C4.1.6.1.3 ISTRUZIONI NTC 2018

• Elemento strutturale: fondazione ed elevazione muro di sostegno	o – mure	<u>o tipo 1</u>
Diametro (o diametro equivalente) barre longitudinali:	20	[mm]
Diametro staffe:	10	[mm]
Classe Calcestruzzo:	C32/40	0
Condizioni ambientali:	Aggres	ssive
Vita nominale costruzione:	50	[anni]
Tolleranza di posa:	10	[mm]
Copriferro staffe:		
Copriferro minimo c <sub>min</sub> :	35	[mm]
Copriferro nominale Netto Staffe:	45	[mm]
Copriferro barre longitudinali:		
Copriferro nominale Netto barre longitudinali:	65	[mm]
Copriferro nominale dal Baricentro della Barra longitudinale:	75	[mm]
Elemento strutturale: fondazione ed elevazione muro di sostegno	o – mure	o tipo 2
Diametro (o diametro equivalente) barre longitudinali:	20	[mm]
Diametro staffe:	10	[mm]
Classe Calcestruzzo:	C32/40	0
Condizioni ambientali:	Aggres	ssive
Vita nominale costruzione:	50	[anni]
Tolleranza di posa:	10	[mm]
Copriferro staffe:		
Copriferro minimo c <sub>min</sub> :	35	[mm]
Copriferro nominale Netto Staffe:	45	[mm]
Copriferro barre longitudinali:		



NV54: ROTATORIA 2: MURO DI SOSTEGNO MU81 RELAZIONE DI CALCOLO 
 COMMESSA
 LOTTO
 CODIFICA
 DOCUMENTO
 REV.
 FOGLIO

 RS3T
 30 D 78
 CL
 MU8100 001
 B
 13 di 119

Copriferro nominale Netto barre longitudinali:

65 [mm]

Copriferro nominale dal Baricentro della Barra longitudinale: 75 [mm]



NV54: ROTATORIA 2: MURO DI SOSTEGNO MU81 RELAZIONE DI CALCOLO 
 COMMESSA
 LOTTO
 CODIFICA
 DOCUMENTO
 REV.
 FOGLIO

 RS3T
 30 D 78
 CL
 MU8100 001
 B
 14 di 119

#### 5.2 ACCIAIO IN BARRE AD ADERENZA MIGLIORATA B450 C

L'acciaio per cemento armato B450C è caratterizzato dai seguenti valori nominali delle tensioni caratteristiche di snervamento e rottura da utilizzare nei calcoli:

$f_{v \text{ nom}}$	450 N/mm <sup>2</sup>
$f_{t \text{ nom}}$	540 N/mm <sup>2</sup>

Tabella 5-1 Tensioni caratteristiche acciaio.

E deve rispettare i requisiti indicati nella seguente tabella:

CARATTERISTICHE	REQUISITI	FRATTILE (%)
Tensione caratteristica di snervamento f <sub>yk</sub>	$\geq f_{_{ m V \; nom}}$	5.0
Tensione caratteristica di rottura f <sub>tk</sub>	$\geq f_{\rm t\ nom}$	5.0
$(f_t/f_y)_k$	≥1,15 <1,35	10.0
$(f_v/f_{vnom})_k$	≤ 1,25	10.0
Allungamento (Agt)k:	≥ 7,5 %	10.0
Diametro del mandrino per prove di piegamento a 90 ° e successivo raddrizzamento senza cricche: $\phi < 12 \ \mathrm{mm}$	4φ	
12≤ φ ≤ 16 mm	5 ф	
per 16 < φ≤25 mm	8 ф	
per 25 < φ ≤ 40 mm	10 ф	

Tabella 5-2 Requisiti acciaio.

#### Inoltre si ha:

- Es = 210000 N/mm2
- Sovrapposizioni barre ≥ 40φ

Resistenza di calcolo dell'acciaio per la verifica agli SLU (γs=1.15):

Resistenza di calcolo a rottura per trazione e deformazione corrispondente:

- fyd = fyk/γs 391.3 N/mm2
- $\epsilon yd = fyd/Es 0.186\%$



NV54: ROTATORIA 2: MURO DI SOSTEGNO MU81 RELAZIONE DI CALCOLO 
 COMMESSA
 LOTTO
 CODIFICA
 DOCUMENTO
 REV.
 FOGLIO

 RS3T
 30 D 78
 CL
 MU8100 001
 B
 15 di 119

#### 6. INQUADRAMENTO GEOTECNICO

Il modello geotecnico di calcolo è stato definito sulla base di quanto riportato nella relazione geotecnica: Si riportano di seguito i terreni su cui poggiano i muri di sostegno lungo il tracciato, con i parametri fisici e meccanici ad essi assegnati. Da un'analisi dei dati a disposizione emerge che lo strato di terreno sul quale verrà impostato il piano di posa della fondazione dei muri di sostegno è caratterizzato dai valori dei parametri di calcolo riportati in Tabella 6-1. Per quanto riguarda i parametri meccanici assunti nel calcolo si sono considerati i valori medi dell'intervallo di variabilità riportato nel profilo geotecnico.

Si evidenzia, inoltre, la presenza di una coltre superficiale di circa 2m le cui caratteristiche non risultano tali da permettervi l'impostazione del piano di posa del muro di sostegno.

Unità litologiche da p.c.	da [m]	a [m]	Y [kN/m³]	c' <sub>k</sub> [kPa]	φ' <sub>k</sub> [°]	c <sub>u</sub> [kPa]	<i>E₀</i> [MPa]
a2	2.00	7.00	19	15	25	75	100
TRVa	7.00	-	21	0	39	-	-

Tabella 6-1 – Valori di calcolo dei parametri geotecnici del terreno

In cui:

y = peso specifico del terreno;

 $c'_k$  = coesione efficace;

 $\varphi'_k$  = angolo d'attrito efficace;

 $c_u$  = coesione non drenata;

 $E_0$  = Modulo dinamico del terreno;

Il rilevato a monte avrà superficie orizzontale.

La falda è posta ad una profondità superiore a 5.0 metri dal piano campagna.

Per le caratteristiche dei rilevati stradali si assumono i seguenti parametri:

GRUPPO FERROVIE DELLO STATO ITALIANE	NUOVO COI TRATTA VA	LLEGAME LLELUNG	NTO PALERI	NA – CATANIA – NO – CATANIA SETTA XIRBI (LO – LOTTO 3B		0
NV54: ROTATORIA 2: MURO DI SOSTEGNO MU81 RELAZIONE DI CALCOLO	COMMESSA RS3T	LOTTO 30 D 78	CODIFICA CL	DOCUMENTO	REV.	FOGLIO 16 di 119

- peso volume,  $\gamma$ = 19 kN/m<sup>3</sup>;
- angolo d'attrito,  $\phi$ ' = 35°;
- coesione efficace c' = 0 kPa.

Per l'inquadramento geotecnico si rimanda alla "Relazione geotecnica generale" e ai relativi profili geotecnici.

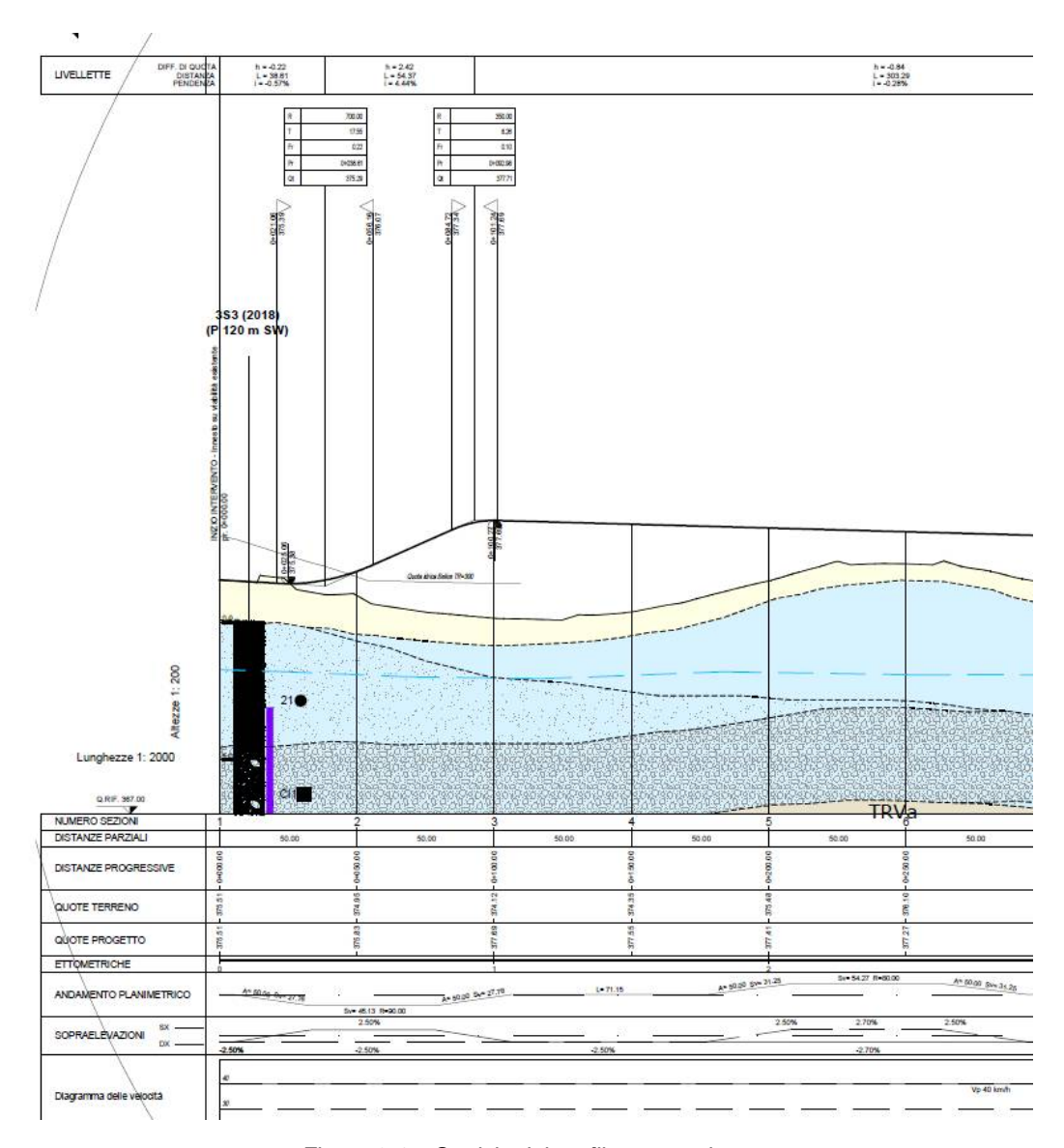


Figura 6-1 – Stralcio del profilo geotecnico.



#### 7. CRITERI DI VERIFICA

### 7.1 VERIFICHE GEOTECNICHE (SLU) IN CONDIZIONI STATICHE

Nelle verifiche di sicurezza si è preso in considerazione tutti i meccanismi di stato limite ultimo sia a breve termine sia a lungo termine. Gli stati limite ultimi delle opere di sostegno si riferiscono allo sviluppo di meccanismi di collasso determinati dalla mobilitazione della resistenza del terreno, e al raggiungimento della resistenza degli elementi strutturali che compongono le opere stesse.

Per i muri di sostegno su fondazione diretta si considerano i seguenti Stati Limite Ultimi:

## SLU di tipo geotecnico (GEO)

- · Scorrimento sul piano di posa;
- Collasso per carico limite del complesso fondazione-terreno;
- Ribaltamento;
- Stabilità globale del complesso opera di sostegno-terreno.

#### SLU di tipo strutturale (STR)

Raggiungimento della resistenza negli elementi strutturali.

La verifica di stabilità globale del complesso opera di sostegno – terreno deve essere effettuata, analogamente a quanto previsto al §6.8 delle NTC2018, secondo l'Approccio 1 – Combinazione 2 (A2+M2+R2), tenendo conto dei coefficienti parziali riportati nelle Tabelle 6.2.I, 6.2.II e 6.8.I delle NTC18.

Le rimanenti verifiche devono essere effettuate secondo l'Approccio 2 con la combinazione (A1+M1+R3), tenendo conto dei valori dei coefficienti parziali riportati nelle 6.2.I, 6.2.II, 6.4.II e 6.4.VI delle NTC18.

Il progetto e la verifica dei muri di sostegno sono stati effettuati con l'ausilio di fogli di calcolo nei quali vengono implementate tutte le caratteristiche geometriche dei muri insieme ai parametri di resistenza geotecnica.

Per ogni tipologia di muro di sostegno studiata, si è verificato che le caratteristiche geometriche siano tali che il muro possa essere considerato a mensola con suola lunga (vedere Figura 7-1), così come previsto al §3.10.3.3. del Manuale di Progettazione delle Opere Civili (RFI DTC SI MA IFS 001 C).



Si è considerato, pertanto, che la spinta sull'opera di sostegno agisca sul piano verticale cd, assunto come il paramento virtuale del muro.

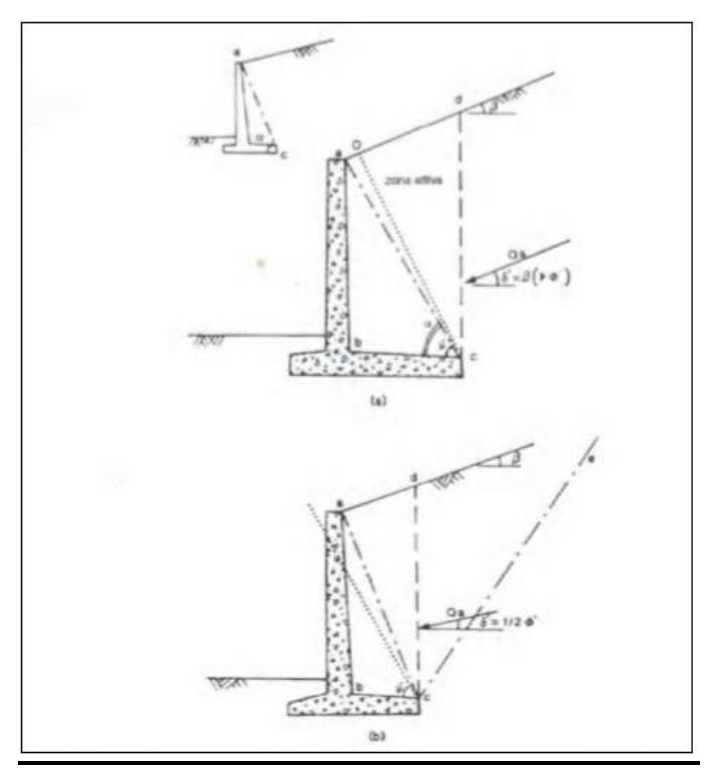


Figura 7-1 – Spinta sui muri di sostegno a mensola con suola lunga (caso a) e con suola corta (caso b).

Su tale paramento l'angolo di inclinazione  $\delta$  della risultante della spinta (applicata ad 1/3 dell'altezza del paramento virtuale) si potrà assumere uguale all'angolo di inclinazione  $\beta$  del terrapieno, a meno che  $\beta$  non sia superiore all'angolo di resistenza al taglio del terreno  $\phi$ ', nel qual caso si potrà assumere  $\delta = \phi$ '.

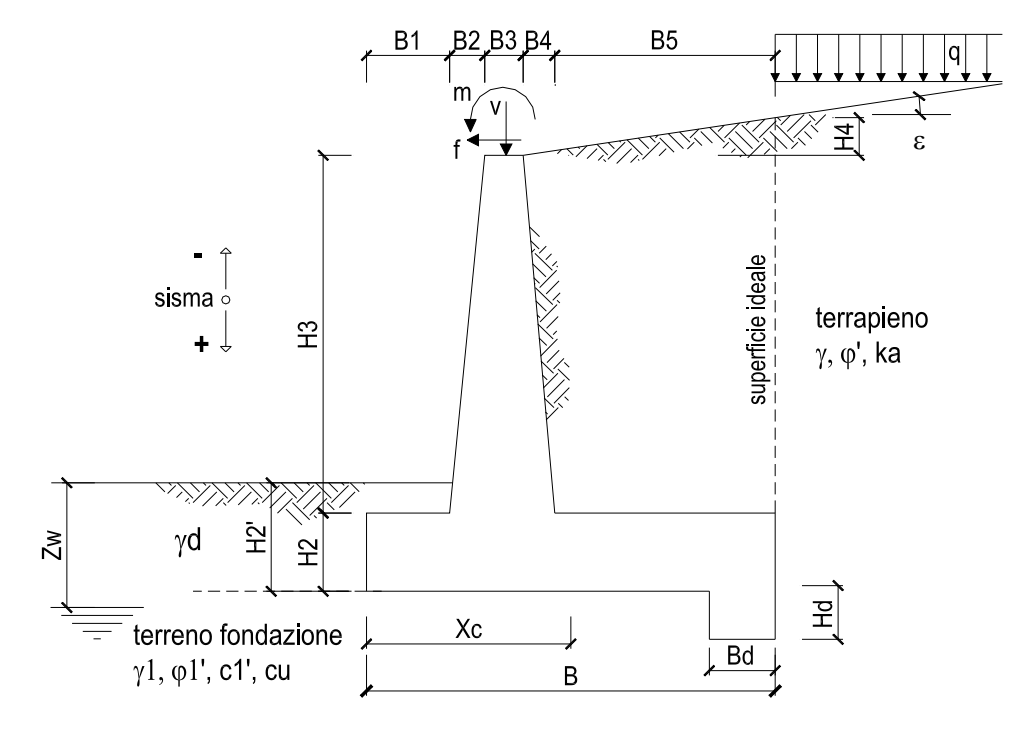
Il terreno al di sopra della suola (abcd) è stato considerato stabilizzante nelle verifiche, e ad esso sono da applicarsi le forze d'inerzia in fase sismica.

Inoltre nella verifica a scorrimento e a ribaltamento dei muri di sostegno viene trascurata la resistenza passiva antistante il muro.

Nel nostro caso l'angolo di attrito fondazione-terreno nelle verifiche a scorrimento è pari a  $\phi'_{cv} = \arctan{(\tan{\phi'})}$ 

Le caratteristiche geometriche sono riportate sinteticamente nel seguente schema:





#### 7.1.1 VERIFICA A SCORRIMENTO

La verifica dell'equilibrio allo stato limite di scorrimento viene condotta confrontando l'azione resistente R<sub>h</sub>, pari al prodotto della risultante delle forze verticali per il coefficiente d'attrito con l'azione instabilizzante, pari alla risultante di tutte le componenti orizzontali delle forze agenti sul muro.

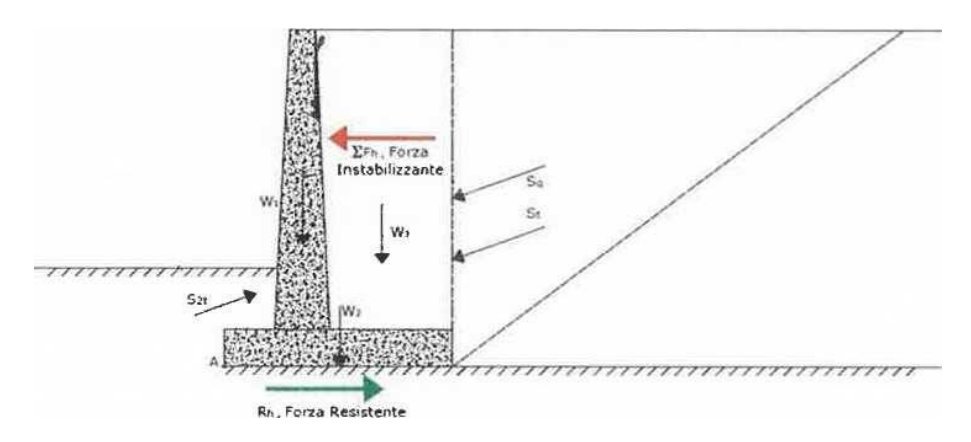


Figura 7-2 – Verifica a scorrimento.

In condizioni sismiche, ai fini del dimensionamento, si fa riferimento ad un sisma agente da monte verso valle del muro, in direzione orizzontale, dal basso verso l'alto e dall'alto verso il basso, in direzione verticale.



#### 7.1.2 VERIFICA A RIBALTAMENTO

L'equilibrio allo stato limite è condotto confrontando il momento delle forze stabilizzanti e quello delle forze ribaltanti, entrambi rispetto all'estremo A di valle della fondazione.

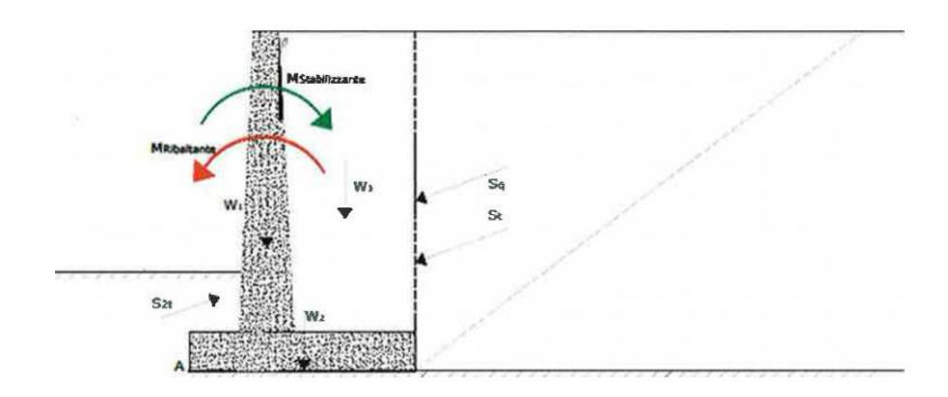


Figura 7-3- Verifica a ribaltamento.

#### 7.1.3 VERIFICA A CARICO LIMITE DELLA FONDAZIONE

Per il calcolo della capacità portante della fondazione si è fatto riferimento alla formula di Brinch-Hansen (1970) integrata dai coefficienti sismici di Paolucci e Pecker (1995), di seguito riportata:

$$q_{lim} = c' N_c s_c d_c i_c b_c g_c z_c + q N_q s_q d_q i_q b_q g_q z_q + 0.5 y B N s_v d_v i_v b_v g_v z_v$$

$$F_s = q_{lim} / q_{es}$$

con  $q_{es} = N / (B'*L')$  la pressione dovuta al carico verticale.

#### 7.1.4 VERIFICA A STABILITÀ GLOBALE

Per le verifiche di stabilità dei pendii naturali si ricorre, nell'ambito dei metodi all'equilibrio limite, ai cosiddetti metodi delle strisce, in particolare il metodo di Bishop. Si ipotizza una superficie cilindrica di scorrimento potenziale, S, si suddivide idealmente la porzione di terreno delimitato da questa e dalla superficie topografica in n conci e si analizza l'equilibrio limite di ciascun concio.



NV54: ROTATORIA 2: MURO DI SOSTEGNO MU81 RELAZIONE DI CALCOLO 
 COMMESSA
 LOTTO
 CODIFICA
 DOCUMENTO
 REV.
 FOGLIO

 RS3T
 30 D 78
 CL
 MU8100 001
 B
 21 di 119

## 7.2 VERIFICHE GEOTECNICHE (SLV) IN CONDIZIONI SISMICHE

L'analisi della sicurezza dei muri di sostegno in condizioni sismiche può essere eseguita mediante i metodi pseudo-statici e i metodi degli spostamenti.

L'analisi pseudo-statica si esegue mediante i metodi dell'equilibrio limite. Il modello di calcolo deve comprendere l'opera di sostegno, il volume di terreno a tergo dell'opera, che si suppone in stato di equilibrio limite attivo, e gli eventuali sovraccarichi agenti sul volume suddetto.

Nell'analisi pseudo-statica, l'azione sismica è rappresentata da una forza statica equivalente pari al prodotto delle forze di gravità per un opportuno coefficiente sismico.

Nelle verifiche, i valori dei coefficienti sismici orizzontale  $k_h$  e verticale  $k_v$  possono essere valutati mediante le espressioni

$$k_h = \beta_m \frac{a_g}{a}$$

$$k_v = \pm 0.5 \ k_h$$

dove:

 $\beta_m$  = coefficiente di riduzione dell'accelerazione massima attesa al sito;

 $a_{max}$  = accelerazione orizzontale massima attesa al sito;

g = accelerazione di gravità.

In assenza di analisi specifiche della risposta sismica locale, l'accelerazione massima può essere valutata con la relazione

$$a_{max} = S \cdot a_g = (S_S \cdot S_T) \cdot a_g$$

dove:

S = coefficiente che comprende l'effetto dell'amplificazione stratigrafica ( $S_S$ ) e dell'amplificazione topografica ( $S_T$ ) di cui al paragrafo 3.2.3.2 delle NTC18.

Nella precedente espressione, il coefficiente di riduzione dell'accelerazione massima attesa al sito è pari a:

 $\beta_m = 0.38$  nelle verifiche allo stato limite ultimo (SLV)

 $\beta_m$  = 0.47 nelle verifiche allo stato limite di esercizio (SLD)



NV54: ROTATORIA 2: MURO DI SOSTEGNO MU81 RELAZIONE DI CALCOLO 
 COMMESSA
 LOTTO
 CODIFICA
 DOCUMENTO
 REV.
 FOGLIO

 RS3T
 30 D 78
 CL
 MU8100 001
 B
 22 di 119

Per muri non liberi di subire spostamenti relativi rispetto al terreno, il coefficiente  $\beta_m$  assume valore unitario.

Nel caso di muri liberi di traslare o di ruotare intorno al piede, si può assumere che l'incremento di spinta dovuta al sisma agisca nello stesso punto di quella statica. Negli altri casi, in assenza di studi specifici, si deve assumere che tale incremento sia applicato a metà altezza del muro.

Lo stato limite di ribaltamento deve essere trattato impiegando coefficienti parziali unitari sulle azioni e sui parametri geotecnici (paragrafo 7.11.1 delle NTC18) e utilizzando valori di  $\beta_m$  incrementati del 50% rispetto a quelli innanzi indicati e comunque non superiori all'unità.

In condizioni sismiche deve essere soddisfatta la verifica di stabilità del complesso muro – terreno con i criteri indicati al paragrafo 7.11.4 delle NTC2018.

Il calcolo della spinta in condizioni sismiche è stato effettuato impiegando la Teoria di Mononobe – Okabe.

La teoria di Mononobe – Okabe fa uso del metodo dell'equilibrio limite e può essere considerata una estensione della teoria di Coulomb, in cui, alle usuali spinte al contorno del cuneo instabile di terreno, sono sommate anche le azioni inerziali orizzontali e verticali dovute all'accelerazione delle masse.

Le spinte Attiva e Passiva si calcolano come:

$$S_{a,t} = \frac{1}{2} \gamma \cdot k_{as} \cdot h^2 \cdot (1 \mp k_v)$$

Il coefficiente k<sub>as</sub> è valutato, quindi, secondo tale formulazione, in cui i simboli usati sono:

 $\phi$  = angolo di attrito interno del terrapieno;

 $\psi$  = angolo di inclinazione rispetto all'orizzontale della parete interessata del muro;

 $\beta$  = angolo di inclinazione rispetto all'orizzontale del profilo del terrapieno;

 $\delta$  = angolo di attrito terrapieno – muro;

 $\theta$  = angolo di rotazione addizionale definito come segue.

$$tan\theta = \frac{k_h}{1 \mp k_h}$$

Il coefficiente per stati di spinta attiva si divide in due casi:



NV54: ROTATORIA 2: MURO DI SOSTEGNO MU81 RELAZIONE DI CALCOLO 
 COMMESSA
 LOTTO
 CODIFICA
 DOCUMENTO
 REV.
 FOGLIO

 RS3T
 30 D 78
 CL
 MU8100 001
 B
 23 di 119

$$\beta \leq \phi - \theta \rightarrow k_{as} = \frac{\sin^2(\psi + \phi - \theta)}{\cos\theta \cdot \sin^2\psi \cdot \sin(\psi - \theta - \delta) \left[1 + \sqrt{\frac{\sin(\phi + \delta) \cdot \sin(\phi - \beta - \theta)}{\sin(\psi - \theta - \delta) \cdot \sin(\psi + \beta)}}\right]^2}$$

$$\beta > \phi - \theta \rightarrow k_{as} = \frac{\sin^2(\psi + \phi - \theta)}{\cos\theta \cdot \sin^2\psi \cdot \sin(\psi - \theta - \delta)}$$

Il coefficiente per stati di spinta passiva è invece:

$$k_{ps} = \frac{\sin^2(\psi + \phi - \theta)}{\cos\theta \cdot \sin^2\psi \cdot \sin(\psi + \theta) \left[1 - \sqrt{\frac{\sin\phi \cdot \sin(\phi + \beta - \theta)}{\sin(\psi + \beta) \cdot \sin(\psi + \theta)}}\right]^2}$$

## 7.3 VERIFICHE GEOTECNICHE (SLE)

Per ciascun stato limite di esercizio deve essere rispettata la condizione [6.2.7] delle NTC 2018:

$$E_d \leq C_d$$

essendo E<sub>d</sub> e C<sub>d</sub> rispettivamente il valore di progetto dell'effetto delle azioni e il prescritto valore limite dell' effetto delle azioni (spostamenti, rotazioni, distorsioni, ecc.).

In particolare, dovranno essere valutati gli spostamenti delle opere di sostegno e del terreno circostante per verificarne la compatibilità con la funzionalità delle opere stesse e con la sicurezza e funzionalità dei manufatti adiacenti, anche a seguito di modifiche indotte sul regime delle pressioni interstiziali.

Per i lavori e le opere da realizzare in prossimità di linee ferroviarie già in esercizio, le verifiche agli SLE dovranno essere condotte assumendo come limite degli spostamenti indotti durante la costruzione sui binari in esercizio i valori limite dei difetti riferiti al secondo livello di qualità descritti nella specifica tecnica RFI TCAR ST AR 01 001 D "Standard di qualità geometrica del binario con velocità fino a 300 km/h" e relativi allegati.

Qualora vengano superati i limiti riferiti al primo livello di qualità, il progetto dovrà prevedere l'esecuzione di un monitoraggio del binario durante la costruzione al fine di controllare l'effettivo andamento delle deformazioni.



NV54: ROTATORIA 2: MURO DI SOSTEGNO MU81 RELAZIONE DI CALCOLO

COMMESSA	LOTTO	CODIFICA	DOCUMENTO	REV.	FOGLIO
RS3T	30 D 78	CL	MU8100 001	В	24 di 119

#### 7.4 VERIFICHE GEOTECNICHE - URTO

L'urto rappresenta un carico eccezionale quindi la combinazione di riferimento vede i coefficienti parziali delle azioni e dei materiali pari all'unità.

Si eseguirà la verifica a scorrimento e a ribaltamento per le quali si applica un carico di 100 kN diffuso sulla lunghezza del muro, che a favore di sicurezza si considera pari a 10 m da cui:

f = 100/10 = 10 kN/m forza in testa

m = f 1 = 10 kNm/m momento in testa al muro



#### 7.5 VERIFICHE STRUTTURALI SLU

Le verifiche di resistenza delle sezioni sono eseguite secondo il metodo semiprobabilistico agli stati limite. I coefficienti di sicurezza adottati sono i sequenti:

- coefficiente parziale di sicurezza per il calcestruzzo: 1.50;
- coefficiente parziale di sicurezza per l'acciaio in barre: 1.15;

Il paragrafo in oggetto illustra nel dettaglio i criteri generali adottati per le verifiche strutturali e geotecniche condotte nel progetto. Ulteriori dettagli di carattere specifico, laddove impiegati, sono dichiarati e motivati nelle relative risultanze delle verifiche.

#### 7.5.1 CRITERI DI VERIFICA DELLE SEZIONI IN C.A.

Per le sezioni in cemento armato si effettuano:

- verifiche per gli stati limite ultimi a presso-flessione;
- · verifiche per gli stati limite ultimi a taglio;
- verifiche per gli stati limite di esercizio.

### 7.5.2 VERIFICHE PER GLI STATI LIMITE ULTIMI A FLESSIONE - PRESSOFLESSIONE

Allo stato limite ultimo, le verifiche a flessione o presso-flessione sono condotte confrontando (per le sezioni più significative) le resistenze ultime e le sollecitazioni massime agenti, valutando di conseguenza il corrispondente fattore di sicurezza.

#### 7.5.3 VERIFICA AGLI STATI LIMITE ULTIMI A TAGLIO

La verifica allo stato limite ultimo per azioni di taglio è condotta secondo quanto prescritto dal DM17/01/2018, per elementi con armatura a taglio verticali.

Si fa, pertanto, riferimento ai seguenti valori della resistenza di calcolo:

- resistenza di calcolo dell'elemento privo di armatura a taglio:

$$V_{Rd} = \max \left\{ \left[ 0.18 \cdot k \cdot (100 \cdot \rho_1 \cdot f_{ck})^{1/3} / \gamma_c + 0.15 \cdot \sigma_{cp} \right] b_w \cdot d; \ (v_{\min} + 0.15 \cdot \sigma_{cp}) \cdot b_w d \right\}$$

- valore di progetto dello sforzo di taglio che può essere sopportato dall'armatura a taglio alla tensione di snervamento:



 $V_{Rsd} = 0.9 \cdot d \cdot \frac{A_{sw}}{s} \cdot f_{yd} \cdot (ctg\alpha + ctg\theta) \cdot sin \alpha$ 

- valore di progetto del massimo sforzo di taglio che può essere sopportato dall'elemento, limitato dalla rottura delle bielle compresse:

$$V_{Rcd} = 0.9 \cdot d \cdot b_w \cdot \alpha_c v \cdot f_{cd} (ctg\alpha + ctg\theta)/(1 + ctg^2 \theta)$$

Nelle espressioni precedenti, i simboli hanno i seguenti significati:

$$k=1+\sqrt{\frac{200}{d}}\leq 2 \text{ con d in mm};$$

$$\rho_1 = \frac{A_{sl}}{b_w \cdot d} \leq 0.02;$$

A<sub>sl</sub> è l'area dell'armatura tesa;

b<sub>w</sub> è la larghezza minima della sezione in zona tesa;

$$\sigma_{cp} = \frac{N_{Ed}}{A_c} < 0.2 \cdot f_{cd};$$

N<sub>Ed</sub> è la forza assiale nella sezione dovuta ai carichi;

A<sub>c</sub> è l'area della sezione di calcestruzzo;

$$v_{\min} = 0.035 \cdot k^{3/2} \cdot f_{ck}^{-1/2};$$

 $1 \le \cot \theta \le 2.5$  è l'inclinazione dei puntoni di calcestruzzo rispetto all'asse della trave;

A<sub>sw</sub> è l'area della sezione trasversale dell'armatura a taglio;

s è il passo delle staffe;

 $f_{ywd}$  è la tensione di snervamento di progetto dell'armatura a taglio;

 $\mathbf{f'}_{cd} = \mathbf{0.5} \cdot \mathbf{f}_{cd}$  è la resistenza ridotta a compressione del calcestruzzo d'anima;



NV54: ROTATORIA 2: MURO DI SOSTEGNO MU81 RELAZIONE DI CALCOLO 
 COMMESSA
 LOTTO
 CODIFICA
 DOCUMENTO
 REV.
 FOGLIO

 RS3T
 30 D 78
 CL
 MU8100 001
 B
 27 di 119

 $\alpha_{cw} = 1$  è un coefficiente che tiene conto dell'interazione tra la tensione nel corrente compresso e qualsiasi tensione di compressione assiale.

#### 7.6 VERIFICHE STRUTTURALI SLE

La verifica nei confronti degli Stati limite di esercizio, consiste nel controllare, con riferimento alle sollecitazioni di calcolo corrispondenti alle Combinazioni di Esercizio il tasso di Lavoro nei Materiali e l'ampiezza delle fessure attesa, secondo quanto di seguito specificato

#### 7.6.1 VERIFICHE ALLE TENSIONI

La verifica delle tensioni in esercizio consiste nel controllare il rispetto dei limiti tensionali previsti per il calcestruzzo e per l'acciaio per ciascuna delle combinazioni di carico caratteristiche "Rara" e "Quasi Permanente"; i valori tensionali nei materiali sono valutati secondo le note teorie di analisi delle sezioni in c.a. in campo elastico e con calcestruzzo "non reagente" adottando come limiti di riferimento, trattandosi nel caso in specie di opere Ferroviarie, quelli indicati nel documento "Manuale di progettazione opere civili".

La verifica consiste nel controllo delle tensioni nei materiali supponendo una legge costitutiva tensionideformazioni di tipo lineare. In particolare si controlla la tensione massima di compressione del calcestruzzo e di trazione dell'acciaio, verificando che:

- $\sigma_c$  < 0.55 f<sub>ck</sub> per combinazione di carico caratteristica (rara);
- $\sigma_c$  < 0.40 f<sub>ck</sub> per combinazione di carico quasi permanente;
- $\sigma_s < 0.75$  f k per combinazione di carico caratteristica (rara).

#### Strutture in c.a.

#### Tensioni di compressione del calcestruzzo

Devono essere rispettati i seguenti limiti per le tensioni di compressione nel calcestruzzo:

- per combinazione di carico caratteristica (rara): 0,55 fek;
- per combinazioni di carico quasi permanente: 0,40 fek;
- per spessori minori di 5 cm, le tensioni normali limite di esercizio sono ridotte del 30%.

#### Tensioni di trazione nell'acciaio

Per le armature ordinarie, la massima tensione di trazione sotto la combinazione di carico caratteristica (rara) non deve superare  $0.75~f_{vk}$ .



Per il caso in esame risulta in particolare :

#### Muro di sostegno:

#### **CALCESTRUZZO**



#### 7.6.2 VERIFICHE A FESSURAZIONE

La verifica di fessurazione consiste nel controllare l'ampiezza dell'apertura delle fessure sotto combinazione di carico frequente e combinazione quasi permanente. Essendo la struttura a contatto col terreno si considerano condizioni ambientali aggressive; le armature di acciaio ordinario sono ritenute poco sensibili [NTC – Tabella 4.1.IV]

In relazione all'aggressività ambientale e alla sensibilità dell'acciaio, l'apertura limite delle fessure è riportato nel prospetto seguente:

Cruppi di			Armatura					
Gruppi di	Condizioni ambientali	Combinazione di azione	Sensibile	Poco sensibile				
esigenza			Stato limite	wd	Stato limite	wd		
	Ordinarie	frequente	ap. fessure	≤w <sub>2</sub>	ap. fessure	≤w <sub>3</sub>		
а	Ordinarie	quasi permanente	ap. fessure	≤w <sub>1</sub>	ap. fessure	≤w <sub>2</sub>		
h	Aggressive	frequente	ap. fessure	≤w <sub>1</sub>	ap. fessure	≤w <sub>2</sub>		
b	Aggressive	quasi permanente	decompressione	-	ap. fessure	≤w <sub>1</sub>		
	Molto Aggressive	frequente	formazione fessure	-	ap. fessure	≤w <sub>1</sub>		
С	Molto Aggressive	quasi permanente	decompressione	-	ap. fessure	≤w <sub>1</sub>		

Tabella 4.1.III - Descrizione delle condizioni ambientali

CONDIZIONI AMBIENTALI	CLASSE DI ESPOSIZIONE				
Ordinarie	X0, XC1, XC2, XC3, XF1				
Aggressive	XC4, XD1, XS1, XA1, XA2, XF2, XF3				
Molto aggressive	XD2, XD3, XS2, XS3, XA3, XF4				

Tabella 7-1 – Criteri di scelta dello stato limite di fessurazione e condizioni ambientali

Risultando:

w1 = 0.2 mm

w2= 0.3 mm



NV54: ROTATORIA 2: MURO DI SOSTEGNO MU81 RELAZIONE DI CALCOLO 
 COMMESSA
 LOTTO
 CODIFICA
 DOCUMENTO
 REV.
 FOGLIO

 RS3T
 30 D 78
 CL
 MU8100 001
 B
 29 di 119

w3 = 0.4 mm

Alle prescrizioni normative presenti in NTC si sostituiscono in tal caso quelle fornite dalle specifiche RFI (Manuale di progettazione delle opere civili parte II sezione 2 – Requisiti concernenti la fessurazione per strutture in c.a., c.a.p. e miste acciaio-calcestruzzo) secondo cui la verifica nei confronti dello stato limite di apertura delle fessure va effettuata utilizzando le sollecitazioni derivanti dalla combinazione caratteristica (rara).

Per tutte le strutture a permanente contatto con il terreno e per le zone non ispezionabili di tutte le strutture, l'apertura convenzionale delle fessure dovrà risultare:

Combinazione Caratteristica (Rara)

$$\delta_f \leq w_1 = 0.2 \, mm$$

Riguardo infine il valore di calcolo delle fessure da confrontare con i valori limite fissati dalla norma, si è è utilizzata la procedura prevista al punto "C4.1.2.2.4.5 Verifica allo stato limite di fessurazione" della Circolare n.7/19.



NV54: ROTATORIA 2: MURO DI SOSTEGNO MU81 RELAZIONE DI CALCOLO 
 COMMESSA
 LOTTO
 CODIFICA
 DOCUMENTO
 REV.
 FOGLIO

 RS3T
 30 D 78
 CL
 MU8100 001
 B
 30 di 119

### 7.7 VERIFICHE STRUTTURALI - URTO

L'urto rappresenta un carico eccezionale quindi la combinazione di riferimento vede i coefficienti parziali delle azioni e dei materiali pari all'unità.

Per le verifiche strutturali si considera la verifica a pressoflessione della sezione di spiccato del paramento per la quale:

M = [100 \* (Hp+1)]/Lc= momento allo spiccato

T = 100 / Lc taglio allo spiccato

in cui:

Lc = 0.5 m +2 Hp larghezza di ripartizione come descritto al successivo par. 8.4.

Hp altezza del paramento

GRUPPO FERROVIE DELLO STATO ITALIANE	DIRETTRICE FERROVIARIA MESSINA – CATANIA – PALERMO NUOVO COLLEGAMENTO PALERMO – CATANIA TRATTA VALLELUNGA – CALTANISETTA XIRBI (LOTTO 3b) OPERE DI SOSTEGNO VIABILITA' – LOTTO 3B						
NV54: ROTATORIA 2: MURO DI SOSTEGNO MU81 RELAZIONE DI CALCOLO	COMMESSA RS3T	LOTTO 30 D 78	CODIFICA	DOCUMENTO MU8100 001	REV.	FOGLIO 31 di 119	

#### 8. ANALISI DEI CARICHI

Nel seguente paragrafo si descrivono i carichi elementari che agiscono sulla struttura in oggetto. Tali azioni sono definite secondo le normative e sono utilizzate per la generazione delle combinazioni di carico nell'ambito delle verifiche di resistenza, in esercizio ed in presenza dell'evento sismico.

Tutti i carichi elementari si riferiscono all'unità di sviluppo del muro, pertanto sono tutti definiti rispetto all'unità di lunghezza.

#### 8.1 PESI PROPRI

Il peso proprio del muro è calcolato in automatico dal foglio di calcolo elettronico.

I dati di input per i muri su fondazione diretta sono i seguenti:

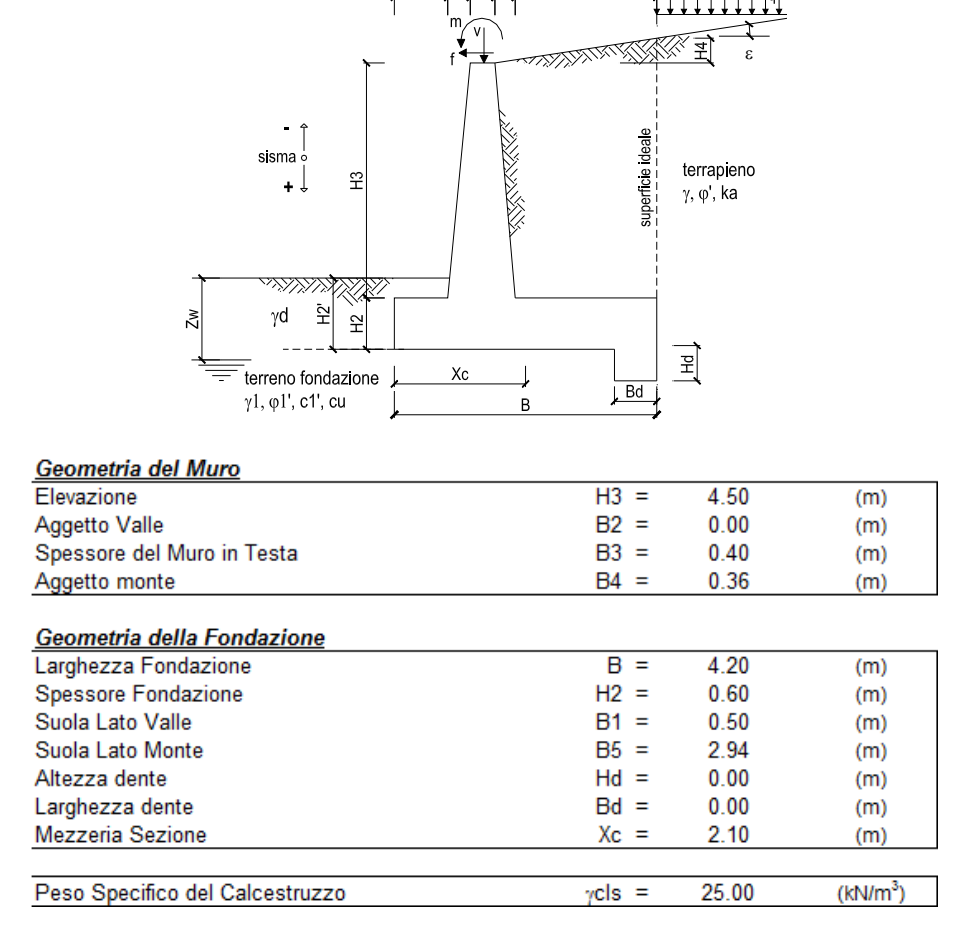


Figura 8-1 – Caratteristiche geometriche muri di sostegno con fondazione diretta – tipo 1.



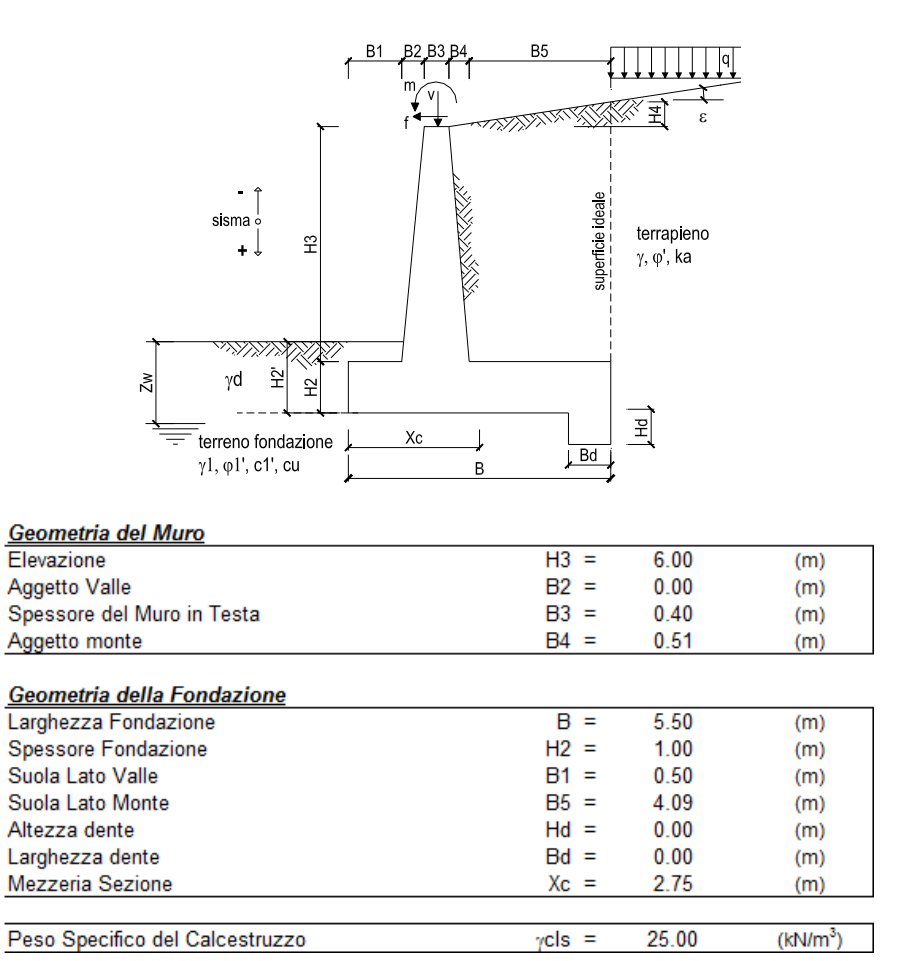


Figura 8-2 – Caratteristiche geometriche muri di sostegno con fondazione diretta – tipo 2.



#### **8.2 CARICHI PERMANENTI**

### 8.2.1 PARAPETTO METALLICO

Per il parapetto metallico si considerano le seguenti azioni agenti sul muro:

$$V_{parapetto} = 1.00 \text{ kN/m}$$

## 8.2.2 BARRIERA DI SICUREZZA

Per la barriera di sicurezza si considerano le seguenti azioni agenti sul muro:

$$V_{barriera} = 2.50 \text{ kN/m}$$

#### 8.2.3 SPINTA DEL TERRENO

A tergo del muro agisce la spinta del terreno del rilevato.

La spinta in condizioni di esercizio viene calcolata con il coefficiente di spinta attiva ka.

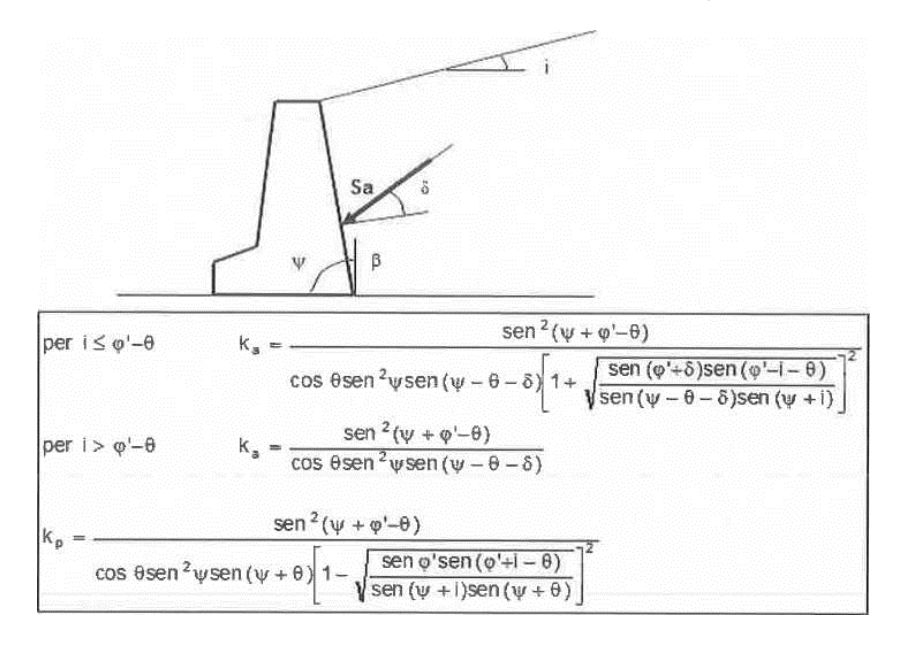


Figura 8-3 – Coefficiente di spinta attiva e passiva.

La spinta sull'opera di sostegno dovrà essere applicata sul piano verticale, assunto come paramento virtuale del muro, definito a partire dall'estremo a monte della scarpa di fondazione.

GRUPPO FERROVIE DELLO STATO ITALIANE	DIRETTRICE FERROVIARIA MESSINA – CATANIA – PALERMO NUOVO COLLEGAMENTO PALERMO – CATANIA TRATTA VALLELUNGA – CALTANISETTA XIRBI (LOTTO 3b) OPERE DI SOSTEGNO VIABILITA' – LOTTO 3B						
NV54: ROTATORIA 2: MURO DI SOSTEGNO MU81 RELAZIONE DI CALCOLO	COMMESSA RS3T	LOTTO 30 D 78	CODIFICA	DOCUMENTO	REV.	FOGLIO 34 di 119	

Su tale paramento l'angolo di inclinazione  $\delta$  della risultante della spinta (applicata ad 1/3 dell'altezza del paramento virtuale) si potrà assumere uguale all'angolo di inclinazione  $\beta$  del terrapieno, a meno che  $\beta$  non sia superiore all'angolo di resistenza al taglio del terreno  $\phi$ ', nel qual caso si assumerà  $\delta = \phi$ '.

<u>Dati Geotecnici</u>				valori caratteristici	valori di progetto	
					STR/GEO	EQU
ati apien o	Angolo di attrito del terrapieno	(°)	φ'	35,00	35,00	35,00
$\Box$ $\vdash$	Peso Unità di Volume del terrapieno	(kN/m³)	γ'	19,00	19,00	19,00
_ <u>e</u>	Angolo di attrito terreno-superficie ideale	(°)	δ	0,00	0,00	0,00

Figura 8-4 – Dati geotecnici



### 8.3 CARICHI VARIABILI

### 8.3.1 CARICHI MOBILI DA TRAFFICO

Per quanto attiene il sovraccarico variabile dovuto al carico stradale si applica il carico verticale statico di 20 kPa che, in condizioni sismiche, è stato ridotto al 20% (4 kPa).

				valori caratteristici	valori di p	rogetto
Carichi	<u>Agenti</u>			SLE - sisma	STR/GEO	EQU
Carichi	Sovraccarico permanente Sovraccarico su zattera di monte	(kN/m <sup>2</sup> )	qp	0,00	0,00	0,00
Carichi ermaner	Forza Orizzontale in Testa permanente	(kN/m)	fp	0,00	0,00	0,00
Ğ Ğ	Forza Verticale in Testa permanente	(kN/m)	vp	3,50	3,50	3,50
	Momento in Testa permanente	(kNm/m)	mp	0,00	0,00	0,00
	Sovraccarico Accidentale in condizioni statiche	(kN/m <sup>2</sup> )	q	20,00	29,00	29,00
Condizioni Statiche	Forza Orizzontale in Testa accidentale in condizioni statiche	(kN/m)	f	0,00	0,00	0,00
ondizior Statiche	Forza Verticale in Testa accidentale in condizioni statiche	(kN/m)	V	0,00	0,00	0,00
S &	Momento in Testa accidentale in condizioni statiche	(kNm/m)	m	0,00	0,00	0,00
	Coefficienti di combinazione condizione frequer	nte Ψ1	1,00	condizione quasi permane	ente Ψ2	0,00
Ē ē	Sovraccarico Accidentale in condizioni sismiche	(kN/m <sup>2</sup> )	qs	4,00		
<del></del>	Forza Orizzontale in Testa accidentale in condizioni sismiche	(kN/m)	fs	0,00		
	Forza Verticale in Testa accidentale in condizioni sismiche	(kN/m)	VS	0,00		
Ow	Momento in Testa accidentale in condizioni sismiche	(kNm/m)	ms	0,00		

Figura 8-5 – Carichi agenti



#### 8.4 CARICHI ECCEZIONALI – URTO DA TRAFFICO VEICOLARE

Per i muri di sostegno si è considerata l'azione causata da collisioni accidentali sugli elementi di sicurezza. La normativa prevede una forza orizzontale equivalente di collisione di 100 kN agente trasversalmente ed orizzontalmente 100 mm sotto la sommità dell'elemento o 1,0 m sopra il livello del piano di marcia (il più piccolo dei due valori), ed applicata su una linea lunga 0,5 m. Effettuando una diffusione longitudinale a 45° fino alla base del paramento si ottiene la lunghezza longitudinale (Lc) e il valore della forza riferito ad 1 m di lunghezza di muro.

Nel dimensionamento degli elementi strutturali ai quali è collegata la barriera si deve tener conto della eventuale sovrapposizione delle zone di diffusione di tale sistema di forze, in funzione della geometria della barriera e delle sue condizioni di vincolo. Per il dimensionamento dell'impalcato, le forze orizzontali così determinate devono essere amplificate di un fattore pari a 1,50.

Il coefficiente parziale di sicurezza per la combinazione di carico agli SLU per l'urto di veicolo in svio deve essere assunto unitario.

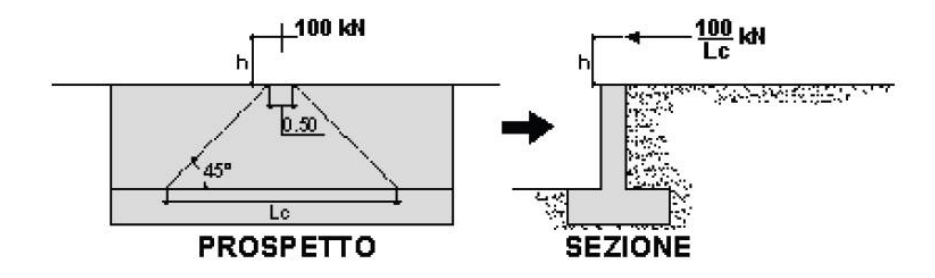


Figura 8-6 – Schema di diffusione della forza di collisione.



NV54: ROTATORIA 2: MURO DI SOSTEGNO MU81 RELAZIONE DI CALCOLO 
 COMMESSA
 LOTTO
 CODIFICA
 DOCUMENTO
 REV.
 FOGLIO

 RS3T
 30 D 78
 CL
 MU8100 001
 B
 37 di 119

#### 8.5 VALUTAZIONE DELL'AZIONE SISMICA

#### 8.5.1 VITA NOMINALE

La vita nominale di un'opera strutturale  $V_N$  è intesa come il numero di anni nel quale la struttura, purché soggetta alla manutenzione ordinaria, deve potere essere usata per lo scopo al quale è destinata. Nel presente caso l'opera viene inserita nella seguente tipologia di costruzione:

2) Opere ordinarie, ponti, opere infrastrutturali e dighe di dimensioni contenute o di importanza normale La cui vita nominale è pari a: 50 anni.

#### 8.5.2 CLASSE D'USO

In presenza di azioni sismiche, con riferimento alle conseguenze di un'interruzione di operatività o di un eventuale collasso, l'opera appartiene alla seguente classe d'uso:

Classe III: Costruzioni il cui uso preveda affollamenti significativi. Industrie con attività pericolose per l'ambiente. Reti viarie extraurbane non ricadenti in Classe d'uso IV. Ponti e reti ferroviarie la cui interruzione provochi situazioni di emergenza. Dighe rilevanti per le conseguenze dì un loro eventuale collasso.

Il coefficiente d'uso è pari a 1.50.

#### 8.5.3 PERIODO DI RIFERIMENTO

Le azioni sismiche su ciascuna costruzione vengono valutate in relazione al periodo di riferimento  $V_R$  ricavato, per ciascun tipo di costruzione, moltiplicandone la vita nominale  $V_N$  per il coefficiente d'uso  $C_u$ .

Pertanto  $V_R = 50 \times 1.5 = 75 \text{ anni.}$ 

#### 8.5.4 PARAMETRI SISMICI

Fissata la vita di riferimento  $V_R$ , i due parametri  $T_R$  e  $P_{VR}$  sono immediatamente esprimibili, l'uno in funzione dell'altro, mediante l'espressione:

$$T_R = -\frac{V_R}{\ln(1 - P_{VR})} = -\frac{C_{ul}V_N}{\ln(1 - P_{VR})}$$



NV54: ROTATORIA 2: MURO DI SOSTEGNO MU81 RELAZIONE DI CALCOLO

COMMESSA	LOTTO	CODIFICA	DOCUMENTO	REV.	FOGLIO
RS3T	30 D 78	CL	MU8100 001	В	38 di 119

Stati Limite	P <sub>VR</sub> : Probabilità	bbabilità di superamento nel periodo di riferimento ${ m V_R}$			
Calando do la composición	SLO	81%			
Stati limite di esercizio	SLD	63%			
Ct. 1: 1: -: 1: -:	SLV	10%			
Stati limite ultimi	SLC	5%			

Tabella 8-1 – Probabilità di superamento al variare dello stato limite considerato.

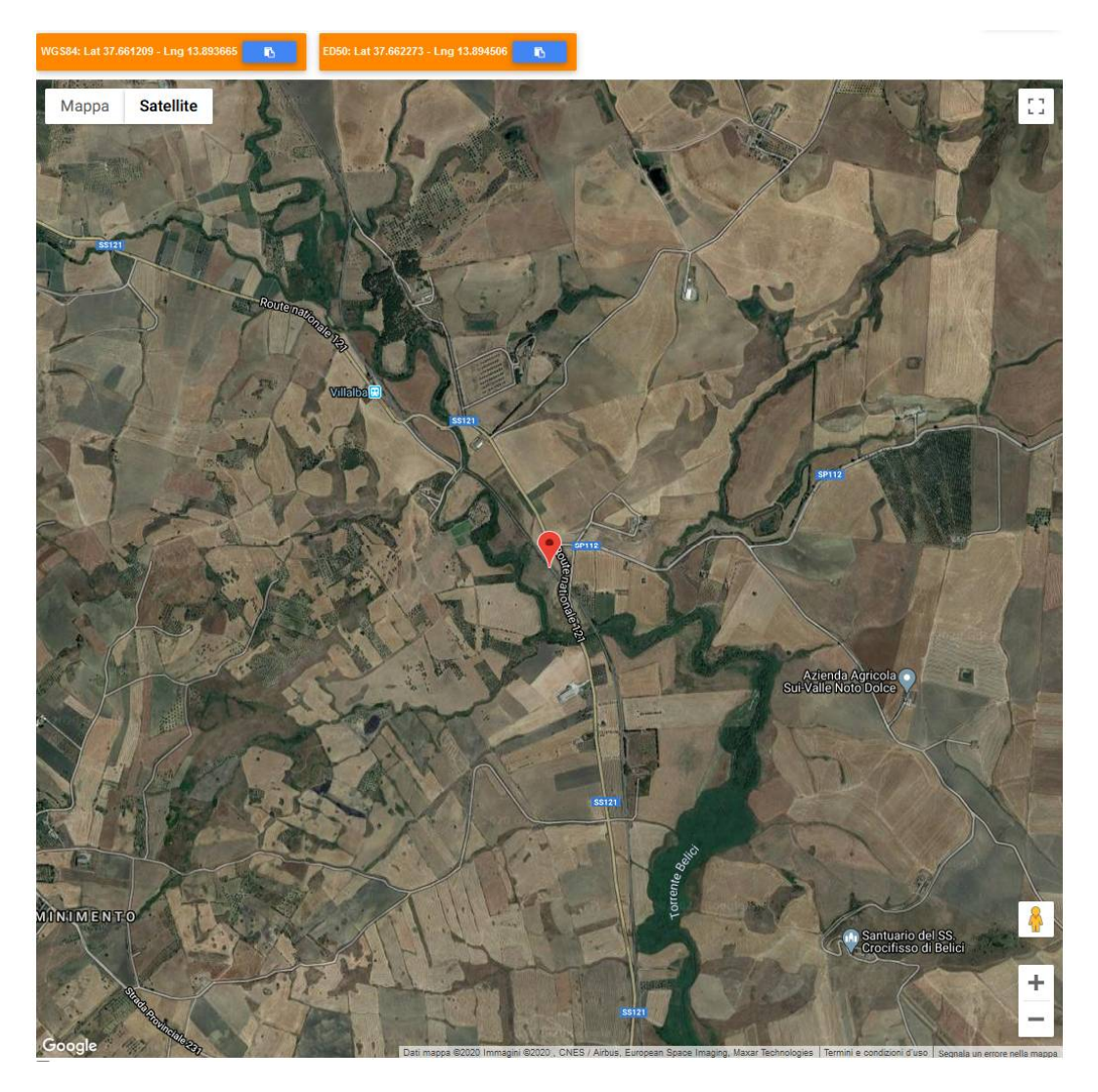


Tabella 8-2 – Localizzazione del sito ove sorgeranno le opera.



Da cui si ottiene la seguente tabella:

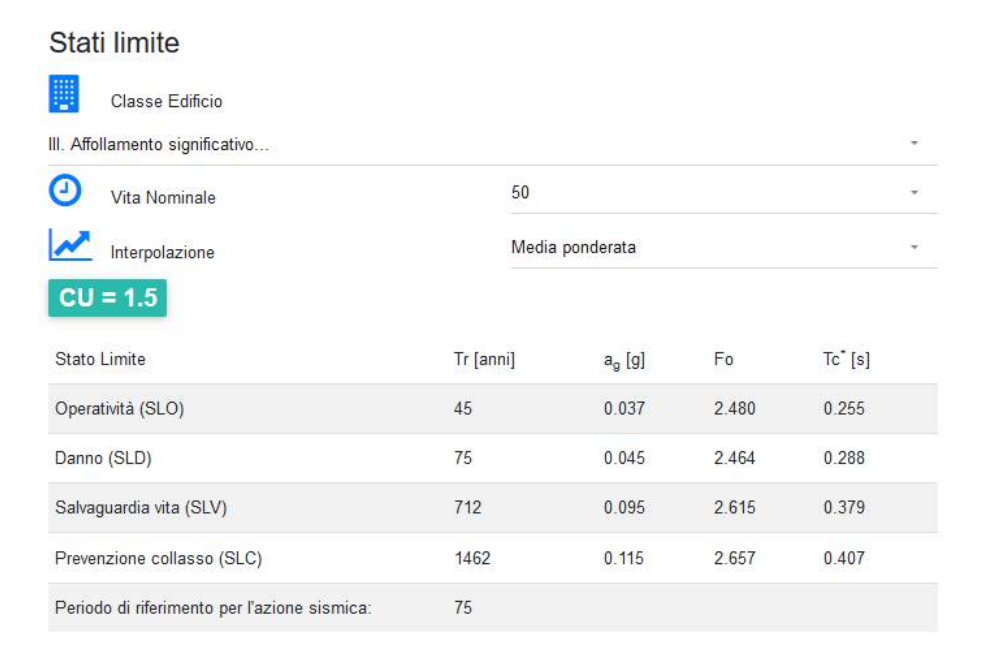


Tabella 8-3 – Parametri relativi all'azione sismica.

Ai fini della definizione dell'azione sismica di progetto, si rende necessario valutare l'effetto della risposta sismica locale. Per la definizione dell'azione sismica si può fare riferimento a un approccio semplificato, che si basa sull'individuazione delle categorie di sottosuolo di riferimento in accordo a quanto indicato nel § 3.2.2 delle NTC2018. I terreni di progetto possono essere caratterizzati come appartenenti a terreni di Categoria C. In condizioni topografiche superficiali semplici si può adottare la seguente classificazione.

Categoria	Caratteristiche della superficie topografica			
T1	Superficie pianeggiante, pendii e rilievi isolati con inclinazione media i ≤ 15°			
T2	Pendii con inclinazione media i > 15°			
T3	Rilievi con larghezza in cresta molto minore che alla base e inclinazione media 15° ≤ i ≤ 30°			
T4	Rilievi con larghezza in cresta molto minore che alla base e inclinazione media i > 30°			

Tabella 8-4 – Categorie topografiche.

L'area interessata risulta classificabile come T1.

In riferimento a quanto indicato nel §3.2.3.2.1 delle NTC2018 per la definizione dello spettro elastico in accelerazione è necessario valutare il valore del coefficiente  $S = S_SS_T$  e di  $C_C$  in base alla categoria di



sottosuolo e alle condizioni topografiche; si fa riferimento nella valutazione dei coefficienti alle tabelle di seguito riportate:

Categoria sottosuolo	S <sub>S</sub>	C <sub>c</sub>
A	1,00	1,00
В	$1,00 \le 1,40 - 0,40 \cdot F_o \cdot \frac{a_g}{g} \le 1,20$	1,10 · (T <sub>C</sub> *) <sup>-0,20</sup>
С	$1,00 \le 1,70 - 0,60 \cdot F_o \cdot \frac{a_g}{g} \le 1,50$	$1,05 \cdot (T_C^*)^{-0,33}$
D	$0.90 \le 2.40 - 1.50 \cdot F_o \cdot \frac{a_g}{g} \le 1.80$	$1,25 \cdot (T_C^*)^{-0,50}$
E	$1,00 \le 2,00 - 1,10 \cdot F_o \cdot \frac{a_g}{g} \le 1,60$	1,15 · (T <sub>C</sub> *) <sup>-0,40</sup>

Tabella 8-5 – Espressioni di S<sub>S</sub> e C<sub>C</sub>.

Categoria topografica	Ubicazione dell'opera o dell'intervento	ST
T1		1,0
T2	In corrispondenza della sommità del pendio	1,2
Т3	In corrispondenza della cresta di un rilievo con pendenza media minore o uguale a 30°	1,2
T4	In corrispondenza della cresta di un rilievo con pendenza media maggiore di 30°	1,4

Tabella 8-6 − Valori massimi dei coefficienti di amplificazione topografica S<sub>T</sub>.

valori dei coefficienti di amplificazione stratigrafica sono pari a  $S_s$  =1.50 e  $C_c$  = 1.450 valore del coefficiente di amplificazione topografica è posto pari a ST = 1.0

Dalla sezione dedicata al calcolo dei parametri sismici di base del programma "GeoStru", si ricavano i seguenti parametri dello spettro di risposta relativo al sito più gravoso.



NV54: ROTATORIA 2: MURO DI SOSTEGNO MU81 RELAZIONE DI CALCOLO

LOTTO COMMESSA CODIFICA DOCUMENTO REV. FOGLIO RS3T 30 D 78 CL MU8100 001 В 41 di 119

# Coefficienti sismici

Tipo	no NTC 2018			
Muri di sostegno che non sono i	n grado di subire sp	ostamenti.		
H (m)	us (m)			
1		0.1		
Cat. Sottosuolo		С		
Cat. Topografica		T1		
	SLO	SLD	SLV	SLC
S Amplificazione stratigrafica	1,50	1,50	1,50	1,50
C Coeff. funz categoria	1,65	1,59	1,45	1,42
Amplificazione topografica	1,00	1,00	1,00	1,00
Acc.ne massima attesa al sito [	m/s²]		₩ 0.6	
efficienti	SLO	SLD	SLV	SLC
	0.000	0.033	0.055	0.000
	22	0.016	0.027	22
nax [m/s²]	0.552	0.680	1.416	1.722
ta	==	0.470	0.380	777



#### 9. COMBINAZIONI DI CARICO

Le combinazioni di carico prese in considerazione nelle verifiche sono state definite in base a quanto prescritto dalle NTC-2018 al par.2.5.3:

- Combinazione fondamentale, generalmente impiegata per gli stati limite ultimi (SLIT):
   γ<sub>G1</sub> · G<sub>1</sub> + γ<sub>G2</sub> · G<sub>2</sub> + γ<sub>P</sub> · P + γ<sub>O1</sub> · Q<sub>k1</sub> + γ<sub>O2</sub> · ψ<sub>O2</sub> · Q<sub>k2</sub> + γ<sub>O3</sub> · ψ<sub>O3</sub> · Q<sub>k3</sub> + ...
   [2.5.1]
- Combinazione caratteristica, cosiddetta rara, generalmente impiegata per gli stat<sup>a timit</sup>? di esercizio (SLE) irreversibili:
  - $G_1 + G_2 + P + Q_{k1} + \psi_{02} \cdot Q_{k2} + \psi_{03} \cdot Q_{k3} + \dots$  [2.5.2]
- Combinazione frequente, generalmente impiegata per gli stati limite di esercizio reversibili:  $G_1 + G_2 + P + \psi_{11} \cdot Q_{k1} + \psi_{22} \cdot Q_{k2} + \psi_{23} \cdot Q_{k3} + \dots$  [2.5.3]
- Combinazione quasi permanente (SLE), generalmente impiegata per gli effetti a certaine:
   G<sub>1</sub> + G<sub>2</sub> + P + ψ<sub>21</sub> · Q<sub>k1</sub> + ψ<sub>22</sub> · Q<sub>k2</sub> + ψ<sub>23</sub> · Q<sub>k3</sub> + ...
   [2.5.4]
- Combinazione sismica, impiegata per gli stati limite ultimi e di esercizio connessi all'azione sismica E:  $E+G_1+G_2+P+\psi_{21}\cdot Q_{k1}+\psi_{22}\cdot Q_{k2}+\dots$  [2.5.5]
- Combinazione eccezionale, impiegata per gli stati limite ultimi connessi alle azioni eccezionali A:  $G_1 + G_2 + P + A_d + \psi_{21} \cdot Q_{k1} + \psi_{22} \cdot Q_{k2} + \dots$  [2.5.6]

Gli effetti dell'azione sismica saranno valutati tenendo conto delle masse associate ai seguenti carichi gravitazionali:

$$G_1 + G_2 + \sum_i \psi_{2j} Q_{kj}$$
 [2.5.7]

Per i muri di sostegno o per altre strutture miste ad essi assimilabili devono essere effettuate le verifiche con riferimento almeno ai seguenti stati limite:

SLU di tipo geotecnico (GEO)

- Scorrimento sul piano di posa;
- Collasso per carico limite del complesso fondazione-terreno;
- Ribaltamento;
- Stabilità globale del complesso opera di sostegno-terreno;

SLU di tipo strutturale (STR)

• Raggiungimento della resistenza negli elementi strutturali.

La verifica di stabilità globale del complesso opera di sostegno-terreno deve essere effettuata secondo l'Approccio 1, con la Combinazione 2 (A2+M2+R2).

Le rimanenti verifiche devono essere effettuate secondo l'Approccio 2, con la combinazione (A1+M1+R3).



Per ciascuna verifica si deve tenere conto dei coefficienti parziali per le azioni, dei parametri geotecnici e dei coefficienti di amplificazione per le verifiche di sicurezza, tutti riportati nelle seguenti tabelle.

Nella verifica a ribaltamento i coefficienti R3 si applicano agli effetti delle azioni stabilizzanti.

Coefficiente			EQU <sup>(1)</sup>	A1	A2
Azioni permanenti	favorevoli sfavorevoli	YG1	0,90 1,10	1,00 1,35	1,00
Azioni permanenti non strutturali <sup>(2)</sup>	favorevoli sfavorevoli	YG2	0,00 1,50	0,00 1,50	0,00
Ballast(3)	favorevoli sfavorevoli	ΥВ	0,90 1,50	1,00 1,50	1,00 1,30
Azioni variabili da traffi- co <sup>(4)</sup>	favorevoli sfavorevoli	ΥQ	0,00 1,45	0,00 1,45	0,00 1,25
Azioni variabili	favorevoli sfavorevoli	ΥQi	0,00 1,50	0,00 1,50	0,00 1,30
Precompressione	favorevole sfavorevo- le	ΥP	0,90 1,00 <sup>(5)</sup>	1,00 1,00 <sup>(6)</sup>	1,00
Ritiro, viscosità e cedi- menti non imposti appo- sitamente	favorevole sfavorevo- le	γCe d	0,00 1,20	0,00 1,20	0,00 1,00

Tabella 9-1 - Coefficienti parziali di sicurezza per le combinazioni di carico agli SLU.

Parametro	Grandezza alla quale applicare il coefficiente parziale	Coefficiente parziale γ <sub>M</sub>	(M1)	(M2)	
Tangente dell'angolo di resi- stenza al taglio	$ an {f \phi}'_k$	Υφ	1,0	1,25	
Coesione efficace	c′ <sub>k</sub>	Υc	1,0	1,25	
Resistenza non drenata	c <sub>uk</sub>	γ <sub>cu</sub>	1,0	1,4	
Peso dell'unità di volume	γγ	$\gamma_{\gamma}$	1,0	1,0	

Tabella 9-2 - Coefficienti parziali per i parametri geotecnici del terreno.

Verifica	Coefficiente parziale (R3)
Capacità portante della fondazione	$\gamma_R = 1.4$
Scorrimento	$\gamma_R = 1.1$
Ribaltamento	$\gamma_{R} = 1.15$
Resistenza del terreno a valle	$\gamma_R = 1.4$

Tabella 9-3 – Coefficienti parziali  $\gamma_R$  per le verifiche agli stati limite ultimi dei muri di sostegno.

COEFFICIENTE	R2
YR	1,1



Tabella 9-4 – Coefficienti parziali per le verifiche do sicurezza di opere di materiali sciolti e fronti di scavo.

Le combinazioni sismiche, in maniera del tutto analoga alle combinazioni statiche, sono effettuate con l'approccio 2, ponendo però pari all'unità i coefficienti parziali sulle azioni e sui parametri geotecnici e impiegando le resistenze di progetto con i coefficienti parziali  $\gamma_R$  indicati nella seguente tabella.

Verifica	Coefficiente parziale y	
Carico limite		
Scorrimento	1.0	
Ribaltamento	1.0	
Resistenza del terreno a valle	1.2	

Tabella 9-5 – Coefficienti parziali y<sub>R</sub> per le verifiche agli stati limite (SLV) dei muri di sostegno.

Le verifiche pseudo-statiche di sicurezza dei fronti di scavo e dei rilevati in condizioni sismiche si eseguono adottando valori unitari dei coefficienti parziali del gruppo A e M per il calcolo delle azioni e dei parametri geotecnici di progetto e un coefficiente parziale  $\gamma_R$  pari a 1.2.

Al fine della determinazione dei valori caratteristici delle azioni dovute al traffico, si devono considerare, generalmente, le combinazioni riportate nella seguente tabella:

	Carichi sulla superficie carrabile					Carichi su marciapiedi e piste ciclabili non sormontabili
	Carichi verticali			Carichi	orizzontali	Carichi verticali
Gruppo di azioni	Modello principale (schemi di carico 1, 2, 3, 4 e 6)	Veicoli spe- ciali	Folla (Sche- ma di carico 5)	Frenatura	Forza centrifuga	Carico uniformemente distribuito
1	Valore carat- teristico					Schema di carico 5 con valore di combinazione 2,5KN/m²
2a	Valore fre- quente			Valore carat- teristico		
2b	Valore fre- quente				Valore caratteri- stico	
3 (*)						Schema di carico 5 con valore caratteristico 5,0KN/m²
4 (**)			Schema di carico 5 con valore carat- teristico 5,0KN/m <sup>2</sup>			Schema di carico 5 con valore caratteristico 5,0KN/m²
5 (***)	Da definirsi per il singo- lo progetto	Valore carat- terístico o nominale				

Tabella 9-6 – Valori caratteristici delle azioni dovute al traffico.

Questa fornisce i valori dei coefficienti parziali delle azioni da assumere nell'analisi per la determinazione degli effetti delle azioni nelle verifiche agli stati limite ultimo.

I valori dei coefficienti di combinazione  $\psi_{0j}$ ,  $\psi_{1j}$ ,  $\psi_{2j}$  per le diverse categorie sono riportati nella tabella successiva:



NV54: ROTATORIA 2: MURO DI SOSTEGNO MU81 RELAZIONE DI CALCOLO 
 COMMESSA
 LOTTO
 CODIFICA
 DOCUMENTO
 REV.
 FOGLIO

 RS3T
 30 D 78
 CL
 MU8100 001
 B
 45 di 119

Azioni	Gruppo di azioni (Tab. 5.1.IV)	Coefficiente  W <sub>0</sub> di combi- nazione	Coefficiente \(\psi_1\) (valori frequenti)	Coefficiente W <sub>2</sub> (valori quasi permanenti)
	Schema 1 (carichi tandem)	0,75	0,75	0,0
	Schemi 1, 5 e 6 (carichi distribuiti	0,40	0,40	0,0
Azioni da	Schemi 3 e 4 (carichi concentrati)	0,40	0,40	0,0
traffico (Tab. 5.1 IV)	Schema 2	0,0	0,75	0,0
	2	0,0	0,0	0,0
	3	0,0	0,0	0,0
	4 (folla)		0,75	0,0
	5	0,0	0,0	0,0
	a ponte scarico SLU e SLE	0,6	0,2	0,0
Vento	in esecuzione	0,8	0,0	0,0
	a ponte carico SLU e SLE	0,6	0,0	0,0
<b></b>	SLU e SLE	0,0	0,0	0,0
Neve	in esecuzione	0,8	0,6	0,5
Temperatura	SLU e SLE	0,6	0,6	0,5

Tabella 9-7 – Coefficienti ψ per le azioni variabili per ponti stradali e pedonali.

Per le azioni da urto sono eccezionali, pertanto, si segue la rispettiva combinazione di carico per la sua valutazione.

Si ottengono le seguenti combinazioni di carico per le verifiche:

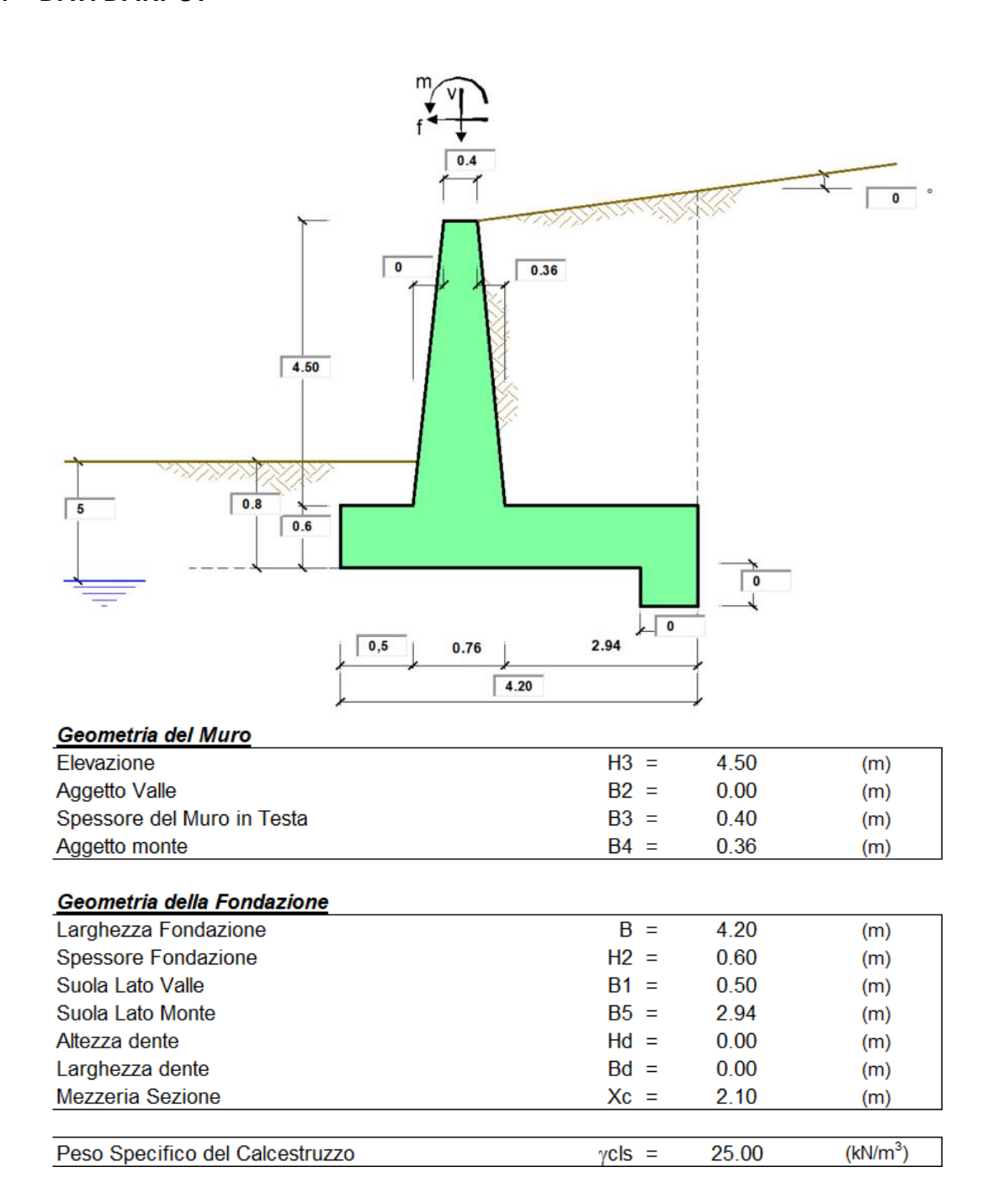
Caso	Peso proprio	Traffico	Pav. Stradale	Spinta	Qecc	tan φ'	c'	Cu
A1+M1+R3	1.35	1.35	1.35	1.35	0	1	1	1
A2+M2+R2	1	1.15	1	1	0	1.25	1.25	1.4
SISMA+M1+R3 (+)	1	0.2	1	1	0	1	1	1
SISMA+M1+R3 (-)	1	0.2	1	1	0	1	1	1
SISMA+M2+R2 (+)	1	0.2	1	1	0	1.25	1.25	1.4
SISMA+M2+R2 (-)	1	0.2	1	1	0	1.25	1.25	1.4
SLE, rara	1	1	1	1	0	1	1	1
SLE, frequente	1	1	1	1	0	1	1	1
SLE, quasi permanente	1	0	1	1	0	1	1	1
ECC, urto	1	0	1	1	1	1	1	1

Tabella 9-8- Combinazioni di carico.



#### 10. PROGETTO E VERIFICA DEL MURO DI SOSTEGNO "TIPO 1"

#### 10.1 DATI DI INPUT





#### Dati geotecnici e carichi agenti - Condizione statica e sismica

			valori car	ratteristici	valori di progetto				
Dati (	Geotecnici					SI	LE	STR/GEO	EQU
eno	Angolo di attrito del terrapieno		(°)		φ'	35	.00	35.00	35.00
Dati errapieno	Peso Unità di Volume del terrapieno		(kN/m³)		ή	19	.00	19.00	19.00
	Angolo di attrito terreno-superficie ideale		(°)		δ	0.	00	0.00	0.00
Dati Terreno Fondazione	Condizioni			<b>⊚</b> (	drenate	Non	Drenate		
ıdaz	Coesione Terreno di Fondazione		(kPa)		c1'	22	.50	22.50	22.50
튭	Angolo di attrito del Terreno di Fondazione		(°)		φ1'	20	.00	20.00	20.00
2	Peso Unità di Volume del Terreno di Fondazione		(kN/m³)		γ1	21	.00	21.00	21.00
erre	Peso Unità di Volume del Rinterro della Fondazione		(kN/m³)		$\gamma d$	21	.00	21.00	21.00
<b>≔</b>	Profondità "Significativa" (n.b.: consigliata H = 2*B)		(m)		Hs	8.	00		
a	Modulo di deformazione		(kN/m²)		Е	60	000		
								,	
	Accelerazione sismica				a <sub>g</sub> /g	0.117	(-)		
	Coefficiente Amplificazione Stratigrafico				$S_S$	1.5	(-)		
<u>:</u>	Coefficiente Amplificazione Topografico				$S_T$	1	(-)	RIBALTA	MENTO
. <u>is</u>	Coefficiente di riduzione dell'accelerazione massima				$\beta_s$	0.38	(-)	βs	0.57
Dati Sismici	Coefficiente sismico orizzontale				kh	0.06669	(-)	kh	0.10004
	Coefficiente sismico verticale			_	kv	0.0333	(-)	kv	0.05002
	Muro libero di traslare o ruotare				•	si C	no	]	
						STR	/GEO	RI	В
	Coeff. di Spinta Attiva Statico	ka	0.271			0.271		0.271	
Coefficienti di Spinta	Coeff. Di Spinta Attiva Sismica sisma +	kas+	0.306			0.306		0.325	
officient Spinta	Coeff. Di Spinta Attiva Sismica sisma -	kas-	0.309			0.309		0.331	
Spi	Coeff. Di Spinta Passiva	kp	2.040			2.040		2.040	
õ	Coeff. Di Spinta Passiva Sismica sisma +	kps+	1.944			1.944		1.896	
	Coeff. Di Spinta Passiva Sismica sisma -	kps-	1.937			1.937		1.880	

				valori caratteristici	valori di p	rogetto
Carichi	<u>Agenti</u>			SLE - sisma	STR/GEO	EQU
	Sovraccarico permanente	(kN/m <sup>2</sup> )	qp	0.00	0.00	0.00
ert Fi	Sovraccarico su zattera di monte  si  ono					
Carichi ermanen	Forza Orizzontale in Testa permanente	(kN/m)	fp	0.00	0.00	0.00
Carichi permanenti	Forza Verticale in Testa permanente	(kN/m)	vp	3.50	3.50	3.50
	Momento in Testa permanente	(kNm/m)	mp	0.00	0.00	0.00
	Sovraccarico Accidentale in condizioni statiche	(kN/m <sup>2</sup> )	q	20.00	29.00	29.00
Condizioni Statiche	Forza Orizzontale in Testa accidentale in condizioni statich	(kN/m)	f	0.00	0.00	0.00
ondizior Statiche	Forza Verticale in Testa accidentale in condizioni statiche	(kN/m)	V	0.00	0.00	0.00
S &	Momento in Testa accidentale in condizioni statiche	(kNm/m)	m	0.00	0.00	0.00
	Coefficienti di combinazione condizione frequer	nte Ψ1	1.00	condizione quasi permane	nte Ψ2	0.00
.E @	Sovraccarico Accidentale in condizioni sismiche	(kN/m <sup>2</sup> )	qs	4.00		
iżi	Forza Orizzontale in Testa accidentale in condizioni sismicl	(kN/m)	fs	0.00		
Condizioni Sismiche	Forza Verticale in Testa accidentale in condizioni sismiche	(kN/m)	VS	0.00		
റ ഗ	Momento in Testa accidentale in condizioni sismiche	(kNm/m)	ms	0.00		



#### Dati geotecnici e carichi agenti - Condizione eccezionale con urto

							atteristici	valori di progetto	
Dati (	<u>Geotecnici</u>					SL	E	STR/GEO	EQU
Dati Terrapieno	Angolo di attrito del terrapieno		(°)		φ'	35.	.00	35.00	35.00
Dati rrapie	Peso Unità di Volume del terrapieno		(kN/m³)		7	19.	.00	19.00	19.00
	Angolo di attrito terreno-superficie ideale		(°)		δ	0.	00	0.00	0.00
Dati Terreno Fondazione	Condizioni			<b>(</b>	drenate	Non	Drenate		
daz	Coesione Terreno di Fondazione		(kPa)		c1'	15.	.00	15.00	15.00
F	Angolo di attrito del Terreno di Fondazione		(°)		φ1'	25.	.00	25.00	25.00
2	Peso Unità di Volume del Terreno di Fondazione		(kN/m³)		γ1	19.	.00	19.00	19.00
erre	Peso Unità di Volume del Rinterro della Fondazione		(kN/m³)		γd	19.	.00	19.00	19.00
<del>=</del>	Profondità "Significativa" (n.b.: consigliata H = 2*B)		(m)		Hs	8.	00		
Ω	Modulo di deformazione		(kN/m²)		Е	60	00		
	Accelerazione sismica				2 /0	0.096	(-)	1	
	Coefficiente Amplificazione Stratigrafico				a <sub>g</sub> /g S <sub>S</sub>	1.5	(-)		
. <u>o</u>	Coefficiente Amplificazione Topografico				S <sub>T</sub>	1.5	(-)	RIBALTA	MENTO
Jati Sismici	Coefficiente di riduzione dell'accelerazione massima				βs	0.38	(-)	βs	0.57
S =	Coefficiente sismico orizzontale				kh	0.05472	(-)	kh	0.08208
a D	Coefficiente sismico verticale				kv	0.0274	(-)	kv	0.04104
	Muro libero di traslare o ruotare				•	si 🔘	no		
						STR/	GEO	- RI	В
	Coeff. di Spinta Attiva Statico	ka	0.271			0.271		0.271	
<del>.</del>		kas+	0.300			0.300		0.315	
Coefficienti di Spinta	Coeff. Di Spinta Attiva Sismica sisma -	kas-	0.302			0.302		0.319	
Spi	Coeff. Di Spinta Passiva	kp	2.464			2.464		2.464	
Ö	·	kps+	2.379			2.379		2.336	
	Coeff. Di Spinta Passiva Sismica sisma -	kps-	2.374			2.374		2.325	

			Γ	valori caratteristici	valori di p	rogetto
Carichi	<u>Agenti</u>			SLE - sisma	STR/GEO	EQU
	Sovraccarico permanente	(kN/m <sup>2</sup> )	qp	0.00	0.00	0.00
드	Sovraccarico su zattera di monte  si  no					
Carichi ermanen	Forza Orizzontale in Testa permanente	(kN/m)	fp	0.00	0.00	0.00
Carichi permanenti	Forza Verticale in Testa permanente	(kN/m)	vp	3.50	3.50	3.50
	Momento in Testa permanente	(kNm/m)	mp	0.00	0.00	0.00
	Sovraccarico Accidentale in condizioni statiche	(kN/m <sup>2</sup> )	q	0.00	0.00	0.00
Condizioni Statiche	Forza Orizzontale in Testa accidentale in condizioni statich	(kN/m)	f	10.00	14.50	14.50
atic adiz	Forza Verticale in Testa accidentale in condizioni statiche	(kN/m)	V	0.00	0.00	0.00
S &	Momento in Testa accidentale in condizioni statiche	(kNm/m)	m	10.00	14.50	14.50
	Coefficienti di combinazione condizione frequer	nte Ψ1	1.00	condizione quasi permane	nte Ψ2	0.00
. <u>=</u> •	Sovraccarico Accidentale in condizioni sismiche	(kN/m <sup>2</sup> )	qs	0.00		
izio Pich	Forza Orizzontale in Testa accidentale in condizioni sismicl	(kN/m)	fs	0.00		
Condizioni Sismiche	Forza Verticale in Testa accidentale in condizioni sismiche	(kN/m)	VS	0.00		
0 0	Momento in Testa accidentale in condizioni sismiche	(kNm/m)	ms	0.00		



Quasi Permanente

DIRETTRICE FERROVIARIA MESSINA – CATANIA – PALERMO NUOVO COLLEGAMENTO PALERMO – CATANIA TRATTA VALLELUNGA – CALTANISETTA XIRBI (LOTTO 3b) OPERE DI SOSTEGNO VIABILITA' – LOTTO 3B

NV54: ROTATORIA 2: MURO DI SOSTEGNO MU81 RELAZIONE DI CALCOLO 
 COMMESSA
 LOTTO
 CODIFICA
 DOCUMENTO
 REV.
 FOGLIO

 RS3T
 30 D 78
 CL
 MU8100 001
 B
 49 di 119

#### CARATTERISTICHE DEI MATERIALI STRUTTURALI

<u>Calcestruzzo</u>					Acci	<u>aio</u>			
classe cls C32	/40 <b>~</b>				tipo o	li acciaio	B <sup>4</sup>	150C ▼	
Rck		40	(MPa)	)					
fck		32	(MPa)	)	fyk =	=		450	(MPa)
fcm		40	(MPa	)					
Ec		33346	(MPa)	)	γs	=		1.15	
α <sub>cc</sub>		0.85							
γС		1.50			fyd =	fyk /γs /	γE =	391.30	(MPa)
$f_{cd} = \alpha_{cc} * f_{ck} / \gamma c$		18.13	(MPa)	)	Es	=	210000	(MPa)	
$f_{ctm} = 0.30*f_{ck}^{2/3}$		3.02	(MPa)	)	eys	=	0.19%		
Tensioni limite (ten condizioni statiche σ <sub>c</sub> ,	19.2 360	<u>nissibili)</u> Mpa Mpa			coeffi	ciente on	nogeneizzazion	ne acciaio	n = 15
condizioni sismiche					Сорг	riferro (d	distanza asse a	armatura-bo	ordo)
σ <sub>c</sub>	19.2	Мра			c =	•	7.50	(cm)	
σf	360	Мра			_			(=)	
					<u>Copr</u>	iferro mi	nimo di norm	ativa	(ricoprimento armatura)
					C <sub>min</sub>	= '	4.50	(cm)	
Valore limite di ape	ertura dell	e fessure			Inter	ferro tra .	I e II strato		
Frequente	w	1	0.2	mm	i <sub>I-II</sub>		5.00	(cm)	

0.2

mm

#### 10.2 CALCOLO DELLE AZIONI

#### 10.2.1 FORZE VERTICALI E INERZIALI

- Peso del Mu	ro (Pm)		SLE	STR/GEO	EQU/RIB
Pm1 =	(B2*H3*γcls)/2	(kN/m)	0.00	0.00	0.00
Pm2 =	(B3*H3*/cls)	(kN/m)	45.00	45.00	45.00
Pm3 =	(B4*H3*γcls)/2	(kN/m)	20.25	20.25	20.25
Pm4 =	(B*H2*γcls)	(kN/m)	63.00	63.00	63.00
Pm5 =	(Bd*Hd*γcls)	(kN/m)	0.00	0.00	0.00
Pm =	Pm1 + Pm2 + Pm3 + Pm4 + Pm5	(kN/m)	128.25	128.25	128.25
- Peso del terr Pt1 = Pt2 = Pt3 = Sovr = Pt =	eno e sovr. perm. sulla scarpa di monte del muro (Pt) (B5*H3*γ') (0,5*(B4+B5)*H4*γ') (B4*H3*γ')/2 qp * (B4+B5) Pt1 + Pt2 + Pt3 + Sovr	(kN/m) (kN/m) (kN/m) (kN/m) (kN/m)	251.37 0.00 15.39 0.00 266.76	251.37 0.00 15.39 0.00 266.76	251.37 0.00 15.39 0.00 266.76
Sovr acc. Stat	accidentale sulla scarpa di monte del muro q * (B4+B5) n qs * (B4+B5)	(kN/m) (kN/m)	66 13.2	95.7	

#### MOMENTI DELLE FORZE VERT. RISPETTO AL PIEDE DI VALLE DEL MURO

- Muro (Mm)			SLE	STR/GEO	EQU/RIB
Mm1 = ` ´	Pm1*(B1+2/3 B2)	(kNm/m)	0.00	0.00	0.00
Mm2 =	Pm2*(B1+B2+0,5*B3)	(kNm/m)	31.50	31.50	31.50
Mm3 =	Pm3*(B1+B2+B3+1/3 B4)	(kNm/m)	20.66	20.66	20.66
Mm4 =	Pm4*(B/2)	(kNm/m)	132.30	132.30	132.30
Mm5 =	Pm5*(B - Bd/2)	(kNm/m)	0.00	0.00	0.00
Mm =	Mm1 + Mm2 + Mm3 + Mm4 + Mm5	(kNm/m)	184.46	184.46	184.46
- Terrapieno e s	sovr. perm. sulla scarpa di monte del muro				
Mt1 =	Pt1*(B1+B2+B3+B4+0,5*B5)	(kNm/m)	686.24	686.24	686.24
Mt2 =	Pt2*(B1+B2+B3+2/3*(B4+B5))	(kNm/m)	0.00	0.00	0.00
Mt3 =	Pt3*(B1+B2+B3+2/3*B4)	(kNm/m)	17.54	17.54	17.54
Msovr =	Sovr*(B1+B2+B3+1/2*(B4+B5))	(kNm/m)	0.00	0.00	0.00
Mt =	Mt1 + Mt2 + Mt3 + Msovr	(kNm/m)	703.78	703.78	703.78
- Sovraccarico	accidentale sulla scarpa di monte del muro				
	*(B1+B2+B3+1/2*(B4+B5))	(kNm/m)	168.3	244.035	
	n *(B1+B2+B3+1/2*(B4+B5))	(kNm/m)	33.66		



NV54: ROTATORIA 2: MURO DI SOSTEGNO MU81 RELAZIONE DI CALCOLO 
 COMMESSA
 LOTTO
 CODIFICA
 DOCUMENTO
 REV.
 FOGLIO

 RS3T
 30 D 78
 CL
 MU8100 001
 B
 51 di 119

	MURO E DEL TERRAPIENO ntale e verticale del muro (Ps)			
Ps h =	Pm*kh	(kN/m)	7.02	10.53
Ps v=	Pm*kv	(kN/m)	3.51	5.26
rs v-	FIII KV	(KIWIII)	3.51	3.20
- Inerzia orizzo	ntale e verticale del terrapieno a tergo del muro (Pts)			
Ptsh =	Pt*kh	(kN/m)	14.60	21.90
Ptsv =	Pt*kv	(kN/m)	7.30	10.95
- Incremento or	izzontale di momento dovuto all'inerzia del muro (MP	s h)		
MPs1 h=	kh*Pm1*(H2+H3/3)	(kNm/m)	0.00	0.00
MPs2 h=	kh*Pm2*(H2 + H3/2)	(kNm/m)	7.02	10.53
MPs3 h=	kh*Pm3*(H2+H3/3)	(kNm/m)	2.33	3.49
MPs4 h=	kh*Pm4*(H2/2)	(kNm/m)	1.03	1.55
MPs5 h=	-kh*Pm5*(Hd/2)	(kNm/m)	0.00	0.00
MPs h=	MPs1+MPs2+MPs3+MPs4+MPs5	(kNm/m)	10.38	15.57
IVIES II-	INFS ITINFSZTINFSJTINFS4TINFS5	(KIMIII/III)	10.50	10.07
la accomenta con	diale di mananta danata all'inseria del mura (MD).	Λ.		
	rticale di momento dovuto all'inerzia del muro (MPs v		0.00	0.00
MPs1 v=	kv*Pm1*(B1+2/3*B2)	(kNm/m)	0.00	0.00
MPs2 v=	kv*Pm2*(B1+B2+B3/2)	(kNm/m)	0.86	1.29
MPs3 v=	kv*Pm3*(B1+B2+B3+B4/3)	(kNm/m)	0.57	0.85
MPs4 v=	kv*Pm4*(B/2)	(kNm/m)	3.62	5.43
MPs5 v=	kv*Pm5*(B-Bd/2)	(kNm/m)	0.00	0.00
MPs v=	MPs1+MPs2+MPs3+MPs4+MPs5	(kNm/m)	5.05	7.57
- Incremento or	izzontale di momento dovuto all'inerzia del terrapieno	(MPts h)		
MPts1 h=	kh*Pt1*(H2 + H3/2)	( kNm/m )	39.20	58.80
MPts2 h=	kh*Pt2*(H2 + H3 + H4/3)	(kNm/m)	0.00	0.00
MPts3 h=	kh*Pt3*(H2+H3*2/3)	(kNm/m)	3.03	4.55
MPts h=	MPts1 + MPts2 + MPts3	(kNm/m)	42.23	63.35
- Incremento ve	rticale di momento dovuto all'inerzia del terrapieno (N	1Pts v)		
MPts1 v=	kv*Pt1*((H2 + H3/2) - (B - B5/2)*0.5)	( kNm/m )	18.78	28.16
MPts2 v=	kv*Pt2*((H2 + H3 + H4/3) - (B - B5/3)*0.5)	( kNm/m )	0.00	0.00
MPts3 v=	kv*Pt3*((H2+H3*2/3)-(B1+B2+B3+2/3*B4)*0.5)	( kNm/m )	0.61	0.91
MPts v=	MPts1 + MPts2 + MPts3	( kNm/m )	19.38	29.07
IVIPUS V-	IVICIS I T IVICISZ T IVICISJ	( KIMIIVIII )	13.30	29.07



NV54: ROTATORIA 2: MURO DI SOSTEGNO MU81 RELAZIONE DI CALCOLO 
 COMMESSA
 LOTTO
 CODIFICA
 DOCUMENTO
 REV.
 FOGLIO

 RS3T
 30 D 78
 CL
 MU8100 001
 B
 52 di 119

#### 10.2.2 SPINTE IN CONDIZIONE STATICA

	TERRENO E DEL SOVRACCARICO condizione statica		SLE	STR/GEO	EQU/RIB
St =	0,5*y'*(H2+H3+H4+Hd)²*ka	(kN/m)	66.96	87.05	87.05
Sq perm =	q*(H2+H3+H4+Hd)*ka	(kN/m)	0.00	0.00	0.00
Sq acc =	q*(H2+H3+H4+Hd)*ka	(kN/m)	27.64	40.08	40.08
- Componente	orizzontale condizione statica				
Sth =	St*cosô	(kN/m)	66.96	87.05	87.05
Sqh perm =	Sq perm*cosδ	(kN/m)	0.00	0.00	0.00
Sqh acc =	Sq acc*cos8	(kN/m)	27.64	40.08	40.08
- Componente	verticale condizione statica				
Stv =	St*sen8	(kN/m)	0.00	0.00	0.00
Sqv perm=	Sq perm*senδ	(kN/m)	0.00	0.00	0.00
Sqv acc =	Sq acc*sen8	(kN/m)	0.00	0.00	0.00
- Spinta passi	va sul dente				
Sp=1/2*g1'*Hd2	2* ½* <sub>71</sub> '*Hd <sup>2</sup> *kp+(2*c <sub>1</sub> '*kp <sup>0.5</sup> + <sub>7</sub> 1'*kp*H2')*Hd	(kN/m)	0.00	0.00	0.00

MOMENTI DELLA SPINTA DEL TERRENO E DEL SOVRACCARICO			SLE	STR/GEO	EQU/RIB
MSt1 =	Sth*((H2+H3+H4+Hd)/3-Hd)	( kNm/m )	113.83	147.98	147.98
MSt2 =	Stv*B	(kNm/m)	0.00	0.00	0.00
MSq1 perm=	Sqh perm*((H2+H3+H4+Hd)/2-Hd)	(kNm/m)	0.00	0.00	0.00
MSq1 acc =	Sqh acc*((H2+H3+H4+Hd)/2-Hd)	( kNm/m )	70.48	102.20	102.20
MSq2 perm=	Sqv perm*B	( kNm/m )	0.00	0.00	0.00
MSq2 acc =	Sqv acc*B	( kNm/m )	0.00	0.00	0.00
$MSp = \gamma 1'*F$	ld <sup>3</sup> *kp/3+(2*c1'*kp <sup>0.5</sup> +γ1'*kp*H2')*Hd <sup>2</sup> /2	( kNm/m )	0.00	0.00	0.00
MOMENTI DO	VUTI ALLE FORZE ESTERNE				
Mfext1 =	mp + m	( kNm/m )	0.00	0.00	0.00
Mfext2 =	(fp + f)*(H3 + H2)	( kNm/m )	0.00	0.00	0.00
Mfext3 =	(vp+v)*(B1 +B2 + B3/2)	( kNm/m )	2.45	2.45	2.45



NV54: ROTATORIA 2: MURO DI SOSTEGNO MU81 RELAZIONE DI CALCOLO 
 COMMESSA
 LOTTO
 CODIFICA
 DOCUMENTO
 REV.
 FOGLIO

 RS3T
 30 D 78
 CL
 MU8100 001
 B
 53 di 119

#### 10.2.3 SPINTE IN CONDIZIONE SISMICA +

SPINTE DEL	TERRENO E DEL SOVRACCARICO		SLE	STR/GEO	EQU/RIB
•	0,5*γ'*(H2+H3+H4+Hd)²*ka	(kN/m)	66.96	66.96	66.96
Sst1 sism =	0,5*γ'*(1+kv)*(H2+H3+H4+Hd)²*kas*-Sst1 stat	(kN/m)	9.20	9.20	14.05
Ssq1 perm=	qp*(H2+H3+H4+Hd)*kas+	(kN/m)	0.00	0.00	0.00
Ssq1 acc =	qs*(H2+H3+H4+Hd)*kas+	(kN/m)	6.12	6.12	6.42
·		, ,			
	orizzontale condizione sismica +				
Sst1h stat =	Sst1 stat*cosô	(kN/m)	66.96	66.96	66.96
	Sst1 sism*cosô	(kN/m)	9.20	9.20	14.05
Ssq1h perm=	Ssq1 perm*cos8	(kN/m)	0.00	0.00	0.00
Ssq1h acc=	Ssq1 acc*cos8	(kN/m)	6.12	6.12	6.42
Componente	verticale condizione sismica +				
Sst1v stat =	Sst1 stat*senô	(kN/m)	0.00	0.00	0.00
	Sst1 sism*senô	(kN/m)	0.00	0.00	0.00
Ssq1v perm=	Ssq1 perm*senô	(kN/m)	0.00	0.00	0.00
Ssq1v acc=	Ssq1 acc*sen8	(kN/m)	0.00	0.00	0.00
		, ,			
- Spinta passiv					
Sp=½*γ <sub>1</sub> ′(1+kv)	Hd <sup>2</sup> *kps <sup>+</sup> +(2*c <sub>1</sub> '*kps <sup>+0.5</sup> +γ1' (1+kv) kps <sup>+</sup> *H2')*Hd	(kN/m)	0.00	0.00	0.00
MOMENTI DE	LLA SPINTA DEL TERRENO E DEL SOVRACCARIO	ro [			
- Condizione si			SLE	STR/GEO	EQU/RIB
		_			
MSst1 stat =	Sst1h stat * ((H2+H3+H4+hd)/3-hd)	( kNm/m )	113.83	113.83	113.83
MSst1 sism=	Sst1h sism* ((H2+H3+H4+Hd)/2-Hd)	( kNm/m )	23.45	23.45	35.82
MSst2 stat =	Sst1v stat* B	( kNm/m )	0.00	0.00	0.00
	Sst1v sism* B	( kNm/m )	0.00	0.00	0.00
MSsq1 =	Ssq1h * ((H2+H3+H4+Hd)/2-Hd)	( kNm/m )	15.61	15.61	16.38
MSsq2 =	Ssq1v * B	( kNm/m )	0.00	0.00	0.00
MSp =	$\gamma_1$ '*Hd <sup>3</sup> *kps <sup>+</sup> /3+(2*c1'*kps <sup>+0.5</sup> + $\gamma$ 1'*kps <sup>+*</sup> H2')*Hd <sup>2</sup> /2	( kNm/m )	0.00	0.00	0.00
MOMENTI DO	VUTI ALLE FORZE ESTERNE				
Mfext1 =	mp+ms	(kNm/m)		0.00	
Mfext2 =	(fp+fs)*(H3 + H2)	(kNm/m)		0.00	
Mfext3 =	(vp+vs)*(B1 +B2 + B3/2)	( kNm/m )		2.45	
	*** ***	, ,			



#### 10.2.4 SPINTE IN CONDIZIONE SISMICA -

SPINTE DEL	TERRENO E DEL SOVRACCARICO		SLE	STR/GEO	EQU/RIB
Sst1 stat =	0,5*γ'*(H2+H3+H4+Hd)²*ka	(kN/m)	66.96	66.96	66.96
Sst1 sism =	0,5*γ'*(1-kv)*(H2+H3+H4+Hd)2*kas <sup>-</sup> -Sst1 stat	(kN/m)	5.55	5.55	8.62
Ssq1 perm=	qp*(H2+H3+H4+Hd)*kas <sup>-</sup>	(kN/m)	0.00	0.00	0.00
Ssq1 acc =	qs*(H2+H3+H4+Hd)*kas <sup>-</sup>	(kN/m)	6.15	6.15	6.51
	orizzontale condizione sismica -				
Sst1h stat =	Sst1 stat*cosô	(kN/m)	66.96	66.96	66.96
	Sst1 sism*cosô	(kN/m)	5.55	5.55	8.62
Ssq1h perm=	Ssq1 perm*cos8	(kN/m)	0.00	0.00	0.00
Ssq1h acc=	Ssq1 acc*cos8	(kN/m)	6.15	6.15	6.51
•	verticale condizione sismica -				
Sst1v stat =	Sst1 stat*sen∂	(kN/m)	0.00	0.00	0.00
	Sst1 sism*sen6	(kN/m)	0.00	0.00	0.00
Ssq1v perm=		(kN/m)	0.00	0.00	0.00
Ssq1v acc=	Ssq1 acc*sen8	(kN/m)	0.00	0.00	0.00
- Spinta passiv					
Sp=½*γ <sub>1</sub> '(1-kv)	Hd <sup>2</sup> *kps <sup>-</sup> +(2*c <sub>1</sub> '*kps <sup>-0.5</sup> +γ1' (1-kv) kps <sup>-</sup> *H2')*Hd	(kN/m)	0.00	0.00	0.00
		_			
- Condizione si	LLA SPINTA DEL TERRENO E DEL SOVRACCARI smica -	co	SLE	STR/GEO	EQU/RIB
MSst1 stat =	Sst1h stat * ((H2+H3+H4+hd)/3-hd)	( kNm/m )	113.83	113.83	113.83
MSst1 sism=	Sst1h sism* ((H2+H3+H4+Hd)/2-Hd)	( kNm/m )	14.16	14.16	21.97
MSst2 stat =	Sst1v stat* B	( kNm/m )	0.00	0.00	0.00
MSst2 sism =	Sst1v sism* B	( kNm/m )	0.00	0.00	0.00
MSsq1 =	Ssq1h * ((H2+H3+H4+Hd)/2-Hd)	( kNm/m )	15.70	15.70	16.59
MSsq2 =	Ssq1v * B	( kNm/m )	0.00	0.00	0.00
MSp =	γ <sub>1</sub> '*Hd <sup>3</sup> *kps <sup>+</sup> /3+(2*c1'*kps <sup>+0.5</sup> +γ1'*kps <sup>+*</sup> H2')*Hd <sup>2</sup> /2	( kNm/m )	0.00	0.00	0.00
MONEYE	WITH ALL E FORZE FOTERWE				
	VUTI ALLE FORZE ESTERNE	/ I N / :		0.00	
Mfext1 =	mp+ms	( kNm/m )		0.00	
Mfext2 =	(fp+fs)*(H3 + H2)	( kNm/m )		0.00	
Mfext3 =	(vp+vs)*(B1 +B2 + B3/2)	( kNm/m )		2.45	



#### 10.2.5 SPINTE IN PRESENZA DI URTO

	TERRENO E DEL SOVRACCARICO condizione statica		SLE	STR/GEO	EQU/RIB
St =	0,5*y'*(H2+H3+H4+Hd)2*ka	(kN/m)	66.96	87.05	87.05
Sq perm =	q*(H2+H3+H4+Hd)*ka	(kN/m)	0.00	0.00	0.00
Sq acc =	q*(H2+H3+H4+Hd)*ka	(kN/m)	0.00	0.00	0.00
- Componente	orizzontale condizione statica				
Sth =	St*cosδ	(kN/m)	66.96	87.05	87.05
Sqh perm =	Sq perm*cosδ	(kN/m)	0.00	0.00	0.00
Sqh acc =	Sq acc*cos8	(kN/m)	0.00	0.00	0.00
- Componente	verticale condizione statica				
Stv =	St*senδ	(kN/m)	0.00	0.00	0.00
Sqv perm=	Sq perm*senδ	(kN/m)	0.00	0.00	0.00
Sqv acc =	Sq acc*sen∂	(kN/m)	0.00	0.00	0.00
- Spinta passi	va sul dente				
Sp=1/2*g1'*Hd2	<sup>2*</sup> ½* <sub>γ1</sub> '*Hd <sup>2</sup> *kp+(2*c <sub>1</sub> '*kp <sup>0.5</sup> + <sub>γ</sub> 1'*kp*H2')*Hd	(kN/m)	0.00	0.00	0.00

MOMENTI DELLA SPINTA DEL TERRENO E DEL SOVRACCARICO			SLE	STR/GEO	EQU/RIB
MSt1 =	Sth*((H2+H3+H4+Hd)/3-Hd)	(kNm/m)	113.83	147.98	147.98
MSt2 =	Stv*B	(kNm/m)	0.00	0.00	0.00
MSq1 perm=	Sqh perm*((H2+H3+H4+Hd)/2-Hd)	( kNm/m )	0.00	0.00	0.00
MSq1 acc =	Sqh acc*((H2+H3+H4+Hd)/2-Hd)	( kNm/m )	0.00	0.00	0.00
MSq2 perm=	Sqv perm*B	( kNm/m )	0.00	0.00	0.00
MSq2 acc =	Sqv acc*B	( kNm/m )	0.00	0.00	0.00
MSp = γ1'*l	ld <sup>3</sup> *kp/3+(2*c1'*kp <sup>0.5</sup> +γ1'*kp*H2')*Hd <sup>2</sup> /2	( kNm/m )	0.00	0.00	0.00
MOMENTI DO	VUTI ALLE FORZE ESTERNE				
Mfext1 =	mp + m	( kNm/m )	10.00	14.50	14.50
Mfext2 =	(fp + f)*(H3 + H2)	( kNm/m )	51.00	73.95	73.95
Mfext3 =	(vp+v)*(B1 +B2 + B3/2)	( kNm/m )	2.45	2.45	2.45

GRUPPO FERROVIE DELLO STATO ITALIANE	NUOVO COI TRATTA VA	LEGAME LLELUNG	NTO PALERI	NA – CATANIA – 110 – CATANIA ISETTA XIRBI (LO – LOTTO 3B		0
NV54: ROTATORIA 2: MURO DI SOSTEGNO MU81 RELAZIONE DI CALCOLO	COMMESSA RS3T	LOTTO 30 D 78	CODIFICA	DOCUMENTO MU8100 001	REV.	FOGLIO 56 di 119

#### 10.3 VERIFICHE GEOTECNICHE

## 10.3.1 VERIFICA STATICA A RIBALTAMENTO, SCORRIMENTO E CARICO LIMITE VERTICALE - C. DRENATE

### VERIFICA ALLO SCORRIMENTO (STR/GEO)

Risultante forz N =	e verticali (N) Pm + Pt + v + Stv + Sqv perm + Sqv acc	398.51	(kN/m)				
Risultante forze orizzontali (T) T = Sth + Sqh + f 127.13 (kN/m)							
Coefficiente di f =	attrito alla base (f) tgφ1'	0.47	(-)				
Fs scorr.	(N*f + Sp) / T	1.46	>	1.1			
VERIFICA A	_ RIBALTAMENTO						
Momento stab	ilizzante (Ms) Mm + Mt + Mfext3	890.69	( kNm/m )				
Momento ribal Mr =	tante (Mr) MSt + MSq + Mfext1+ Mfext2 + MSp	250.18	( kNm/m )				
Fs ribalta	mento Ms / Mr	3.56	>	1.15			
VERIFICA C	ARICO LIMITE DELLA FONDAZIONE (STR/GEO)						
Risultante forz N =	e verticali (N) Pm + Pt + v + Stv + Sqv (+ Sovr acc)	Nmin 398.51	Nmax 494.21	(kN/m)			
Risultante forz T =	e orizzontali (T) Sth + Sqh + f - Sp	127.13	127.13	(kN/m)			
Risultante dei MM =	momenti rispetto al piede di valle (MM) $\Sigma$ M	640.50	884.54	( kNm/m )			
Momento rispe	etto al baricentro della fondazione (M) Xc*N - MM	196.37	153.30	( kNm/m )			



NV54: ROTATORIA 2: MURO DI SOSTEGNO MU81 RELAZIONE DI CALCOLO

LOTTO CODIFICA REV. FOGLIO COMMESSA DOCUMENTO RS3T 30 D 78 CL MU8100 001 57 di 119

2.91

Nmax

#### Formula Generale per il Calcolo del Carico Limite Unitrario (Brinch-Hansen, 1970)

#### Fondazione Nastriforme

#### qlim = c'Nc\*ic + $q_0$ \*Nq\*iq + 0.5\* $\gamma$ 1\*B\*N $\gamma$ \*i $\gamma$

FS carico lir	mite	F = qlim*B*/ N	Nmin	3.13	>	1.4
qlim	(carico limite u	unitario)		387.72	402.09	(kN/m <sup>2</sup> )
(fondazione nas	striforme m = 2)	)				
$i\gamma = (1 - T/(N + E))$				0.42	0.43	(-)
iq = (1 - T/(N + ic = iq - (1 - iq)/	•	(1 in cond. nd)		0.56 0.51	0.63 0.51	(-) (-)
I valori di ic, iq e	e iγ sono stati v	alutati con le espressioni suggerite d	la Vesic (1975)			
$Nq = tg^{2}(45 + \varphi)$ Nc = (Nq - 1)/tg $N\gamma = 2*(Nq + 1)$	(φ')	(1 in cond. nd) (2+π in cond. nd) (0 in cond. nd)		10.66 20.72 10.88		(-) (-)
I valori di Nc, No	q e Ng sono sta	ati valutati con le espressioni suggeri	te da Vesic (19	75)		
e = M / N B*= B - 2e	eccentricità larghezza equ	uivalente		0.49 3.21	0.31 3.58	(m) (m)
$q_0 = \gamma d^*H2'$	sovraccarico	stabilizzante		15.20		(kN/m <sup>2</sup> )
c1' φ1' γ1	_	no di fondaz. o terreno di fondaz. ⁄olume terreno fondaz.		15.00 25.00 19.00		(kPa) (°) (kN/m³)

## 10.3.2 VERIFICA SISMICA A RIBALTAMENTO, SCORRIMENTO E CARICO LIMITE VERTICALE - C. DRENATE

Condizione sismica +

#### VERIFICA ALLO SCORRIMENTO

Fs	=	(N*f + Sp) / T	1.84	>	1
Coef f	ficiente di =	attrito alla base (f) $tg\phi 1^{\prime }$	0.47	(-)	
	ltante forz =	re orizzontali (T) Sst1h + Ssq1h + fp + fs +Ps h + Ptsh	103.89	(kN/m)	
	tante forz =	re verticali (N) Pm+ Pt + vp + vs + Sst1v + Ssq1v + Ps v + Ptsv	409.32	(kN/m)	

#### **VERIFICA AL RIBALTAMENTO**

Fr	=	Ms / Mr	4.28	>	1
Mome Mr	ento ribalt =	ante (Mr) MSst+MSsq+Mfext1+Mfext2+MSp+MPs+Mpts	208.30	( kNm/m )	
Mome Ms		izzante (Ms) Mm + Mt + Mfext3	890.69	( kNm/m )	
VERI	FICA AL	RIBAL TAMENTO			

#### VERIFICA A CARICO LIMITE DELLA FONDAZIONE

Risult	ante forze	e verticali (N)	Nmin	Nmax	
N	=	Pm+ Pt + vp + vs + Sst1v + Ssq1v + Ps v + Ptsv + (Sovr acc)	409.32	422.52	(kN/m)
Risult T	ante forze =	e orizzontali (T) Sst1h + Ssq1h + fp + fs +Ps h + Ptsh - Sp	103.89		(kN/m)
Risult MM		momenti rispetto al piede di valle (MM) $\Sigma M$	709.61	743.27	( kNm/m )
Mome M	ento rispe =	tto al baricentro della fondazione (M) Xc*N - MM	149.95	144.01	( kNm/m )



NV54: ROTATORIA 2: MURO DI SOSTEGNO MU81 RELAZIONE DI CALCOLO 
 COMMESSA
 LOTTO
 CODIFICA
 DOCUMENTO
 REV.
 FOGLIO

 RS3T
 30 D 78
 CL
 MU8100 001
 B
 59 di 119

4.02

Nmax

1.2

#### Formula Generale per il Calcolo del Carico Limite Unitrario (Brinch-Hansen, 1970)

#### Fondazione Nastriforme

FS carico limite

#### qlim = c'Nc\*ic + $q_0$ \*Nq\*iq + 0.5\* $\gamma$ 1\*B\*N $\gamma$ \*i $\gamma$

ES carico li	mite F = alim*R*/ N	Nmin	4.03	>	12
qlim	(carico limite unitario)		475.29	482.91	(kN/m <sup>2</sup> )
(fondazione na	striforme m = 2)				
ic = iq - (1 - iq) $i\gamma = (1 - T/(N +$	/(Nq - 1)		0.60 0.51	0.61 0.51	(-) (-)
iq = (1 - T/(N +	· B*c'cotgφ')) <sup>m</sup> (1 in cond. nd)		0.64	0.65	(-)
I valori di ic, iq	e iγ sono stati valutati con le espressioni suggerite	da Vesic (1975)			
Nq = $tg^2(45 + q)$ Nc = $(Nq - 1)/tq$ N $\gamma$ = $2*(Nq + 1)$			10.66 20.72 10.88		(-) (-) (-)
I valori di Nc, N	lq e Ng sono stati valutati con le espressioni sugge	erite da Vesic (19	75)		
e = M / N B*= B - 2e	eccentricità larghezza equivalente		0.37 3.47	0.34 3.52	(m) (m)
$q_0 = \gamma d^*H2'$	sovraccarico stabilizzante		15.20		(kN/m <sup>2</sup> )
c1' φ1' γ1	coesione terreno di fondaz. angolo di attrito terreno di fondaz. peso unità di volume terreno fondaz.		15.00 25.00 19.00		(kN/mq) (°) (kN/m³)

F = qlim\*B\*/N



#### Condizione sismica –

### VERIFICA ALLO SCORRIMENTO

	tante forz =	re verticali (N) Pm+ Pt + vp + vs + Sst1v + Ssq1v + Ps v + Ptsv	387.70	(kN/m)	
_	tante forz =	re orizzontali (T) Sst1h + Ssq1h + fp + fs +Ps h + Ptsh	100.28	(kN/m)	
Coeff f	iciente di =	attrito alla base (f) $tg\phi 1^{\prime }$	0.47	(-)	
Fs	=	(N*f + Sp) / T	1.80	>	1
<u>VER</u>	IFICA A	L RIBALTAMENTO			
Mom Ms		ilizzante (Ms) Mm + Mt + Mfext3	890.69	( kNm/m )	
Mom Mr	ento ribal =	tante (Mr) MSst+MSsq+Mfext1+Mfext2+MSp+MPs+Mpts	267.96	( kNm/m )	
Fr	=	Ms / Mr	3.32	>	1
<u>VER</u>	IFICA A	CARICO LIMITE DELLA FONDAZIONE			
Risul	tante forz	re verticali (N)	Nmin	Nmax	

Risultante forze verticali (N)	Nmin	Nmax	
N = Pm + Pt + vp + vs + Sst1v + Ssq1v + Ps v + Ptsv	387.70	400.90	(kN/m)
Risultante forze orizzontali (T)			
T = Sst1h + Ssq1h + fp + fs + Ps h + Ptsh - Sp	100.28		(kN/m)
Risultante dei momenti rispetto al piede di valle (MM)			
$MM = \sum M$	669.96	703.62	( kNm/m )
Momento rispetto al baricentro della fondazione (M)			
M = Xc*N - MM	144.21	138.27	(kNm/m)



NV54: ROTATORIA 2: MURO DI SOSTEGNO MU81 RELAZIONE DI CALCOLO

LOTTO CODIFICA REV. FOGLIO COMMESSA DOCUMENTO RS3T 30 D 78 CL MU8100 001 61 di 119

#### Formula Generale per il Calcolo del Carico Limite Unitrario (Brinch-Hansen, 1970)

Fondazione Nastriforme

FS carico limite

#### qlim = c'Nc\*ic + $q_0$ \*Nq\*iq + 0.5\* $\gamma$ 1\*B\*N $\gamma$ \*i $\gamma$

ES carico li	mite	F = alim*R*/ N	Nmin	4.21	>	12
qlim	(carico limite uni	tario)		472.37	480.45	(kN/m <sup>2</sup> )
(fondazione na	striforme m = 2)					
$i\gamma = (1 - T/(N +$	B*c'cotgφ')) <sup>m+1</sup>			0.51	0.51	(-)
iq = (1 - T/(N + ic = iq - (1 - iq))	•	(1 in cond. nd)		0.64 0.60	0.65 0.61	(-) (-)
		utati con le espressioni sugger	rite da Vesic (1975)	0.64	0.65	()
$N\gamma = 2^*(Nq + 1)$	)*tg(φ') (0	in cond. nd)		10.88		(-)
Nc = (Nq - 1)/tg	g(φ') (2	2+π in cond. nd)		20.72		(-)
$Nq = tg^2(45 + q)$	o'/2)*e <sup>(π*tg(φ'))</sup> (1	in cond. nd)		10.66		(-)
I valori di Nc, N	q e Ng sono stati	valutati con le espressioni sug	ggerite da Vesic (197	75)		
B*= B - 2e	larghezza equiv	alente		3.46	3.51	(m)
e = M / N	eccentricità			0.37	0.34	(m)
$q_0 = \gamma d^*H2'$	sovraccarico sta	abilizzante		15.20		(kN/m <sup>2</sup> )
71	peso unità di vol	ume terreno fondaz.		19.00		(kN/m <sup>3</sup> )
φ1′		terreno di fondaz.		25.00		(°)
c1'	coesione terreno	di fondaz		15.00		(kN/mg)

F = qlim\*B\*/N

Nmax

4.21

1.2

## 10.3.3 VERIFICA STATICA A RIBALTAMENTO, SCORRIMENTO E CARICO LIMITE VERTICALE - C.NON DRENATE

#### VERIFICA ALLO SCORRIMENTO (STR/GEO)

Risul N	ltante forze verti = Pm		Stv + Sqv perm + Sqv acc	398.51	(kN/m)	
Risul T	tante forze oriz Sth	zzontali (T) ı + Sqh + f		127.13	(kN/m)	
Coeff f	ficiente di attrito = tgφ1		(f)	0.47	(-)	
Fs	scorr.		(N*f + Sp) / T	1.46	>	1.1
VER	RIFICA AL RIE	BALTAME	:NTO			
Mom Ms	ento stabilizzar = Mm	nte (Ms) n + Mt + M	fext3	890.69	( kNm/m )	
Mom	ento ribaltante	(Mr)				
Mr			Mfext1+ Mfext2 + MSp	250.18	(kNm/m)	
Mr		st + MSq +	Mfext1+ Mfext2 + MSp  Ms / Mr	250.18 <b>3.56</b>	( kNm/m )	1.15
Mr Fs	= MSt	to				1.15
Mr Fs VER	= MSt ribaltament	to  CO LIMIT	Ms / Mr			1.15 (kN/m)
Fs VER Risul	= MSt  ribaltament  RIFICA CARIO  Itante forze verti = Pm	to  CO LIMIT ticali (N) 1 + Pt + v +	Ms / Mr  E DELLA FONDAZIONE (STR/GEO)  Stv + Sqv (+ Sovr acc)	3.56 Nmin	> Nmax	
Mr Fs VER Risul N Risul T	ribaltament  RIFICA CARIO  Itante forze verti  Pm  Itante forze oriz:  Sth	to  CO LIMIT  ticali (N) 1 + Pt + v +  zzontali (T) 1 + Sqh + f	Ms / Mr  E DELLA FONDAZIONE (STR/GEO)  Stv + Sqv (+ Sovr acc)	3.56 Nmin 398.51	Nmax 494.21 127.13	(kN/m)



NV54: ROTATORIA 2: MURO DI SOSTEGNO MU81 RELAZIONE DI CALCOLO 
 COMMESSA
 LOTTO
 CODIFICA
 DOCUMENTO
 REV.
 FOGLIO

 RS3T
 30 D 78
 CL
 MU8100 001
 B
 63 di 119

2.39

Nmax

#### Formula Generale per il Calcolo del Carico Limite Unitrario (Brinch-Hansen, 1970)

Fondazione Nastriforme

#### qlim = c'Nc\*ic + $q_0$ \*Nq\*iq + 0.5\* $\gamma$ 1\*B\*N $\gamma$ \*i $\gamma$

FS carico li	mite F = qlim*B*/ N	Nmin	2.60	>	1.4
qlim	(carico limite unitario)		321.72	329.79	(kN/m <sup>2</sup> )
(fondazione na	striforme m = 2)				
iq = (1 - T/(N + ic = (1 - m)T / ig = (1 - T/(N + ig =	(B* cu*Nc))		1.00 0.79	1.00 0.82	(-) (-)
I valori di ic, iq	e i $\gamma$ sono stati valutati con le espressioni suggerite d	la Vesic (1975)			
$Nq = tg^{2}(45 + e^{2})$ Nc = (Nq - 1)/t $N\gamma = 2*(Nq + 1)$	$g(\varphi')$ (2+ $\pi$ in cond. nd)		1.00 5.14 0.00		(-) (-) (-)
I valori di Nc, N	lq e Ng sono stati valutati con le espressioni suggerit	te da Vesic (19	75)		
e = M / N B*= B - 2e	eccentricità larghezza equivalente		0.49 3.21	0.31 3.58	(m) (m)
$q_0 = \gamma d^*H2'$	sovraccarico stabilizzante		15.20		(kN/m <sup>2</sup> )
γ1	peso unità di volume terreno fondaz.		19.00		(kN/m <sup>3</sup> )
cu	res. al taglio nd terreno di fondaz.		75.00		(kPa)

GRUPPO FERROVIE DELLO STATO ITALIANE	NUOVO COI TRATTA VA	LEGAME LLELUNG	NTO PALERI	NA – CATANIA – 10 – CATANIA ISETTA XIRBI (LO – LOTTO 3B		0
NV54: ROTATORIA 2: MURO DI SOSTEGNO MU81 RELAZIONE DI CALCOLO	COMMESSA RS3T	LOTTO 30 D 78	CODIFICA	DOCUMENTO MU8100 001	REV.	FOGLIO 64 di 119

### 10.3.4 VERIFICA STATICA A RIBALTAMENTO, SCORRIMENTO E CARICO LIMITE VERTICALE -**C.NON DRENATE**

Condizione sismica +

<b>VER</b>	IFICA AL	LO SCORRIMENTO			
Risul	tante forz	e verticali (N)			
N	=	Pm+ Pt + vp + vs + Sst1v + Ssq1v + Ps v + Ptsv	409.32	(kN/m)	
Risul T	tante forz	e orizzontali (T) Sst1h + Ssq1h + fp + fs +Ps h + Ptsh	103.89	(kN/m)	
Coeff f	iciente di =	attrito alla base (f) tgφ1'	0.47	(-)	
Fs	=	(N*f + Sp) / T	1.84	>	1
<u>VER</u>	IFICA AL	RIBALTAMENTO			
Mom Ms	ento stab	ilizzante (Ms) Mm + Mt + Mfext3	890.69	( kNm/m )	
Mom Mr	ento ribalt =	ante (Mr) MSst+MSsq+Mfext1+Mfext2+MSp+MPs+Mpts	196.37	( kNm/m )	
Fr	=	Ms / Mr	4.54	>	1
<u>VER</u>	IFICA A	CARICO LIMITE DELLA FONDAZIONE			
Risul N	tante forz	e verticali (N) Pm+ Pt + vp + vs + Sst1v + Ssq1v + Ps v + Ptsv + (Sovr acc)	Nmin 409.32	Nmax 422.52	(kN/m)
Risul	tante forz	e orizzontali (T)			

N = Pm+ Pt + vp + vs + Sst1v + Ssg1v + Ps v + Ptsv + (Sovr acc)	100 33 NMIN	10max	(kN/m)
1 - FIIIT FLT VP T VS T 35LIV T 354 IV T FS V T FLSV T (30VI acc)	403.32	422.32	(KIWIII)
Risultante forze orizzontali (T)			
T = Sst1h + Ssq1h + fp + fs + Ps h + Ptsh - Sp	103.89		(kN/m)
Risultante dei momenti rispetto al piede di valle (MM)			
$MM = \Sigma M$	717.43	751.09	(kNm/m)
	v + Ssq1v + Ps v + Ptsv + (Sovr acc) 409.32 422.52 (kf) +Ps h + Ptsh - Sp 103.89 (kf) li valle (MM) 717.43 751.09 (kf) azione (M)		
Momento rispetto al baricentro della fondazione (M)			
M = Xc*N - MM	142.13	136.19	( kNm/m )



NV54: ROTATORIA 2: MURO DI SOSTEGNO MU81 RELAZIONE DI CALCOLO 
 COMMESSA
 LOTTO
 CODIFICA
 DOCUMENTO
 REV.
 FOGLIO

 RS3T
 30 D 78
 CL
 MU8100 001
 B
 65 di 119

2.88

Nmax

#### Formula Generale per il Calcolo del Carico Limite Unitrario (Brinch-Hansen, 1970)

Fondazione Nastriforme

qlim = c'Nc\*ic +  $q_0$ \*Nq\*iq + 0.5\* $\gamma$ 1\*B\*N $\gamma$ \*i $\gamma$ 

FS carico li	mite	F = qlim*B*/ N	Nmin	2.93	>	1.2
qlim	(carico limite unita	ario)		341.55	342.38	(kN/m <sup>2</sup> )
(fondazione nas	striforme m = 2)					
iq = (1 - T/(N + ic = (1 - m T / (ic = (1 - m T / (ic = (1 - T/(N + ic =	B* cu*Nc))	1 in cond. nd)		1.00 0.85	1.00 0.85	(-) (-)
l valori di ic, iq	e iγ sono stati valut	ati con le espressioni suggerite d	da Vesic (1975)			
Nq = $tg^2(45 + q)$ Nc = $(Nq - 1)/tg$ N $\gamma$ = $2*(Nq + 1)$	g(φ') (2+	n cond. nd) ·π in cond. nd) n cond. nd)		1.00 5.14 0.00		(-) (-) (-)
I valori di Nc, N	q e Ng sono stati v	alutati con le espressioni suggeri	ite da Vesic (19	75)		
e = M / N B*= B - 2e	eccentricità larghezza equival	ente		0.35 3.51	0.32 3.56	(m) (m)
$q_0 = \gamma d^*H2'$	sovraccarico stab	ilizzante		15.20		(kN/m <sup>2</sup> )
γ1	peso unità di volui	me terreno fondaz.		19.00		(kN/m <sup>3</sup> )
cu	res. al taglio nd te	rreno di fondaz.		75.00		(kN/mq)



#### Condizione sismica -

#### **VERIFICA ALLO SCORRIMENTO**

Momento rispetto al baricentro della fondazione (M)

Xc\*N - MM

M =

VER	RIFICA AL	LO SCORRIMENTO			
Risul N	ltante forz	e verticali (N) Pm+ Pt + vp + vs + Sst1v + Ssq1v + Ps v + Ptsv	387.70	(kN/m)	
Risul T	ltante forz	e orizzontali (T) Sst1h + Ssq1h + fp + fs +Ps h + Ptsh	100.28	(kN/m)	
Coeff f	ficiente di =	attrito alla base (f) tgφ1'	0.47	(-)	
Fs	=	(N*f + Sp) / T	1.80	>	1
VER	RIFICA AL	_ RIBALTAMENTO			
Mom Ms	ento stabi =	lizzante (Ms) Mm + Mt + Mfext3	890.69	( kNm/m )	
Mom Mr	nento ribalt =	ante (Mr) MSst+MSsq+Mfext1+Mfext2+MSp+MPs+Mpts	260.63	( kNm/m )	
Fr	=	Ms / Mr	3.42	>	1
VER	RIFICA A	CARICO LIMITE DELLA FONDAZIONE			
Risul N	ltante forz	e verticali (N) Pm+ Pt + vp + vs + Sst1v + Ssq1v + Ps v + Ptsv	Nmin 387.70	Nmax 400.90	(kN/m)
Risul T	ltante forz	e orizzontali (T) Sst1h + Ssq1h + fp + fs +Ps h + Ptsh - Sp	100.	.28	(kN/m)
Risul MM		momenti rispetto al piede di valle (MM) ΣΜ	674.68	708.34	( kNm/m )

139.49

133.55 (kNm/m)



NV54: ROTATORIA 2: MURO DI SOSTEGNO MU81 RELAZIONE DI CALCOLO 
 COMMESSA
 LOTTO
 CODIFICA
 DOCUMENTO
 REV.
 FOGLIO

 RS3T
 30 D 78
 CL
 MU8100 001
 B
 67 di 119

3.08

3.03

1.2

Nmin

Nmax

#### Formula Generale per il Calcolo del Carico Limite Unitrario (Brinch-Hansen, 1970)

#### Fondazione Nastriforme

FS carico limite

#### qlim = c'Nc\*ic + $q_0$ \*Nq\*iq + 0,5\* $\gamma$ 1\*B\*N $\gamma$ \*i $\gamma$

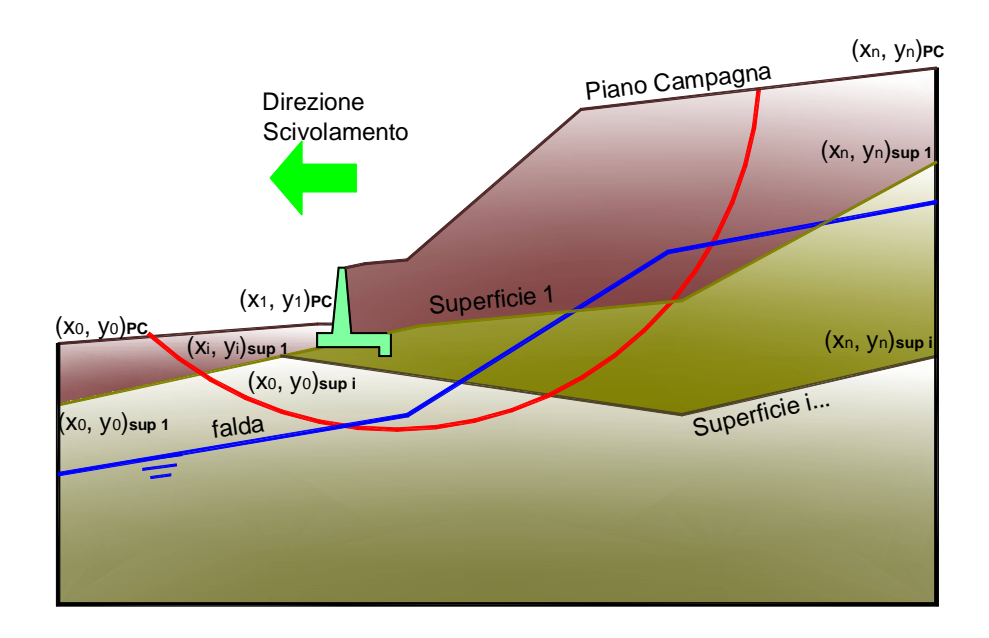
cu	res. al taglio nd terreno di fondaz.	75.00		(kN/mq)
γ1	peso unità di volume terreno fondaz.	19.00		(kN/m <sup>3</sup> )
$q_0 = \gamma d^*H2'$	sovraccarico stabilizzante	15.20		(kN/m <sup>2</sup> )
e = M / N B*= B - 2e	eccentricità larghezza equivalente	0.36 3.48	0.33 3.53	(m) (m)
l valori di Nc, î	Nq e Ng sono stati valutati con le espressioni suggerite da Vesic (1975)			
	$\phi'/2)^*e^{(\pi^*tg(\phi'))}$ (1 in cond. nd) $g(\phi')$ (2+ $\pi$ in cond. nd) 1)* $tg(\phi')$ (0 in cond. nd)	1.00 5.14 0.00		(-) (-) (-)
l valori di ic, iq	e iγ sono stati valutati con le espressioni suggerite da Vesic (1975)			
ic = (1 - m T /	+ B*c'cotgφ')) <sup>m</sup> (1 in cond. nd) (B* cu*Nc)) · B*c'cotgφ')) <sup>m+1</sup>	1.00 0.85	1.00 0.85	(-) (-) (-)
(fondazione na	astriforme m = 2)			
qlim	(carico limite unitario)	343.19	344.06	(kN/m <sup>2</sup> )

F = qlim\*B\*/N

STALFERR GRUPPO FERROVIE DELLO STATO ITALIANE	NUOVO COI TRATTA VA	LLEGAME LLELUNG	NTO PALERI	NA – CATANIA – MO – CATANIA ISETTA XIRBI (LO – LOTTO 3B		
NV54: ROTATORIA 2: MURO DI SOSTEGNO MU81 RELAZIONE DI CALCOLO	COMMESSA RS3T	LOTTO 30 D 78	CODIFICA CL	DOCUMENTO MU8100 001	REV.	FOGLIO 68 di 119

#### 10.3.5 VERIFICA DI STABILITÀ GLOBALE – COND. DRENATE

Le analisi di stabilità, di seguito riportate, sono state effettuate limitando la ricerca delle potenziali superfici di scorrimento critiche alla fascia più prossima alla linea stradale.

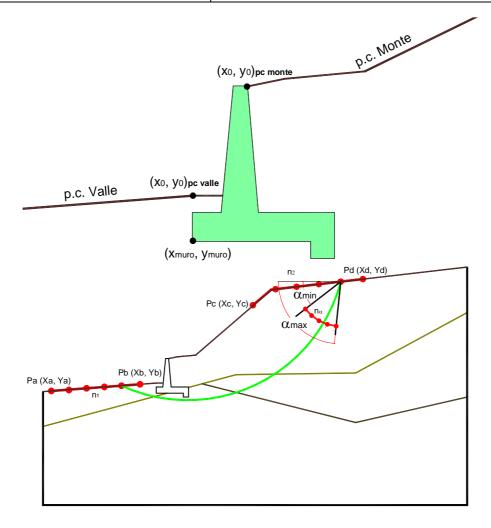


	γ [kN/m³]	φ [°]	<b>c</b> [kPa]	Descrizione
materiale 1	19.00	35	0	Rilevato - riporto
materiale 2	19.00	25	15	Unità geotecnica 1 - a2
materiale 3	21.00	39	0	Unità geotecnica 1 - TRVa
materiale 4				-



NV54: ROTATORIA 2: MURO DI SOSTEGNO MU81 RELAZIONE DI CALCOLO 
 COMMESSA
 LOTTO
 CODIFICA
 DOCUMENTO
 REV.
 FOGLIO

 RS3T
 30 D 78
 CL
 MU8100 001
 B
 69 di 119

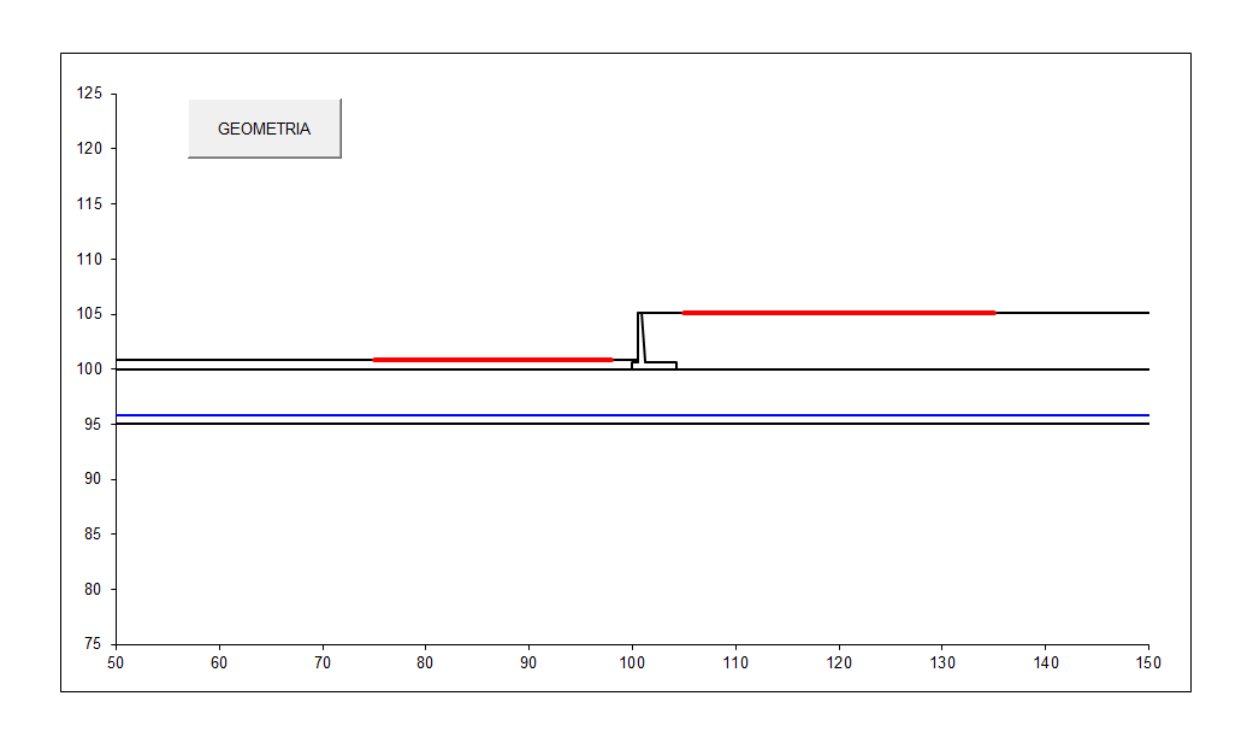


	p.c. val	le		p.c. mo	nte		superfic	ie 1		superfici	ie 2		superfic	cie 3		falda	
	1	materiale 1				- 1	mater	iale 2		materi	ale 3		mater	riale 4		ç∣da	
	х	у		х	У		X	у		x	у		х	У		х	У
0	100.000	100.800	0	100.900	105.100	0	50.000	100.000	0	50.000	95.000	0		1	0	50.000	95.800
1	50.000	100.800	1	150.000	105.100	1	150.000	100.000	1	150.000	95.000	1			1	150.000	95.800
2			2			2			2			2			2		
3			3			3			3			3			3		
4			4			4			4			4			4		
5			5			5			5			5			5		
6			6			6			6			6			6		
7			7			7			7			7			7		
8			8			8			8			8			8		
9			9			9			9			9			9		
10			10			10			10			10			10		

#### Sovraccarichi



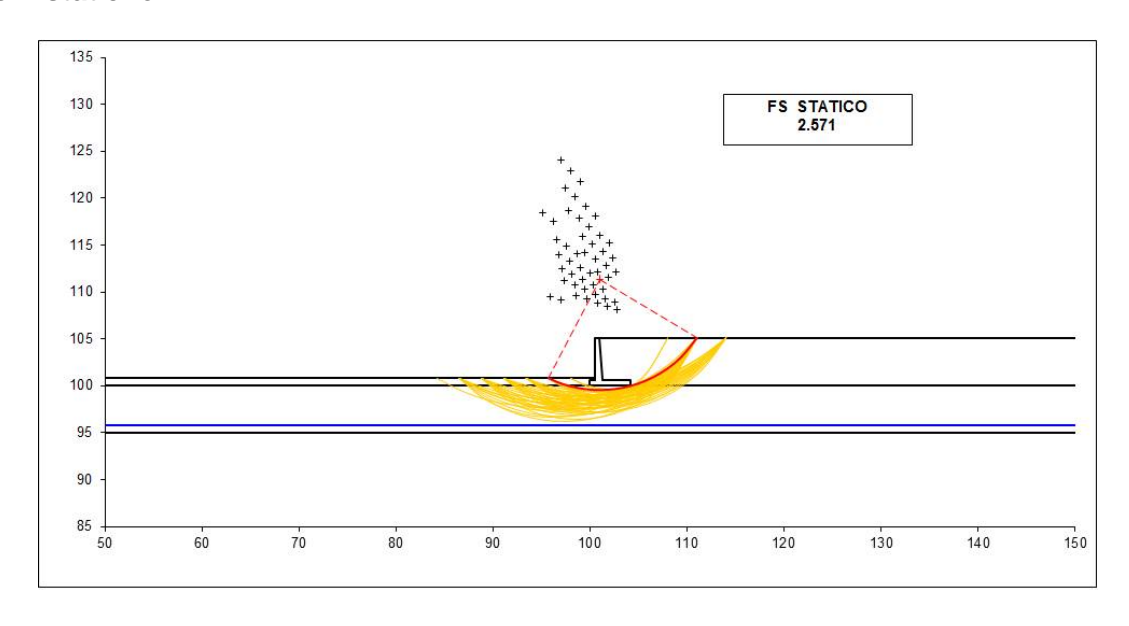




#strisce
30

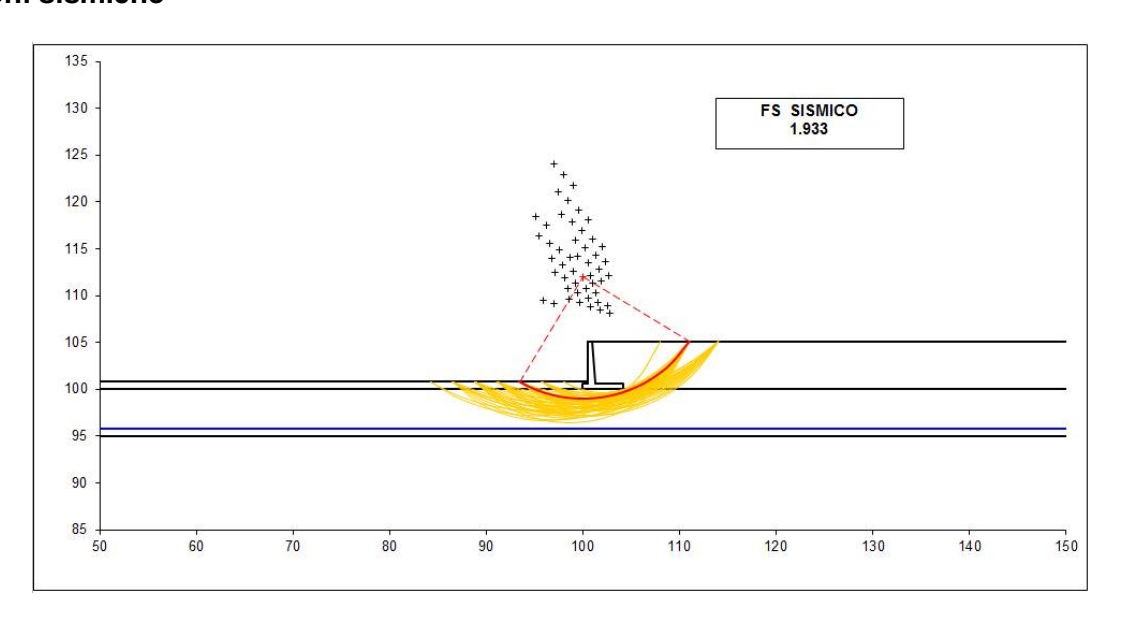
# Superfici Calcolate	FS Bishop					
866	STATICO	2.571				
800	SISMICO	1.933				

#### Condizioni statiche





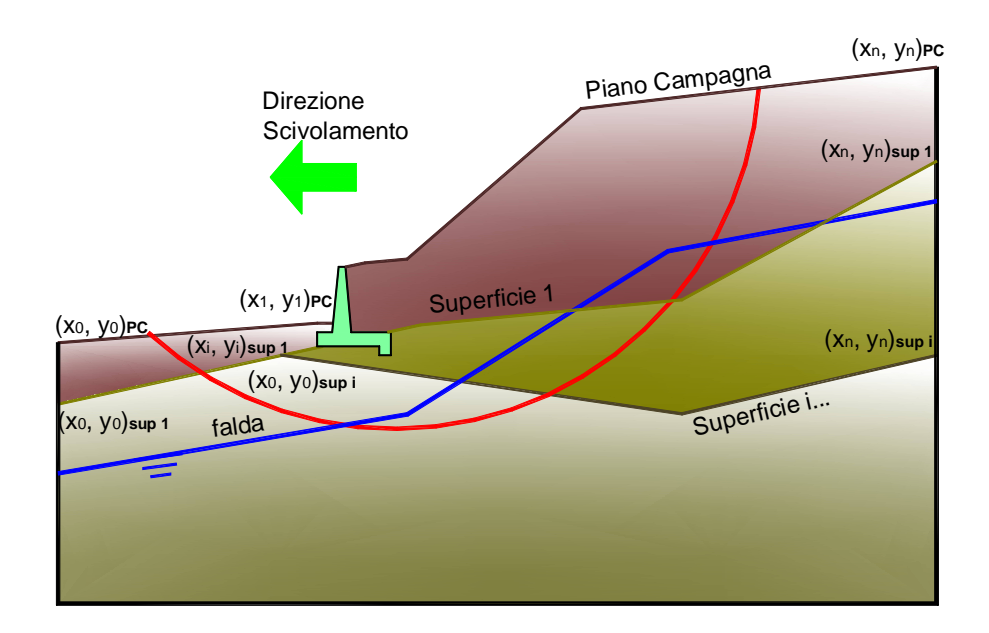
#### Condizioni sismiche





#### 10.3.6 VERIFICA DI STABILITÀ GLOBALE - COND. NON DRENATE

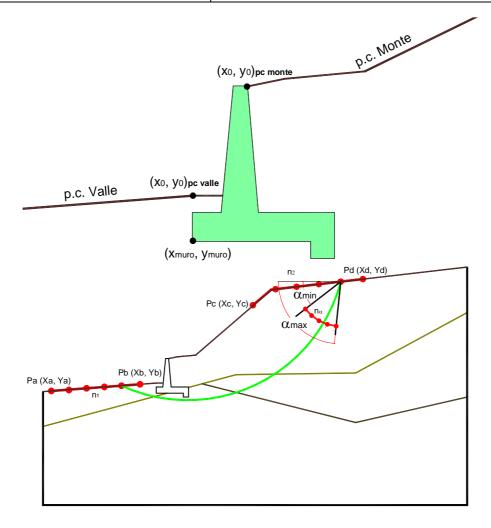
Le analisi di stabilità, di seguito riportate, sono state effettuate limitando la ricerca delle potenziali superfici di scorrimento critiche alla fascia più prossima alla linea stradale.





NV54: ROTATORIA 2: MURO DI SOSTEGNO MU81 RELAZIONE DI CALCOLO 
 COMMESSA
 LOTTO
 CODIFICA
 DOCUMENTO
 REV.
 FOGLIO

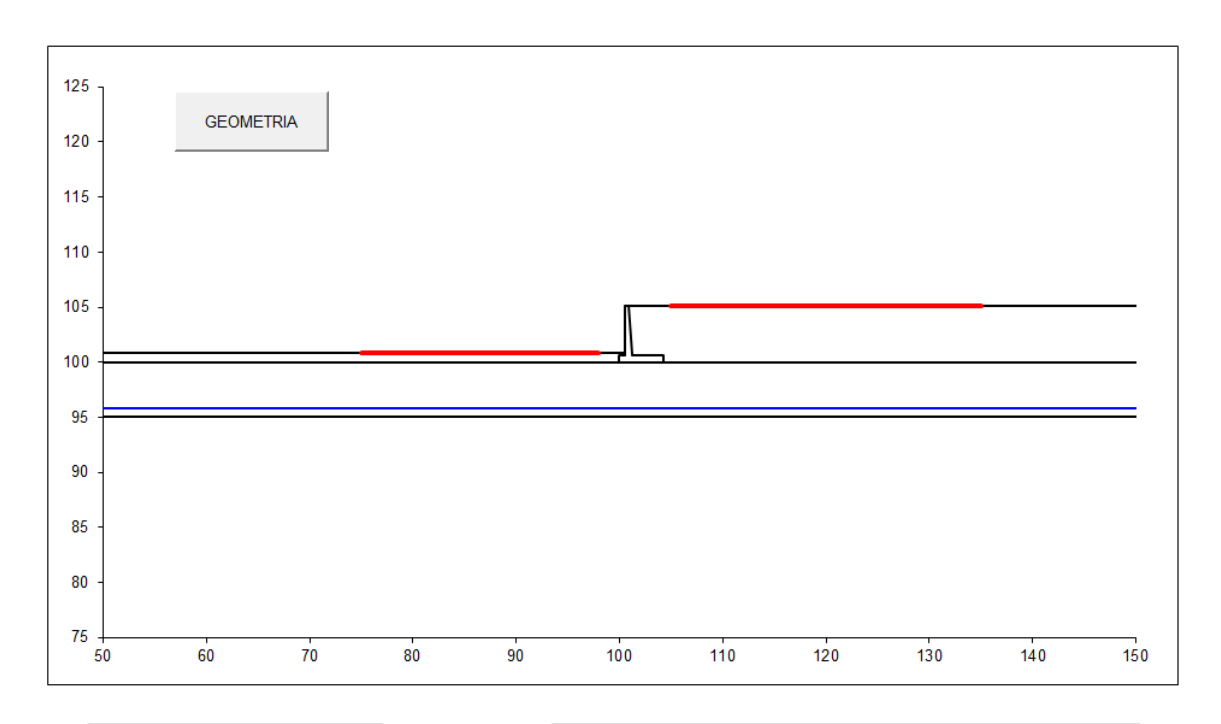
 RS3T
 30 D 78
 CL
 MU8100 001
 B
 73 di 119



	p.c. val	lle		p.c. mo	nte		superfic	ie 1		superfici	e 2		superf	icie 3			
mate		materiale 1			materiale 2		materiale 3		materiale 4		₽da						
	х	у		х	У		x	у		X	у		х	у		х	у
0	100.000	100.800	0	100.900	105.100	0	50.000	100.000	0	50.000	95.000	0		4	0	50.000	95.80
1	50.000	100.800	1	150.000	105.100	1	150.000	100.000	1	150.000	95.000	1			1	150.000	95.80
2			2			2			2			2			2		
3			3			3			3			3			3		
4			4			4			4			4			4		
5			5			5			5			5			5		
6			6			6			6			6			6		
7			7			7			7			7			7		
8			8			8			8			8			8		
9			9			9			9			9			9		
10			10			10			10			10			10		



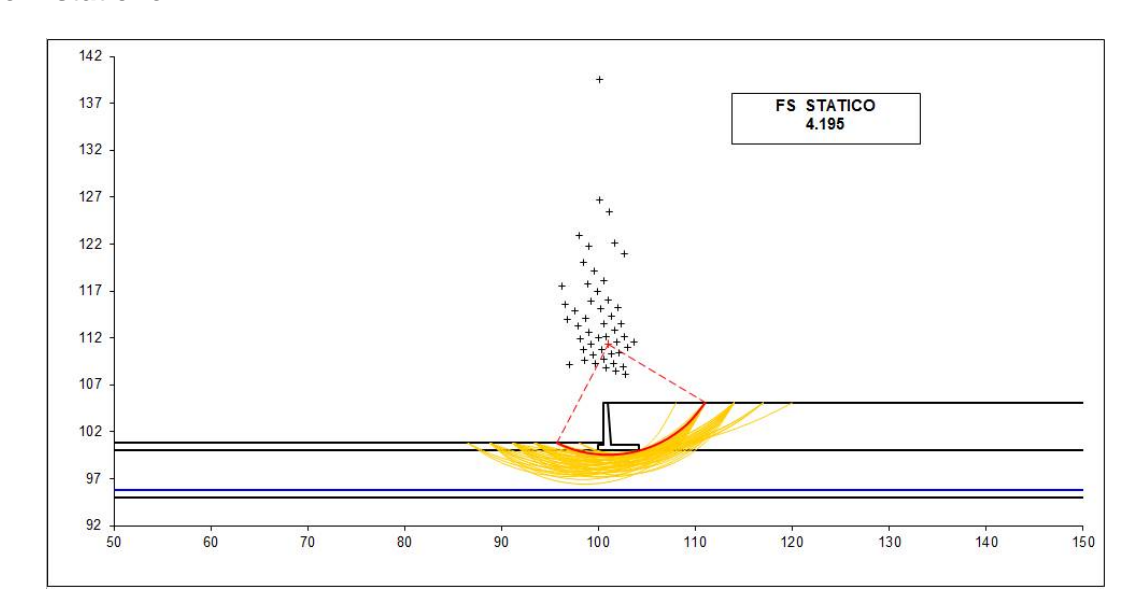




#strisce
30

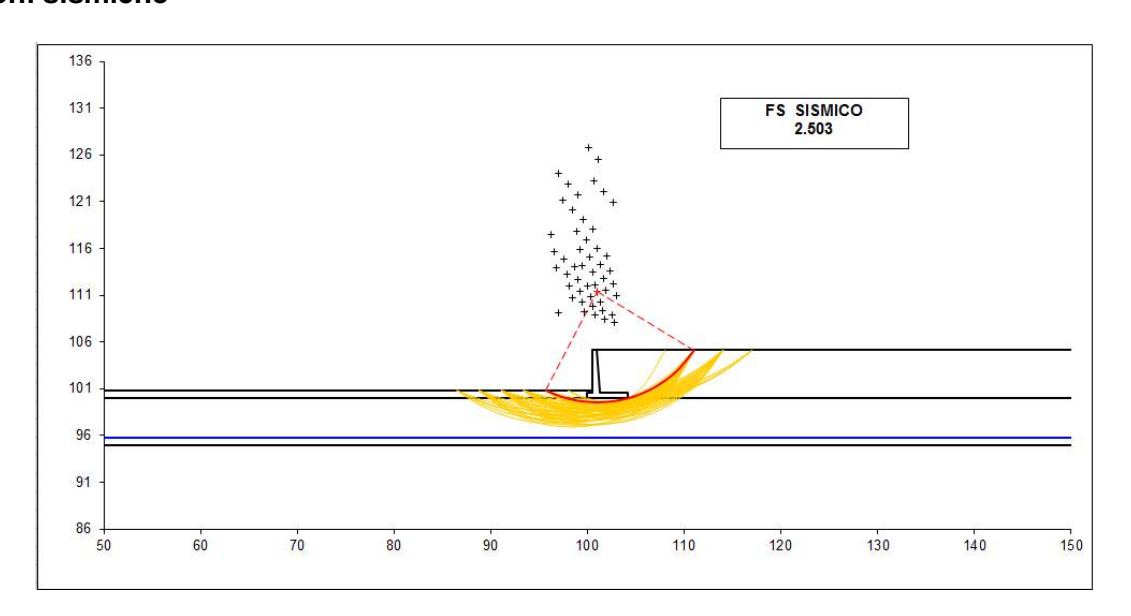
# Superfici Calcolate	FS Bish		
866	STATICO	4.195	
800	SISMICO	2.503	

# Condizioni statiche





### Condizioni sismiche



NV54: ROTATORIA 2: MURO DI SOSTEGNO MU81 RELAZIONE DI CALCOLO 
 COMMESSA
 LOTTO
 CODIFICA
 DOCUMENTO
 REV.
 FOGLIO

 RS3T
 30 D 78
 CL
 MU8100 001
 B
 76 di 119

#### 10.4 VERIFICHE STRUTTURALI

### 10.4.1 CALCOLO DELLE SOLLECITAZIONI

#### Reazione del terreno

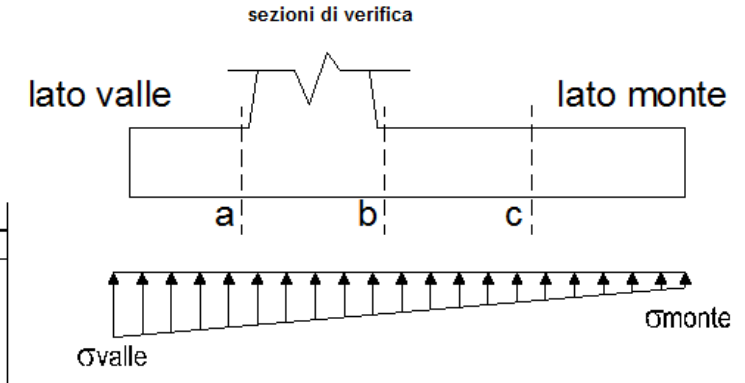
ovalle = N / A + M / Wgg

omonte = N / A - M / Wgg

A = 1.0\*B = 4.20

 $Wgg = 1.0*B^2/6 = 2.94$  (m<sup>3</sup>)

0000	N	M	σvalle	σmonte
caso	[kN]	[kNm]	[kN/m <sup>2</sup> ]	[kN/m <sup>2</sup> ]
statico	398.51	196.37	161.67	28.09
Statico	494.21	153.30	169.81	65.53
sisma+	411.68	157.17	151.48	44.56
SISIIIa+	424.88	151.23	152.60	49.72
sisma	385.34	154.00	144.13	39.37
sisma-	398.54	148.06	145.25	44.53



#### Mensola Lato Valle

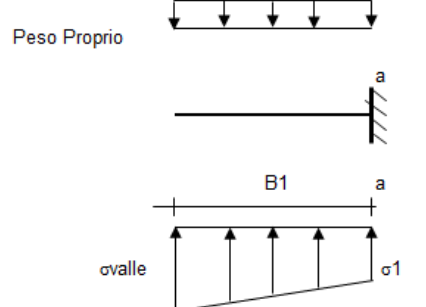
Peso Proprio.

PP = 15.00 (kN/m)

(m<sup>2</sup>)

 $\begin{aligned} \text{Ma} &= \ \sigma 1^* B 1^2 / 2 + (\sigma \text{valle} - \sigma 1)^* B 1^2 / 3 - PP^* B 1^2 / 2^* (1 \pm k v) \\ \text{Va} &= \ \sigma 1^* B 1 + (\sigma \text{valle} - \sigma 1)^* B 1 / 2 - PP^* B 1^* (1 \pm k v) \end{aligned}$ 

	σvalle	σ1	Ma	Va
caso	[kN/m <sup>2</sup> ]	[kN/m <sup>2</sup> ]	[kNm]	[kN]
statico	161.67	145.77	17.67	69.36
Statico	169.81	157.40	18.83	74.30
sisma+	151.48	138.75	16.47	67.99
SiSilia+	152.60	140.35	16.69	68.55
aiama	144.13	131.66	15.68	64.31
sisma-	145 25	133 26	15 78	64 88



#### Mensola Lato Monte

PP	=	15.00	(kN/m²)
PD	=	0.00	(kN/m)

peso proprio soletta fondazione peso proprio dente

			•	•	
		Nmin	N max stat	N max sism	
pm	=	85.50	114.50	89.50	(kN/m <sup>2</sup> )
pvb	=	85.50	114.50	89.50	(kN/m <sup>2</sup> )
DVC	=	85 50	114 50	89 50	(kN/m <sup>2</sup> )

$$\label{eq:monte-poly} \begin{split} Mb &= (\sigma_{monte} - (pvb + PP)^*(1\pm kv))^*B5^2/2 + (\sigma 2b - \sigma_{monte})^*B5^2/6 - (pm - pvb))^*(1\pm kv)^*B5^2/3 + \\ &- (Stv + Sqv)^*B5 - PD^*(1\pm kv)^*(B5 - Bd/2) - PD^*kh^*(Hd + H2/2) + Msp + Sp^*H2/2 \end{split}$$

 $\begin{aligned} &Mc = &(\sigma_{monte}(pvc+PP)^*(1\pm kv))^*(B5/2)^2/2 + (\sigma_2c-\sigma_{monte})^*(B5/2)^2/6 - (pm-pvc)^*(1\pm kv)^*(B5/2)^2/3 + \\ &- &(Stv+Sqv)^*(B5/2)-PD^*(1\pm kv)^*(B5/2-Bd/2)-PD^*kh^*(Hd+H2/2) + Msp+Sp^*H2/2 \end{aligned}$ 

 $Vb = (\sigma_{monte} - (pvb + PP)^*(1 \pm kv))^*B5 + (\sigma 2b - \sigma_{monte})^*B5/2 - (pm - pvb))^*(1 \pm kv)^*B5/2 - (Stv + Sqv) - PD^*(1 \pm kv)$ 

Stv+Stq

Peso del Terrapieno

 $Vc = (\sigma_{monte} - (pvc + PP)^*(1 \pm kv))^*(B5/2) + (\sigma_{2}c - \sigma_{monte})^*(B5/2)/2 - (pm-pvc)^*(1 \pm kv)^*(B5/2)/2 - (Stv + Sqv) - PD^*(1 \pm kv)$ 



NV54: ROTATORIA 2: MURO DI SOSTEGNO MU81 RELAZIONE DI CALCOLO

COMMESSA	LOTTO	CODIFICA	DOCUMENTO	REV.	FOGLIO
RS3T	30 D 78	CL	MU8100 001	В	77 di 119

0000	omonte	σ2b	Mb	Vb	<del>σ</del> 2c	Mc	Vc
caso	[kN/m <sup>2</sup> ]	[kN/m <sup>2</sup> ]	[kNm]	[kN]	[kN/m <sup>2</sup> ]	[kNm]	[kN]
statico	28.09	121.60	-178.23	-75.42	74.85	-61.39	-72.08
Statico	65.53	138.53	-171.32	-80.77	102.03	-55.98	-67.21
	44.56	119.40	-148.43	-64.30	81.98	-50.58	-59.65
sisma+	49.72	121.74	-148.05	-65.43	85.73	-49.98	-59.18
aiama	39.37	112.70	-144.08	-62.08	76.03	-49.23	-57.99
sisma-	44.53	115.03	-142.55	-62.43	79.78	-48.33	-57.12

#### CALCOLO SOLLECITAZIONI PARAMENTO VERTICALE DEL MURO

#### Azioni sulla parete e Sezioni di Calcolo

Mt stat =  $\frac{1}{2} \text{Ka}_{\text{orizz.}}^* \gamma^* (1 \pm \text{kv})^* h^{2*} h/3$ 

Mt sism =  $\frac{1}{2} * \gamma * (Kas_{orizz} * (1\pm kv) - Ka_{orizz})*h^2*h/2$  o \*h/3 Mq =  $\frac{1}{2} * Ka_{orizz} * \gamma * h^2$ 

 $\begin{aligned} Mq &= \frac{1}{2} Ka_{orizz} *q*h \\ M_{ext} &= m+f*h \\ M_{inerzia} &= \Sigma Pm_i *b_i *kh \end{aligned}$ 

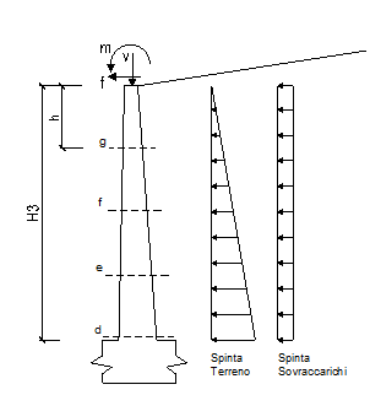
N<sub>ext</sub> = v

N pp+inerzia= $\Sigma Pm_i^*(1\pm kv)$ 

Vt stat =  $\frac{1}{2}$  Ka<sub>orizz.</sub>\*  $\gamma$ \*(1±kv)\*h<sup>2</sup>

 $Vt \; sism = \; \frac{1}{2} * \gamma * (Kas_{orizz.} * (1\pm kv) - Ka_{orizz.}) * h^2$ 

Vq =  $Ka_{orizz}^*q^*h$   $V_{ext}$  = f $V_{inerzia}$  =  $\Sigma Pm_i^*kh$ 



#### condizione statica

sezione	h	Mt	Mq	M <sub>ext</sub>	kNm/m]         [kNm/m]         [kN/m]         [kN/m]           0.00         181.23         3.50         65.25           0.00         87.64         3.50         45.14           0.00         32.60         3.50         27.56	N <sub>tot</sub>		
SCZIONC	[m]	[kNm/m]	[kNm/m]	[kNm/m]	[kNm/m]	[kN/m]	[kN/m]	[kN/m]
d-d	4.50	101.66	79.57	0.00	181.23	3.50	65.25	68.75
e-e	3.38	42.89	44.76	0.00	87.64	3.50	45.14	48.64
f-f	2.25	12.71	19.89	0.00	32.60	3.50	27.56	31.06
g-g	1.13	1.59	4.97	0.00	6.56	3.50	12.52	16.02

sezione	h	Vt	Vq	$V_{\text{ext}}$	V <sub>tot</sub>
SEZIONE	[m]	[kN/m]	[kN/m]	[kN/m]	[kN/m]
d-d	4.50	67.77	35.36	0.00	103.14
e-e	3.38	38.12	26.52	0.00	64.64
f-f	2.25	16.94	17.68	0.00	34.62
a-a	1.13	4.24	8.84	0.00	13.08

#### condizione sismica +

sezione	h	Mt stat	Mt sism	Mq	M <sub>ext</sub>	M <sub>inerzia</sub>	M <sub>tot</sub>	N <sub>ext</sub>	N <sub>pp+inerzia</sub>	N <sub>tot</sub>
	[m]	[kNm/m]	[kNm/m]	[kNm/m]	[kNm/m]	[kNm/m]	[kNm/m]	[kN/m]	[kN/m]	[kN/m]
d-d	4.50	78.20	13.19	12.41	0.00	8.78	112.58	3.50	67.43	70.93
e-e	3.38	32.99	5.57	6.98	0.00	4.65	50.19	3.50	46.65	50.15
f-f	2.25	9.77	1.65	3.10	0.00	1.94	16.47	3.50	28.48	31.98
g-g	1.13	1.22	0.21	0.78	0.00	0.45	2.66	3.50	12.93	16.43

sezione	h	Vt stat	Vt sism	Vq	V <sub>ext</sub>	Vinerzia	V <sub>tot</sub>
	[m]	[kN/m]	[kN/m]	[kN/m]	[kN/m]	[kN/m]	[kN/m]
d-d	4.50	52.13	8.80	5.52	0.00	4.35	70.80
e-e	3.38	29.32	4.95	4.14	0.00	3.01	41.42
f-f	2.25	13.03	2.20	2.76	0.00	1.84	19.83
g-g	1.13	3.26	0.55	1.38	0.00	0.83	6.02

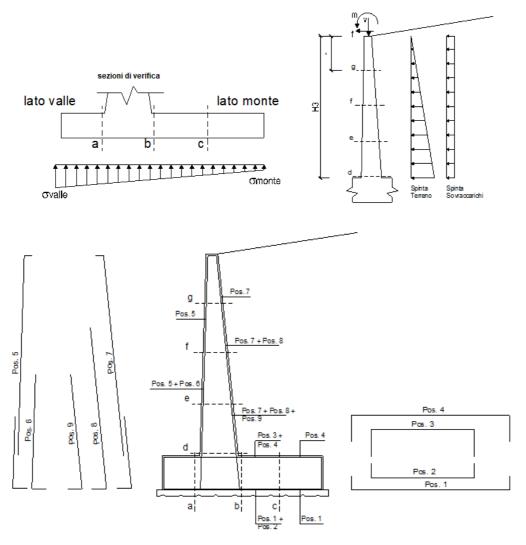
#### condizione sismica -

sezione	h	Mt stat	Mt sism	Mq	M <sub>ext</sub>	M <sub>inerzia</sub>	M <sub>tot</sub>	N <sub>ext</sub>	N <sub>pp+inerzia</sub>	N <sub>tot</sub>
	[m]	[kNm/m]	[kNm/m]	[kNm/m]	[kNm/m]	[kNm/m]	[kNm/m]	[kN/m]	[kN/m]	[kN/m]
d-d	4.50	78.20	8.02	12.52	0.00	8.78	107.51	3.50	63.07	66.57
e-e	3.38	32.99	3.38	7.04	0.00	4.65	48.07	3.50	43.64	47.14
f-f	2.25	9.77	1.00	3.13	0.00	1.94	15.85	3.50	26.64	30.14
g-g	1.13	1.22	0.13	0.78	0.00	0.45	2.58	3.50	12.10	15.60

sezione	h	Vt stat	Vt sism	Vq	V <sub>ext</sub>	V <sub>inerzia</sub>	V <sub>tot</sub>
	[m]	[kN/m]	[kN/m]	[kN/m]	[kN/m]	[kN/m]	[kN/m]
d-d	4.50	52.13	5.35	5.56	0.00	4.35	67.39
e-e	3.38	29.32	3.01	4.17	0.00	3.01	39.51
f-f	2.25	13.03	1.34	2.78	0.00	1.84	18.99
g-g	1.13	3.26	0.33	1.39	0.00	0.83	5.82



#### 10.4.2 VERIFICHE SLU



### Armatura minima

L'armatura minima principale in fondazione deve essere in percentuale non inferiore allo 0.20% dell'area di conglomerato.

L'armatura minima principale presente in zona tesa deve essere in percentuale non inferiore allo 0.15% dell'area di conglomerato per l'intera lunghezza.

L'armatura secondaria, ortogonale a quella principale, deve essere pari al massimo delle seguenti percentuali:

- 0.10% dell'area di conglomerato in entrambi i lembi;
- 20% dell'armatura principale.



# Muro h = 4,50m su fondazione diretta

#### **ARMATURE**

pos	n°/ml	φ	II strato	pos	n°/ml	ф	II strato
1	10.0	16		5	10.0	16	
2	0.0	0		6	0.0	0	
3	0.0	0		7	10.0	20	
4	10.0	20		8	0.0	0	
				9	0.0	0	

Pertanto l'armatura secondaria sarà pari a:

sez a – a:  $\phi$ 10/20cm (ripartitori in fondazione e in elevazione);

sez b - b: \$10/20cm (ripartitori in fondazione);

sez c – c:  $\phi 10/20$ cm (ripartitori in fondazione);

sez d - d:  $\phi 10/20$ cm (ripartitori in fondazione);

sez e - e:  $\phi$ 10/20cm (ripartitori in fondazione);

sez f – f:  $\phi$ 10/20cm (ripartitori in fondazione);

sez g - g:  $\phi 10/20$ cm (ripartitori in fondazione);

Sez.	M	N	h	Af	A'f	Mu
(-)	(kNm)	(kN)	(m)	(cm²)	(cm <sup>2</sup> )	(kNm)
a - a	18.83	0.00	0.60	20.11	31.42	394.45
b - b	-178.23	0.00	0.60	31.42	20.11	595.23
C - C	-61.39	0.00	0.60	31.42	20.11	595.23
d - d	181.23	68.75	0.76	31.42	20.11	812.99
е -е	87.64	48.64	0.67	31.42	20.11	694.01
f-f	32.60	31.06	0.58	31.42	20.11	577.38
g - g	6.56	16.02	0.49	31.42	20.11	462.76

Sez.	V <sub>Ed</sub>	h	$V_{rd}$	ø staffe	i orizz.	i vert.	θ	$V_{Rsd}$	_
(-)	(kN)	(m)	(kN)	(mm)	(cm)	(cm)	(°)	(kN)	<del>-</del> -
a - a	74.30	0.60	234.90	10	20	20	21.8	907.58	Armatura a taglio non necessaria
b - b	80.77	0.60	272.58	10	20	20	21.8	907.58	Armatura a taglio non necessaria
C - C	72.08	0.60	272.58	10	20	20	21.8	907.58	Armatura a taglio non necessaria
d - d	103.14	0.76	319.29	10	20	20	21.8	1184.18	Armatura a taglio non necessaria
e -e	64.64	0.67	295.92	10	20	20	21.8	1028.59	Armatura a taglio non necessaria
f-f	34.62	0.58	271.65	10	20	20	21.8	873.01	Armatura a taglio non necessaria
g - g	13.08	0.49	246.16	10	20	20	21.8	717.42	Armatura a taglio non necessaria



#### 10.4.3 VERIFICHE SLE TENSIONE

_			
Cond	1710r	10 51	atica
COIIU	IZIOI	15 31	auca

Sez.	M	N	h	Af	A'f	σC	σf
(-)	(kNm)	(kN)	(m)	(cm <sup>2</sup> )	(cm²)	(N/mm <sup>2</sup> )	(N/mm <sup>2</sup> )
a - a	15.90	0.00	0.60	20.11	31.42	0.38	16.71
b - b	-126.58	0.00	0.60	31.42	20.11	2.70	86.47
C - C	-42.84	0.00	0.60	31.42	20.11	0.91	29.26
d - d	133.07	68.75	0.76	31.42	20.11	1.91	58.49
e -e	63.86	48.64	0.67	31.42	20.11	1.16	31.05
f-f	23.49	31.06	0.58	31.42	20.11	0.56	12.19
g - g	4.65	16.02	0.49	31.42	20.11	0.16	1.86

### Condizione Sismica

Sez.	M	N	h	Af	A'f	σc	σf
(-)	(kNm)	(kN)	(m)	(cm <sup>2</sup> )	(cm <sup>2</sup> )	(N/mm <sup>2</sup> )	(N/mm <sup>2</sup> )
a - a	16.29	0.00	0.60	20.11	31.42	0.39	17.12
b - b	-142.60	0.00	0.60	31.42	20.11	3.05	97.41
C - C	-48.51	0.00	0.60	31.42	20.11	1.04	33.14
d - d	113.66	66.96	0.76	31.42	20.11	1.63	48.78
e -e	50.44	47.41	0.67	31.42	20.11	0.92	23.26
f-f	16.42	30.31	0.58	31.42	20.11	0.40	7.35
g - g	2.61	15.67	0.49	31.42	20.11	0.09	0.39

#### 10.4.4 VERIFICHE SLE FESSURAZIONE

#### condizione Frequente

Sez.	М	N	h	Af	A'f	σC	σf	wk	W <sub>amm</sub>
(-)	(kNm)	(kN)	(m)	(cm <sup>2</sup> )	(cm <sup>2</sup> )	(N/mm <sup>2</sup> )	(N/mm <sup>2</sup> )	(mm)	(mm)
a - a	15.90	0.00	0.60	20.11	31.42	0.38	16.71	0.021	0.200
b - b	-126.58	0.00	0.60	31.42	20.11	2.70	86.47	0.093	0.200
C - C	-42.84	0.00	0.60	31.42	20.11	0.91	29.26	0.032	0.200
d - d	133.07	68.75	0.76	31.42	20.11	1.91	58.49	0.069	0.200
е -е	63.86	48.64	0.67	31.42	20.11	1.16	31.05	0.034	0.200
f-f	23.49	31.06	0.58	31.42	20.11	0.56	12.19	0.012	0.200
g - g	4.65	16.02	0.49	31.42	20.11	0.16	1.86	0.002	0.200

(n.b.: M+ tende le fibre di intradosso, M- tende le fibre di estradosso)

#### condizione Quasi Permanente

Sez.	M	N	h	Af	A'f	σc	σf	wk	$\mathbf{w}_{amm}$
(-)	(kNm)	(kN)	(m)	(cm <sup>2</sup> )	(cm <sup>2</sup> )	(N/mm <sup>2</sup> )	(N/mm <sup>2</sup> )	(mm)	(mm)
a - a	12.33	0.00	0.60	20.11	31.42	0.30	12.97	0.016	0.200
b - b	-71.32	0.00	0.60	31.42	20.11	1.52	48.72	0.052	0.200
C - C	-22.98	0.00	0.60	31.42	20.11	0.49	15.70	0.017	0.200
d - d	78.20	68.75	0.76	31.42	20.11	1.14	30.39	0.035	0.200
е -е	32.99	48.64	0.67	31.42	20.11	0.61	12.81	0.014	0.200
f-f	9.77	31.06	0.58	31.42	20.11	0.24	2.80	0.003	0.200
g - g	1.22	16.02	0.49	31.42	20.11	0.06	-0.15	0.000	0.200



#### 10.4.5 VERIFICHE STRUTTURALI IN PRESENZA DI URTO

Per le verifiche strutturali dei muri <u>"tipo 1"</u> si considera la verifica a pressoflessione della sezione di spiccato del paramento per la quale:

M=[100\*(Hp+1)]/Lc=57.89 kNm/m momento allo spiccato

T=100/Lc=10.53 kN/m taglio allo spiccato

in cui

Lc=0.5 m +2 Hp=9.50 m larghezza di ripartizione come descritto al par. 8.4

Hp=4.50 m altezza max del paramento

			- 1	valori caratteristici	valori di p	rogetto
Carichi	<u>Agenti</u>			SLE - sisma	STR/GEO	EQU
==	Sovraccarico permanente	(kN/m <sup>2</sup> )	qp	0.00	0.00	0.00
iri je	Sovraccarico su zattera di monte					
Carichi ırmaner	Forza Orizzontale in Testa permanente	(kN/m)	fp	0.00	0.00	0.00
Carichi oermanenti	Forza Verticale in Testa permanente	(kN/m)	vp	3.50	3.50	3.50
	Momento in Testa permanente	(kNm/m)	mp	0.00	0.00	0.00
	Sovraccarico Accidentale in condizioni statiche	$(kN/m^2)$	q	0.00	0.00	0.00
io et	Forza Orizzontale in Testa accidentale in condizioni statiche	(kN/m)	f	10.53	15.27	15.27
Condizioni Statiche	Forza Verticale in Testa accidentale in condizioni statiche	(kN/m)	V	0.00	0.00	0.00
S to	Momento in Testa accidentale in condizioni statiche	(kNm/m)	m	57.89	83.94	83.94
	Coefficienti di combinazione condizione frequer	ite Ψ1	1.00	condizione quasi permane	ente Ψ2	0.00
E e	Sovraccarico Accidentale in condizioni sismiche	$(kN/m^2)$	qs	0.00		
dizio Pict	Forza Orizzontale in Testa accidentale in condizioni sismiche	(kN/m)	fs	0.00		
Condizioni Sismiche	Forza Verticale in Testa accidentale in condizioni sismiche	(kN/m)	VS	0.00		
0 0	Momento in Testa accidentale in condizioni sismiche	(kNm/m)	ms	0.00		

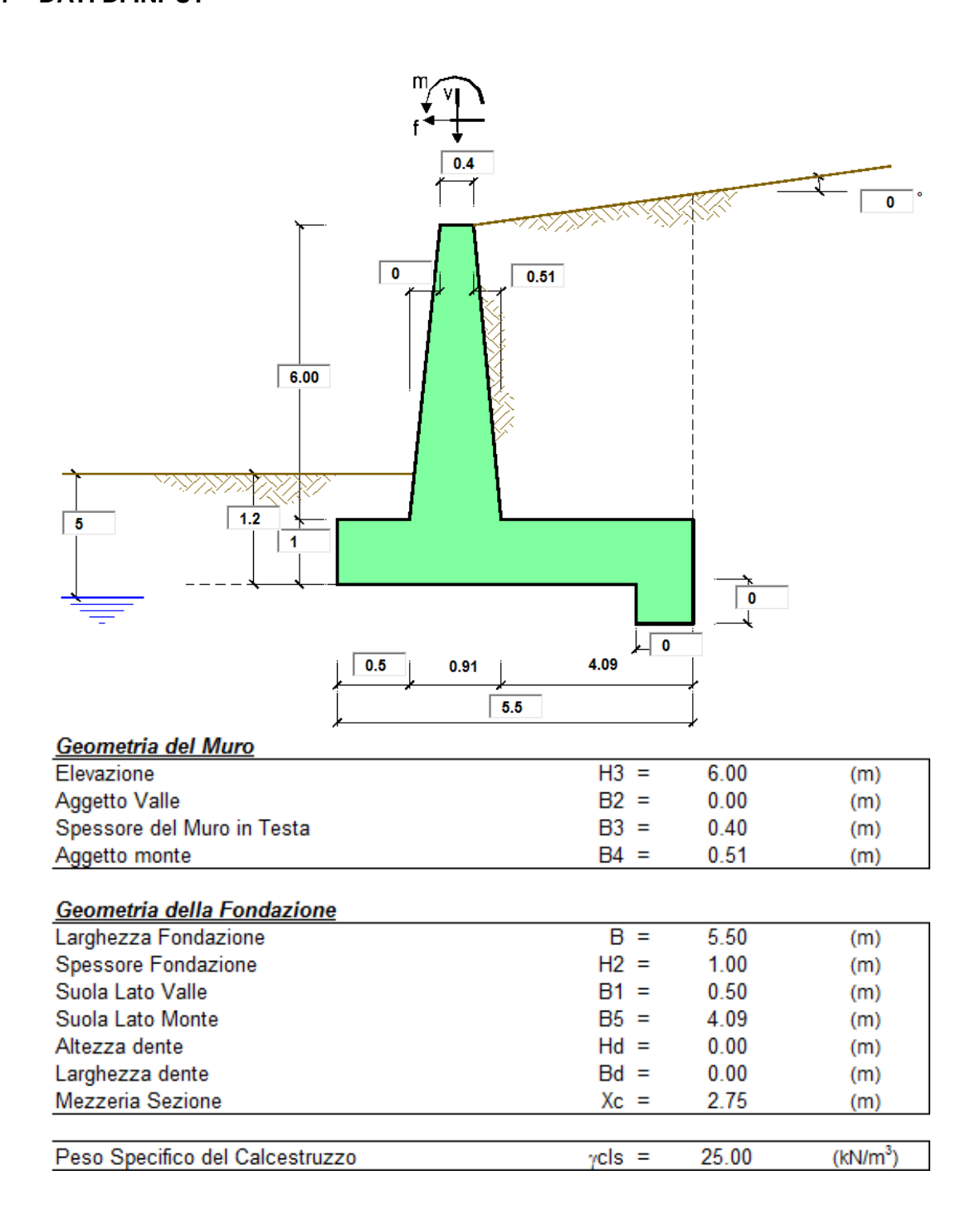
					Verifich	ie SLU
Sez.	M	N	h	Af	A'f	Mu
(-)	(kNm)	(kN)	(m)	(cm <sup>2</sup> )	(cm <sup>2</sup> )	(kNm)
a - a	20.00	0.00	0.60	20.11	31.42	394.45
b - b	-224.96	0.00	0.60	31.42	20.11	595.23
C - C	-78.19	0.00	0.60	31.42	20.11	595.23
d - d	254.31	68.75	0.76	31.42	20.11	812.99
e -e	178.36	48.64	0.67	31.42	20.11	694.01
f-f	131.00	31.06	0.58	31.42	20.11	577.38
g - g	102.71	16.02	0.49	31.42	20.11	462.76

Sez.	$V_{Ed}$	h	$V_{rd}$	ø staffe	i orizz.	i vert.	θ	$V_{Rsd}$	_
(-)	(kN)	(m)	(kN)	(mm)	(cm)	(cm)	(°)	(kN)	<del>-</del> -
a - a	78.29	0.60	234.90	10	20	20	21.8	907.58	Armatura a taglio non necessaria
b - b	93.31	0.60	272.58	10	20	20	21.8	907.58	Armatura a taglio non necessaria
C - C	91.45	0.60	272.58	10	20	20	21.8	907.58	Armatura a taglio non necessaria
d - d	83.04	0.76	319.29	10	20	20	21.8	1184.18	Armatura a taglio non necessaria
е -е	53.39	0.67	295.92	10	20	20	21.8	1028.59	Armatura a taglio non necessaria
f-f	32.21	0.58	271.65	10	20	20	21.8	873.01	Armatura a taglio non necessaria
g - g	19.50	0.49	246.16	10	20	20	21.8	717.42	Armatura a taglio non necessaria



#### 11. PROGETTO E VERIFICA DEL MURO DI SOSTEGNO "TIPO 2"

### 11.1 DATI DI INPUT





# Dati geotecnici e carichi agenti - Condizione statica e sismica

							eristici	valori di	orogetto
Dati (	<u>Geotecnici</u>					SLE		STR/GEO	EQU
eno	Angolo di attrito del terrapieno		(°)		φ'	35.00		35.00	35.00
Dati Terrapieno	Peso Unità di Volume del terrapieno		(kN/m³)		γ	19.00		19.00	19.00
- E	Angolo di attrito terreno-superficie ideale		(°)		δ	0.00		0.00	0.00
Dati Terreno Fondazione	Condizioni			dre	enate	Non Dre	nate		
daz	Coesione Terreno di Fondazione		(kPa)	(	c1'	15.00		15.00	15.00
Fon	Angolo di attrito del Terreno di Fondazione		(°)	(	φ1'	25.00		25.00	25.00
2	Peso Unità di Volume del Terreno di Fondazione		(kN/m³)		γ1	19.00		19.00	19.00
erre	Peso Unità di Volume del Rinterro della Fondazione		(kN/m³)		γd	19.00		19.00	19.00
<del>=</del>	Profondità "Significativa" (n.b.: consigliata H = 2*B)		(m)	I	Hs	11.00			
Da	Modulo di deformazione		(kN/m²)		Е	10000			
	Accelerazione sismica			2	<sub>g</sub> /g	0.096	(-)	1	
	Coefficiente Amplificazione Stratigrafico				g/9 Ss	1.5	(-)		
: <u>ō</u>	Coefficiente Amplificazione Topografico				S <sub>T</sub>	1.0	(-)	RIBALTA	MENTO
Dati Sismici	Coefficiente di riduzione dell'accelerazione massima				β <sub>s</sub>	0.38	(-)	βs	0.57
₩	Coefficiente sismico orizzontale				kh	0.05472	(-)	kh	0.08208
Õ	Coefficiente sismico verticale				kv	0.0274	(-)	kv	0.04104
	Muro libero di traslare o ruotare				•	si Ono			
						STR/GE	0	RI	В
	Coeff. di Spinta Attiva Statico	ka	0.271			0.271		0.271	
<del>.</del> <del>.</del> <del>.</del> .	Coeff. Di Spinta Attiva Sismica sisma +	kas+	0.300			0.300		0.315	
ient nta	Coeff. Di Spinta Attiva Sismica sisma -	kas-	0.302			0.302		0.319	
Coefficienti di Spinta	Coeff. Di Spinta Passiva	kp	2.464			2.464		2.464	
ပ္ပိ	Coeff. Di Spinta Passiva Sismica sisma +	kps+	2.379			2.379		2.336	
	Coeff. Di Spinta Passiva Sismica sisma -	kps-	2.374			2.374		2.325	

			Γ	valori caratteristici	valori di p	rogetto
Carichi	<u>Agenti</u>			SLE - sisma	STR/GEO	EQU
	Sovraccarico permanente	(kN/m <sup>2</sup> )	qp	0.00	0.00	0.00
e II	Sovraccarico su zattera di monte  si  no					
Carichi ermanen	Forza Orizzontale in Testa permanente	(kN/m)	fp	0.00	0.00	0.00
Carichi permanenti	Forza Verticale in Testa permanente	(kN/m)	vp	3.50	3.50	3.50
	Momento in Testa permanente	(kNm/m)	mp	0.00	0.00	0.00
	Sovraccarico Accidentale in condizioni statiche	(kN/m <sup>2</sup> )	q	20.00	29.00	29.00
Condizioni Statiche	Forza Orizzontale in Testa accidentale in condizioni statich	(kN/m)	f	0.00	0.00	0.00
ondizior Statiche	Forza Verticale in Testa accidentale in condizioni statiche	(kN/m)	V	0.00	0.00	0.00
ਨੂੰ ਨ	Momento in Testa accidentale in condizioni statiche	(kNm/m)	m	0.00	0.00	0.00
	Coefficienti di combinazione condizione frequer	nte Ψ1	1.00	condizione quasi permane	nte Ψ2	0.00
.E @	Sovraccarico Accidentale in condizioni sismiche	(kN/m <sup>2</sup> )	qs	4.00		
lizio Pich	Forza Orizzontale in Testa accidentale in condizioni sismicl	(kN/m)	fs	0.00		
Condizioni Sismiche	Forza Verticale in Testa accidentale in condizioni sismiche	(kN/m)	VS	0.00		
0 0	Momento in Testa accidentale in condizioni sismiche	(kNm/m)	ms	0.00		



# <u>Dati geotecnici e carichi agenti – Condizione eccezionale con urto</u>

							teristici	valori di progetto		
Dati (	<u>Geotecnici</u>					SLE		STR/GEO	EQU	
Dati Terrapieno	Angolo di attrito del terrapieno		(°)		φ'	35.00	)	35.00	35.00	
Dati rapie	Peso Unità di Volume del terrapieno		(kN/m³)		γ	19.00	)	19.00	19.00	
	Angolo di attrito terreno-superficie ideale		(°)		δ	0.00		0.00	0.00	
Dati Terreno Fondazione	Condizioni			<b>⊚</b> dre	nate	○ Non Dr	enate			
dazi	Coesione Terreno di Fondazione		(kPa)	C	:1'	15.00	)	15.00	15.00	
E E	Angolo di attrito del Terreno di Fondazione		(°)	q	p1'	25.00	)	25.00	25.00	
2	Peso Unità di Volume del Terreno di Fondazione		(kN/m³)		γ1	19.00	)	19.00	19.00	
erre	Peso Unità di Volume del Rinterro della Fondazione		(kN/m³)		γd	19.00	)	19.00	19.00	
Ē	Profondità "Significativa" (n.b.: consigliata H = 2*B)		(m)	H	ls.	14.00	)			
Ö	Modulo di deformazione		(kN/m²)		Е	1000	0			
	Accelerazione sismica				/a	0.096	()	1		
	Coefficiente Amplificazione Stratigrafico			-	/g Ss	1.5	(-)			
.2	Coefficiente Amplificazione Stratigrafico				S <sub>S</sub>	1.5	(-)	RIBALTA	MENTO	
Dati Sismici	Coefficiente di riduzione dell'accelerazione massima					0.38	(-)		0.57	
<u>io</u>	Coefficiente di riduzione dell'accelerazione massima Coefficiente sismico orizzontale				β₅ kh	0.05472	(-)	βs	0.08208	
Dat	Coefficiente sismico orizzontale  Coefficiente sismico verticale				kn kv	0.05472	(-)	kh kv	0.06206	
							(-)	KV	0.04104	
	Muro libero di traslare o ruotare				•	si 🔾 no	0	_		
						STR/G	EO	RI	В	
	Coeff. di Spinta Attiva Statico	ka	0.271			0.271		0.271		
Coefficienti di Spinta	Coeff. Di Spinta Attiva Sismica sisma +	kas+	0.300			0.300		0.315		
efficient Spinta	Coeff. Di Spinta Attiva Sismica sisma -	kas-	0.302			0.302		0.319		
effic Spi	Coeff. Di Spinta Passiva					2.464		2.464		
Ö	Coeff. Di Spinta Passiva Sismica sisma +	kps+	2.379			2.379		2.336		
	Coeff. Di Spinta Passiva Sismica sisma -	kps-	2.374			2.374		2.325		

			Γ	valori caratteristici	valori di p	rogetto
Carichi	<u>Agenti</u>			SLE - sisma	STR/GEO	EQU
	Sovraccarico permanente	(kN/m <sup>2</sup> )	qp	0.00	0.00	0.00
e II	Sovraccarico su zattera di monte					
Carichi ermanen	Forza Orizzontale in Testa permanente	(kN/m)	fp	0.00	0.00	0.00
Carichi permanenti	Forza Verticale in Testa permanente	(kN/m)	vp	3.50	3.50	3.50
	Momento in Testa permanente	(kNm/m)	mp	0.00	0.00	0.00
	Sovraccarico Accidentale in condizioni statiche	(kN/m <sup>2</sup> )	q	0.00	0.00	0.00
Condizioni Statiche	Forza Orizzontale in Testa accidentale in condizioni statich	(kN/m)	f	10.00	14.50	14.50
ondizior Statiche	Forza Verticale in Testa accidentale in condizioni statiche	(kN/m)	V	0.00	0.00	0.00
ਨੂੰ ਲੱ	Momento in Testa accidentale in condizioni statiche	(kNm/m)	m	10.00	14.50	14.50
	Coefficienti di combinazione condizione frequer	nte Ψ1	1.00	condizione quasi permane	nte Ψ2	0.00
. <u>=</u> •	Sovraccarico Accidentale in condizioni sismiche	(kN/m <sup>2</sup> )	qs	0.00		
Condizioni Sismiche	Forza Orizzontale in Testa accidentale in condizioni sismicl	(kN/m)	fs	0.00		
ond	Forza Verticale in Testa accidentale in condizioni sismiche	(kN/m)	VS	0.00		
0 0	Momento in Testa accidentale in condizioni sismiche	(kNm/m)	ms	0.00		



NV54: ROTATORIA 2: MURO DI SOSTEGNO MU81 RELAZIONE DI CALCOLO 
 COMMESSA
 LOTTO
 CODIFICA
 DOCUMENTO
 REV.
 FOGLIO

 RS3T
 30 D 78
 CL
 MU8100 001
 B
 86 di 119

#### CARATTERISTICHE DEI MATERIALI STRUTTURALI

lacksquare

0.2

mm

Quasi Permanente

Calcestruzzo						<u>Accia</u>	<u>io</u>				
classe cls	C32/40					tipo di	acciaio		B450C ▼		
Rck			40	(MP	'a)						
fck			32	(MP	'a)	fyk =			450	(MPa)	
fcm			40	(MP	a)						
Ec			33346	(MP	<sup>2</sup> a)	γs	=		1.15		
αοο			0.85								
γс			1.50			fyd = f	fyk /γs / γE	Ξ =	391.30	(MPa)	
$f_{od} = \alpha_{oc} * f_{ok} / \gamma c$			18.13	(MP	a)	Es	=	210000	(MPa)		
$f_{ctm} = 0.30*f_{ck}^{2/3}$			3.02	(MP	a)	ε <sub>ys</sub>	=	0.19%			
Tensioni limite condizioni static σ <sub>c</sub> σ <sub>f</sub>	<u>:he</u>	oni amn 19.2 360	n <u>issibili)</u> Mpa Mpa			coeffic	ciente omo	ogeneizzaz	ione acciaio	n = 15	i
	-1					<u>Copri</u>	<u>ferro</u> (di	stanza ass	e armatura-b	oordo)	
condizioni sismi σ <sub>c</sub>		19.2	Мра			c =	•	7.50	(cm)		
σf		360	Мра			•		7.50	(CIII)		
Of .		300	Wipa			<u>Copri</u>	ferro min	imo di no	rmativa	(ricoprimento a	rmatura)
						C <sub>min</sub>	=	4.50	(cm)		
Valore limite d	i apertu	ıra dell	e fessure			Interfe	erro tra I	e II strato	<u>)</u>		
Frequente		w	1	0.2	mm	$\mathbf{i}_{\text{I-II}}$		5.00	(cm)		

### 11.2 CALCOLO DELLE AZIONI

# 11.2.1 FORZE VERTICALI E INERZIALI

D 7 F 1	<b>ILDI</b>	
U/F	$V \vdash U \vdash$	ICALI
NZL	VLINI	ICALI

- Peso del Mu	ro (Pm)		SLE	STR/GEO	EQU/RIB			
Pm1 =	(B2*H3*γcls)/2	(kN/m)	0.00	0.00	0.00			
Pm2 =	(B3*H3* <sub>y</sub> cls)	(kN/m)	60.00	60.00	60.00			
Pm3 =	(B4*H3*γcls)/2	(kN/m)	38.25	38.25	38.25			
Pm4 =	(B*H2*γcls)	(kN/m)	137.50	137.50	137.50			
Pm5 =	(Bd*Hd*γcls)	(kN/m)	0.00	0.00	0.00			
Pm =	Pm1 + Pm2 + Pm3 + Pm4 + Pm5	(kN/m)	235.75	235.75	235.75			
- Peso del terr Pt1 = Pt2 = Pt3 = Sovr =	eno e sovr. perm. sulla scarpa di monte del muro (Pt) (B5*H3*½') (0,5*(B4+B5)*H4*½') (B4*H3*½')/2 qp * (B4+B5)	(kN/m) (kN/m) (kN/m) (kN/m)	466.26 0.00 29.07 0.00	466.26 0.00 29.07 0.00	466.26 0.00 29.07 0.00			
Pt =	Pt1 + Pt2 + Pt3 + Sovr	(kN/m)	495.33	495.33	495.33			
- Sovraccarico Sovr acc. Stat	Sovraccarico accidentale sulla scarpa di monte del muro							
	n qs * (B4+B5)	(kN/m) (kN/m)	92 18.4	133.4				

# MOMENTI DELLE FORZE VERT. RISPETTO AL PIEDE DI VALLE DEL MURO

- Muro (Mm)			SLE	STR/GEO	EQU/RIB
Mm1 = ` ´	Pm1*(B1+2/3 B2)	(kNm/m)	0.00	0.00	0.00
Mm2 =	Pm2*(B1+B2+0,5*B3)	(kNm/m)	42.00	42.00	42.00
Mm3 =	Pm3*(B1+B2+B3+1/3 B4)	(kNm/m)	40.93	40.93	40.93
Mm4 =	Pm4*(B/2)	(kNm/m)	378.13	378.13	378.13
Mm5 =	Pm5*(B - Bd/2)	(kNm/m)	0.00	0.00	0.00
Mm =	Mm1 + Mm2 + Mm3 + Mm4 + Mm5	(kNm/m)	461.05	461.05	461.05
- Terrapieno e :	sovr. perm. sulla scarpa di monte del muro				
Mt1 =	Pt1*(B1+B2+B3+B4+0,5*B5)	(kNm/m)	1610.93	1610.93	1610.93
Mt2 =	Pt2*(B1+B2+B3+2/3*(B4+B5))	(kNm/m)	0.00	0.00	0.00
Mt3 =	Pt3*(B1+B2+B3+2/3*B4)	(kNm/m)	36.05	36.05	36.05
Msovr =	Sovr*(B1+B2+B3+1/2*(B4+B5))	(kNm/m)	0.00	0.00	0.00
Mt =	Mt1 + Mt2 + Mt3 + Msovr	(kNm/m)	1646.98	1646.98	1646.98
- Sovraccarico	accidentale sulla scarpa di monte del muro				
Sovr acc. Stat	*(B1+B2+B3+1/2*(B4+B5))	(kNm/m)	294.4	426.88	
Sovr acc. Sism	n *(B1+B2+B3+1/2*(B4+B5))	(kNm/m)	58.88		



NV54: ROTATORIA 2: MURO DI SOSTEGNO MU81 RELAZIONE DI CALCOLO 
 COMMESSA
 LOTTO
 CODIFICA
 DOCUMENTO
 REV.
 FOGLIO

 RS3T
 30 D 78
 CL
 MU8100 001
 B
 88 di 119

	MURO E DEL TERRAPIENO ntale e verticale del muro (Ps)			
Ps h =	Pm*kh	(kN/m)	12.90	19.35
		٠, ,		
Ps v=	Pm*kv	(kN/m)	6.45	9.68
- Inerzia orizzo	ntale e verticale del terrapieno a tergo del muro (Pts)			
Ptsh =	Pt*kh	(kN/m)	27.10	40.66
Ptsv =	Pt*kv	(kN/m)	13.55	20.33
- Incremento or	izzontale di momento dovuto all'inerzia del muro (MF	Ps h)		
MPs1 h=	kh*Pm1*(H2+H3/3)	(kNm/m)	0.00	0.00
MPs2 h=	kh*Pm2*(H2 + H3/2)	(kNm/m)	13.13	19.70
MPs3 h=	kh*Pm3*(H2+H3/3)	(kNm/m)	6.28	9.42
MPs4 h=	kh*Pm4*(H2/2)	(kNm/m)	3.76	5.64
MPs5 h=	-kh*Pm5*(Hd/2)	(kNm/m)	0.00	0.00
MPs h=	MPs1+MPs2+MPs3+MPs4+MPs5	(kNm/m)	23.17	34.76
	THE STATE OF THE SECOND STATE OF	(14111111)	25.11	04.70
- Incremento ve	erticale di momento dovuto all'inerzia del muro (MPs	v)		
MPs1 v=	kv*Pm1*(B1+2/3*B2)	(kNm/m)	0.00	0.00
MPs2 v=	kv*Pm2*(B1+B2+B3/2)	(kNm/m)	1.15	1.72
MPs3 v=	kv*Pm3*(B1+B2+B3+B4/3)	(kNm/m)	1.12	1.68
MPs4 v=	kv*Pm4*(B/2)	(kNm/m)	10.35	15.52
MPs5 v=	kv*Pm5*(B-Bd/2)	(kNm/m)	0.00	0.00
MPs v=	MPs1+MPs2+MPs3+MPs4+MPs5	(kNm/m)	12.61	18.92
	izzontale di momento dovuto all'inerzia del terrapieno	•		
MPts1 h=	kh*Pt1*(H2 + H3/2)	( kNm/m )	102.05	153.08
MPts2 h=	kh*Pt2*(H2 + H3 + H4/3)	( kNm/m )	0.00	0.00
MPts3 h=	kh*Pt3*(H2+H3*2/3)	( kNm/m )	7.95	11.93
MPts h=	MPts1 + MPts2 + MPts3	( kNm/m )	110.01	165.01
- Incremento ve	erticale di momento dovuto all'inerzia del terrapieno (N	MPts v)		
MPts1 v=	kv*Pt1*((H2 + H3/2) - (B - B5/2)*0.5)	( kNm/m )	44.07	66.11
MPts2 v=	kv*Pt2*((H2 + H3 + H4/3) - (B - B5/3)*0.5)	(kNm/m)	0.00	0.00
MPts3 v=	kv*Pt3*((H2+H3*2/3)-(B1+B2+B3+2/3*B4)*0.5)	(kNm/m)	1.32	1.99
MPts v=	MPts1 + MPts2 + MPts3	(kNm/m)	45.40	68.10
		, ,		_



NV54: ROTATORIA 2: MURO DI SOSTEGNO MU81 RELAZIONE DI CALCOLO 
 COMMESSA
 LOTTO
 CODIFICA
 DOCUMENTO
 REV.
 FOGLIO

 RS3T
 30 D 78
 CL
 MU8100 001
 B
 89 di 119

### 11.2.2 SPINTE IN CONDIZIONE STATICA

	TERRENO E DEL SOVRACCARICO condizione statica		SLE	STR/GEO	EQU/RIB
St =	0,5*y'*(H2+H3+H4+Hd)2*ka	(kN/m)	126.15	163.99	163.99
Sq perm =	q*(H2+H3+H4+Hd)*ka	(kN/m)	0.00	0.00	0.00
Sq acc =	q*(H2+H3+H4+Hd)*ka	(kN/m)	37.94	55.01	55.01
- Componente	orizzontale condizione statica				
Sth =	St*cos8	(kN/m)	126.15	163.99	163.99
Sqh perm =	Sq perm*cos8	(kN/m)	0.00	0.00	0.00
Sqh acc =	Sq acc*cos8	(kN/m)	37.94	55.01	55.01
- Componente	verticale condizione statica				
Stv =	St*sen8	(kN/m)	0.00	0.00	0.00
Sqv perm=	Sq perm*sen8	(kN/m)	0.00	0.00	0.00
Sqv acc =	Sq acc*sen8	(kN/m)	0.00	0.00	0.00
- Spinta passi	va sul dente				
Sp=1/2*g1'*Hd2	2* ½*γ <sub>1</sub> '*Hd <sup>2</sup> *kp+(2*c <sub>1</sub> '*kp <sup>0.5</sup> +γ1'*kp*H2')*Hd	(kN/m)	0.00	0.00	0.00

MOMENTI DE	LLA SPINTA DEL TERRENO E DEL SOVRACCAR	RICO	SLE	STR/GEO	EQU/RIB		
MSt1 =	Sth*((H2+H3+H4+Hd)/3-Hd)	( kNm/m )	294.34	382.64	382.64		
MSt2 =	Stv*B	(kNm/m)	0.00	0.00	0.00		
MSq1 perm=	Sqh perm*((H2+H3+H4+Hd)/2-Hd)	( kNm/m )	0.00	0.00	0.00		
MSq1 acc =	Sqh acc*((H2+H3+H4+Hd)/2-Hd)	(kNm/m)	132.79	192.54	192.54		
MSq2 perm=	Sqv perm*B	( kNm/m )	0.00	0.00	0.00		
MSq2 acc =	Sqv acc*B	( kNm/m )	0.00	0.00	0.00		
MSp = γ1'*l	Hd <sup>3</sup> *kp/3+(2*c1'*kp <sup>0.5</sup> +γ1'*kp*H2')*Hd <sup>2</sup> /2	( kNm/m )	0.00	0.00	0.00		
MOMENTI DO	MOMENTI DOVUTI ALLE FORZE ESTERNE						
Mfext1 =	mp + m	( kNm/m )	0.00	0.00	0.00		
Mfext2 =	(fp + f)*(H3 + H2)	( kNm/m )	0.00	0.00	0.00		
Mfext3 =	(vp+v)*(B1 +B2 + B3/2)	(kNm/m)	2.45	2.45	2.45		



NV54: ROTATORIA 2: MURO DI SOSTEGNO MU81 RELAZIONE DI CALCOLO 
 COMMESSA
 LOTTO
 CODIFICA
 DOCUMENTO
 REV.
 FOGLIO

 RS3T
 30 D 78
 CL
 MU8100 001
 B
 90 di 119

### 11.2.3 SPINTE IN CONDIZIONE SISMICA +

SPINTE DEL	TERRENO E DEL SOVRACCARICO		SLE	STR/GEO	EQU/RIB				
	0,5*γ'*(H2+H3+H4+Hd)²*ka	(kN/m)	126.15	126.15	126.15				
Sst1 sism =	0,5*y'*(1+kv)*(H2+H3+H4+Hd)2*kas*-Sst1 stat	(kN/m)	17.33	17.33	26.46				
Ssq1 perm=	qp*(H2+H3+H4+Hd)*kas+	(kN/m)	0.00	0.00	0.00				
Ssq1 acc =	qs*(H2+H3+H4+Hd)*kas+	(kN/m)	8.40	8.40	8.82				
	orizzontale condizione sismica +								
Sst1h stat =	Sst1 stat*cosô	(kN/m)	126.15	126.15	126.15				
	Sst1 sism*cos8	(kN/m)	17.33	17.33	26.46				
Ssq1h perm=	Ssq1 perm*cos8	(kN/m)	0.00	0.00	0.00				
Ssq1h acc=	Ssq1 acc*cos8	(kN/m)	8.40	8.40	8.82				
	verticale condizione sismica +								
Sst1v stat =	Sst1 stat*sen∂	(kN/m)	0.00	0.00	0.00				
	Sst1 sism*sen6	(kN/m)	0.00	0.00	0.00				
Ssq1v perm=		(kN/m)	0.00	0.00	0.00				
Ssq1v acc=	Ssq1 acc*sen8	(kN/m)	0.00	0.00	0.00				
- Spinta passiva sul dente									
Sp=½*γ <sub>1</sub> ′(1+kv)	Hd <sup>2</sup> *kps <sup>+</sup> +(2*c <sub>1</sub> '*kps <sup>+0.5</sup> +γ1' (1+kv) kps <sup>+</sup> *H2')*Hd	(kN/m)	0.00	0.00	0.00				
		_							
MOMENTI DE - Condizione si	LLA SPINTA DEL TERRENO E DEL SOVRACCARI smica +	co	SLE	STR/GEO	EQU/RIB				
MSst1 stat =	Sst1h stat * ((H2+H3+H4+hd)/3-hd)	( kNm/m )	294.34	294.34	294.34				
MSst1 sism=	Sst1h sism* ((H2+H3+H4+Hd)/3-Hd)	( kNm/m )	40.43	40.43	61.74				
MSst2 stat =	Sst1v stat* B	( kNm/m )	0.00	0.00	0.00				
MSst2 sism =	Sst1v sism* B	( kNm/m )	0.00	0.00	0.00				
MSsq1 =	Ssq1h * ((H2+H3+H4+Hd)/2-Hd)	( kNm/m )	29.40	29.40	30.86				
MSsq2 =	Ssq1v * B	( kNm/m )	0.00	0.00	0.00				
MSp =	<sub>γ1</sub> '*Hd <sup>3</sup> *kps <sup>+</sup> /3+(2*c1'*kps <sup>+0.5</sup> + <sub>γ</sub> 1'*kps <sup>+*</sup> H2')*Hd <sup>2</sup> /2	( kNm/m )	0.00	0.00	0.00				
MONEUT: 5.5									
	VUTI ALLE FORZE ESTERNE	/1N / 3		0.00					
Mfext1 =	mp+ms	( kNm/m )		0.00					
Mfext2 =	(fp+fs)*(H3 + H2)	( kNm/m )		0.00					
Mfext3 =	(vp+vs)*(B1 +B2 + B3/2)	( kNm/m )		2.45					



### 11.2.4 SPINTE IN CONDIZIONE SISMICA -

SPINTE DEL 7	TERRENO E DEL SOVRACCARICO		SLE	STR/GEO	EQU/RIB
	0,5*γ'*(H2+H3+H4+Hd)²*ka	(kN/m)	126.15	126.15	126.15
	0,5*γ'*(1-kv)*(H2+H3+H4+Hd)²*kas⁻-Sst1 stat	(kN/m)	10.46	10.46	16.23
Ssq1 perm=	qp*(H2+H3+H4+Hd)*kas	(kN/m)	0.00	0.00	0.00
Ssq1 acc =	qs*(H2+H3+H4+Hd)*kas <sup>-</sup>	(kN/m)	8.45	8.45	8.93
	orizzontale condizione sismica -				
Sst1h stat =	Sst1 stat*cosô	(kN/m)	126.15	126.15	126.15
	Sst1 sism*cosô	(kN/m)	10.46	10.46	16.23
Ssq1h perm=	Ssq1 perm*cos8	(kN/m)	0.00	0.00	0.00
Ssq1h acc=	Ssq1 acc*cos8	(kN/m)	8.45	8.45	8.93
	verticale condizione sismica -				
	Sst1 stat*senô	(kN/m)	0.00	0.00	0.00
	Sst1 sism*sen8	(kN/m)	0.00	0.00	0.00
Ssq1v perm=	Ssq1 perm*sen8	(kN/m)	0.00	0.00	0.00
Ssq1v acc=	Ssq1 acc*sen8	(kN/m)	0.00	0.00	0.00
- Spinta passiv					
Sp=½*γ <sub>1</sub> '(1-kv)	Hd <sup>2</sup> *kps <sup>-</sup> +(2*c <sub>1</sub> '*kps <sup>-0.5</sup> +γ1' (1-kv) kps <sup>-</sup> *H2')*Hd	(kN/m)	0.00	0.00	0.00
		_			
- Condizione si	LLA SPINTA DEL TERRENO E DEL SOVRACCARI smica -	co	SLE	STR/GEO	EQU/RIB
MSst1 stat =	Sst1h stat * ((H2+H3+H4+hd)/3-hd)	( kNm/m )	294.34	294.34	294.34
MSst1 sism=	Sst1h sism* ((H2+H3+H4+Hd)/3-Hd)	(kNm/m)	24.41	24.41	37.88
MSst2 stat =	Sst1v stat* B	( kNm/m )	0.00	0.00	0.00
MSst2 sism =	Sst1v sism* B	( kNm/m )	0.00	0.00	0.00
MSsq1 =	Ssq1h * ((H2+H3+H4+Hd)/2-Hd)	( kNm/m )	29.57	29.57	31.26
MSsq2 =	Ssq1v * B	( kNm/m )	0.00	0.00	0.00
MSp =	<sub>γ1</sub> '*Hd <sup>3</sup> *kps <sup>+</sup> /3+(2*c1'*kps <sup>+0.5</sup> + <sub>γ</sub> 1'*kps <sup>+*</sup> H2')*Hd <sup>2</sup> /2	( kNm/m )	0.00	0.00	0.00
	VUTI ALLE FORZE ESTERNE				
Mfext1 =	mp+ms	( kNm/m )		0.00	
Mfext2 =	(fp+fs)*(H3 + H2)	( kNm/m )		0.00	
Mfext3 =	(vp+vs)*(B1 +B2 + B3/2)	( kNm/m )		2.45	



### 11.2.5 SPINTE IN PRESENZA DI URTO

	TERRENO E DEL SOVRACCARICO condizione statica		SLE	STR/GEO	EQU/RIB
St =	0,5* <sub>7</sub> '*(H2+H3+H4+Hd)²*ka	(kN/m)	126.15	163.99	163.99
Sq perm =	q*(H2+H3+H4+Hd)*ka	(kN/m)	0.00	0.00	0.00
Sq acc =	q*(H2+H3+H4+Hd)*ka	(kN/m)	0.00	0.00	0.00
- Componente orizzontale condizione statica					
Sth =	St*cos8	(kN/m)	126.15	163.99	163.99
Sqh perm =	Sq perm*cos8	(kN/m)	0.00	0.00	0.00
Sqh acc =	Sq acc*cos8	(kN/m)	0.00	0.00	0.00
- Componente	verticale condizione statica				
Stv =	St*sen8	(kN/m)	0.00	0.00	0.00
Sqv perm=	Sq perm*sen8	(kN/m)	0.00	0.00	0.00
Sqv acc =	Sq acc*sen₀	(kN/m)	0.00	0.00	0.00
- Spinta passi	va sul dente				
Sp=½*g1'*Hd2	(kN/m)	0.00	0.00	0.00	

MOMENTI DE	LLA SPINTA DEL TERRENO E DEL SOVRACCARI	co	SLE	STR/GEO	EQU/RIB	
MSt1 =	Sth*((H2+H3+H4+Hd)/3-Hd)	( kNm/m )	294.34	382.64	382.64	
MSt2 =	Stv*B	(kNm/m)	0.00	0.00	0.00	
MSq1 perm=	Sqh perm*((H2+H3+H4+Hd)/2-Hd)	(kNm/m)	0.00	0.00	0.00	
MSq1 acc =	Sqh acc*((H2+H3+H4+Hd)/2-Hd)	( kNm/m )	0.00	0.00	0.00	
MSq2 perm=	Sqv perm*B	(kNm/m)	0.00	0.00	0.00	
MSq2 acc =	Sqv acc*B	( kNm/m )	0.00	0.00	0.00	
$MSp = \gamma 1'' + Hd^{3}kp/3 + (2*c1''kp^{0.5} + \gamma 1''kp*H2') + Hd^{2}/2 $ ( kNn		( kNm/m )	0.00	0.00	0.00	
MOMENTI DOVUTI ALLE FORZE ESTERNE						
Mfext1 =	mp + m	( kNm/m )	10.00	14.50	14.50	
Mfext2 =	(fp + f)*(H3 + H2)	( kNm/m )	70.00	101.50	101.50	
Mfext3 =	(vp+v)*(B1 +B2 + B3/2)	(kNm/m)	2.45	2.45	2.45	

GRUPPO FERROVIE DELLO STATO ITALIANE	DIRETTRICE FERROVIARIA MESSINA – CATANIA – PALERMO NUOVO COLLEGAMENTO PALERMO – CATANIA TRATTA VALLELUNGA – CALTANISETTA XIRBI (LOTTO 3b) OPERE DI SOSTEGNO VIABILITA' – LOTTO 3B				o	
NV54: ROTATORIA 2: MURO DI SOSTEGNO MU81 RELAZIONE DI CALCOLO	COMMESSA RS3T	LOTTO 30 D 78	CODIFICA	DOCUMENTO MU8100 001	REV.	FOGLIO 93 di 119

# 11.3 VERIFICHE GEOTECNICHE

# 11.3.1 VERIFICA STATICA A RIBALTAMENTO, SCORRIMENTO E CARICO LIMITE VERTICALE - C. DRENATE

# VERIFICA ALLO SCORRIMENTO (STR/GEO)

Risultante forze verticali (N) N = Pm + Pt + v + Stv + Sqv perm + Sqv acc	734.58	(kN/m)					
Risultante forze orizzontali (T) T = Sth + Sqh + f	219.00	(kN/m)					
Coefficiente di attrito alla base (f) $f = tg\phi 1'$	0.47	(-)					
Fs scorr. (N*f + Sp) / T	1.56	>	1.1				
VERIFICA AL RIBALTAMENTO	VERIFICA AL RIBALTAMENTO						
Momento stabilizzante (Ms) Ms = Mm + Mt + Mfext3	2110.48	( kNm/m )					
Momento ribaltante (Mr) Mr = MSt + MSq + Mfext1+ Mfext2 + MSp	575.18	( kNm/m )					
Fs ribaltamento Ms / Mr	3.67	>	1.15				
VERIFICA CARICO LIMITE DELLA FONDAZIONE (STR/GEO)							
Risultante forze verticali (N) N = Pm + Pt + v + Stv + Sqv (+ Sovr acc)	Nmin 734.58	Nmax 867.98	(kN/m)				

Risultant	te forze verticali (N)	Nmin	Nmax	
N =	Pm + Pt + v + Stv + Sqv (+ Sovr acc)	734.58	867.98	(kN/m)
Risultant	te forze orizzontali (T)			
T =	Sth + Sqh + f - Sp	219.00	219.00	(kN/m)
Risultant	te dei momenti rispetto al piede di valle (MM)			
MM =	$\Sigma$ M	1535.30	1962.18	( kNm/m )
Momento	o rispetto al baricentro della fondazione (M)			
M =	Xc*N - MM	484.80	424.77	(kNm/m)



NV54: ROTATORIA 2: MURO DI SOSTEGNO MU81 RELAZIONE DI CALCOLO 
 COMMESSA
 LOTTO
 CODIFICA
 DOCUMENTO
 REV.
 FOGLIO

 RS3T
 30 D 78
 CL
 MU8100 001
 B
 94 di 119

2.41

Nmax

# Formula Generale per il Calcolo del Carico Limite Unitrario (Brinch-Hansen, 1970)

Fondazione Nastriforme

qlim = c'Nc*ic +	q <sub>0</sub> *Nq*iq + 0	,5*y1*B*Ny*iy
------------------	---------------------------	---------------

FS carico lir	mite F = qlim*B*/ N	Nmin	2.54	>	1.4	
qlim	(carico limite unitario)		447.09	462.38	(kN/m <sup>2</sup> )	
(fondazione nas	striforme m = 2)					
iq = (1 - T/(N + ic = iq - (1 - iq)/iq = (1 - T/(N + iq)/iq = (1 - T/(	(Nq - 1)		0.56 0.51 0.42	0.61 0.51 0.42	(-) (-) (-)	
l valori di ic, iq e i $\gamma$ sono stati valutati con le espressioni suggerite da Vesic (1975)						
$Nq = tg^{2}(45 + \varphi)$ Nc = (Nq - 1)/tg $N_{\gamma} = 2*(Nq + 1)$	(φ') (2+π in cond. nd)		10.66 20.72 10.88		(-) (-) (-)	
I valori di Nc, Nq e Ng sono stati valutati con le espressioni suggerite da Vesic (1975)						
e = M / N B*= B - 2e	eccentricità larghezza equivalente		0.66 4.18	0.49 4.52	(m) (m)	
$q_0 = \gamma d^*H2'$	sovraccarico stabilizzante		22.80		(kN/m <sup>2</sup> )	
c1' φ1' γ1	coesione terreno di fondaz. angolo di attrito terreno di fondaz. peso unità di volume terreno fondaz.		15.00 25.00 15.91		(kPa) (°) (kN/m³)	

# 11.3.2 VERIFICA SISMICA A RIBALTAMENTO, SCORRIMENTO E CARICO LIMITE VERTICALE - C. DRENATE

# Condizione sismica +

# **VERIFICA ALLO SCORRIMENTO**

Risul N	tante forzo	e verticali (N) Pm+ Pt + vp + vs + Sst1v + Ssq1v + Ps v + Ptsv	754.58	(kN/m)	
_	tante forz	e orizzontali (T) Sst1h + Ssq1h + fp + fs +Ps h + Ptsh	191.88	(kN/m)	
Coeff f	iciente di =	attrito alla base (f) tgφ1'	0.47	(-)	
Fs	=	(N*f + Sp) / T	1.83	>	1
VER	IFICA AL	. RIBALTAMENTO			
Mom Ms		lizzante (Ms) Mm + Mt + Mfext3	2110.48	( kNm/m )	
Mom Mr	ento ribalt =	ante (Mr) MSst+MSsq+Mfext1+Mfext2+MSp+MPs+Mpts	499.69	( kNm/m )	
Fr	=	Ms / Mr	4.22	>	1
VER	IFICA A	CARICO LIMITE DELLA FONDAZIONE			
Risul	tante forze	e verticali (N)	Nmin	Nmax	

Risultante forze verticali (N)	Nmin	Nmax	
N = Pm+ Pt + vp + vs + Sst1v + Ssq1v + Ps v + Ptsv + (Sovr acc)	754.58	772.98	(kN/m)
Risultante forze orizzontali (T)			
T = Sst1h + Ssq1h + fp + fs + Ps h + Ptsh - Sp	191.88		(kN/m)
Disultante dei momenti rignetto al niede di valle (MMI)			
Risultante dei momenti rispetto al piede di valle (MM)			
$MM = \Sigma M$	1671.14	1730.02	( kNm/m )
Momento rispetto al baricentro della fondazione (M)			
M = Xc*N - MM	403.96	395.68	(kNm/m)
70 11 11111	100.00	000.00	( )



NV54: ROTATORIA 2: MURO DI SOSTEGNO MU81 RELAZIONE DI CALCOLO 
 COMMESSA
 LOTTO
 CODIFICA
 DOCUMENTO
 REV.
 FOGLIO

 RS3T
 30 D 78
 CL
 MU8100 001
 B
 96 di 119

3.03

3.03

1.2

Nmin

Nmax

### Formula Generale per il Calcolo del Carico Limite Unitrario (Brinch-Hansen, 1970)

F = qlim\*B\*/N

#### Fondazione Nastriforme

FS carico limite

# qlim = c'Nc\*ic + $q_0$ \*Nq\*iq + 0,5\* $\gamma$ 1\*B\*N $\gamma$ \*i $\gamma$

c1'	coesione terreno di fondaz.	15.00		(kN/mg)
φ1′	angolo di attrito terreno di fondaz.	25.00		` (°) "
71	peso unità di volume terreno fondaz.	15.91		(kN/m <sup>3</sup> )
$q_0 = \gamma d^*H2'$	sovraccarico stabilizzante	22.80		(kN/m <sup>2</sup> )
e = M / N	eccentricità	0.54	0.51	(m)
B*= B - 2e	larghezza equivalente	4.43	4.48	(m)
I valori di Nc, l	Nq e Ng sono stati valutati con le espressioni suggerite da Vesic (1975)			
N 245	1/0/* (±*10(m))	40.00		
$Nq = tg^2(45 +$		10.66		(-)
	$g(\phi')$ (2+ $\pi$ in cond. nd)	20.72		(-)
$N_{\gamma} = 2*(Nq + 1)$	l)*tg(φ') (0 in cond. nd)	10.88		(-)
Landard and a de-	a i como atali coltanti con la como cinci como cita de Maria (4075)			
i valori di ic, iq	e iγ sono stati valutati con le espressioni suggerite da Vesic (1975)			
in = /1 T//N :	P*s'sets='\\M (1 in send ad)	0.62	0.63	()
	· B*c'cotgo')) <sup>m</sup> (1 in cond. nd)	0.62		(-)
ic = iq - (1 - iq			0.59	(-)
$i\gamma = (1 - 1/(N +$	B*c'cotgφ')) <sup>m+1</sup>	0.49	0.49	(-)
/fdi	-t-if			
(fondazione na	striforme m = 2)			
elies	(agrica limita unitaria)	E1C 1C	E22 C0	/IcN1/mm2\
qlim	(carico limite unitario)	516.16	522.68	(kN/m <sup>2</sup> )



# Condizione sismica -

# VERIFICA ALLO SCORRIMENTO

Risultante dei momenti rispetto al piede di valle (MM)

Momento rispetto al baricentro della fondazione (M)

Xc\*N - MM

 $\Sigma M$ 

VER	IFICA AL	LO SCORRIMENTO			
Risult N	tante forz	e verticali (N) Pm+ Pt + vp + vs + Sst1v + Ssq1v + Ps v + Ptsv	714.58	(kN/m)	
Risult T	tante forz	e orizzontali (T) Sst1h + Ssq1h + fp + fs +Ps h + Ptsh	185.06	(kN/m)	
Coeff f	iciente di =	attrito alla base (f) tgφ1'	0.47	(-)	
Fs	=	(N*f + Sp) / T	1.80	>	1
<u>VER</u>	IFICA AL	RIBALTAMENTO			
Mom Ms	ento stabi =	lizzante (Ms) Mm + Mt + Mfext3	2110.48	( kNm/m )	
Mom Mr	ento ribalt =	ante (Mr) MSst+MSsq+Mfext1+Mfext2+MSp+MPs+Mpts	650.27	( kNm/m )	
Fr	=	Ms / Mr	3.25	>	1
<u>VER</u>	IFICA A	CARICO LIMITE DELLA FONDAZIONE			
Risult N	tante forz	e verticali (N) Pm+ Pt + vp + vs + Sst1v + Ssq1v + Ps v + Ptsv	Nmin 714.58	Nmax 732.98	(kN/m)
Risult T	tante forz	e orizzontali (T) Sst1h + Ssq1h + fp + fs +Ps h + Ptsh - Sp	185.	06	(kN/m)

1570.97

394.12

1629.85 (kNm/m)

385.84 (kNm/m)



NV54: ROTATORIA 2: MURO DI SOSTEGNO MU81 RELAZIONE DI CALCOLO 
 COMMESSA
 LOTTO
 CODIFICA
 DOCUMENTO
 REV.
 FOGLIO

 RS3T
 30 D 78
 CL
 MU8100 001
 B
 98 di 119

3.14

3.14

1.2

Nmin

Nmax

### Formula Generale per il Calcolo del Carico Limite Unitrario (Brinch-Hansen, 1970)

F = qlim\*B\*/N

#### Fondazione Nastriforme

FS carico limite

# qlim = c'Nc\*ic + $q_0$ \*Nq\*iq + 0,5\* $\gamma$ 1\*B\*N $\gamma$ \*i $\gamma$

•	40 4 7 - 1 7 - 1			
c1' φ1' γ1	coesione terreno di fondaz. angolo di attrito terreno di fondaz. peso unità di volume terreno fondaz.	15.00 25.00 15.91		(kN/mq) (°) (kN/m³)
$q_0 = \gamma d^*H2'$	sovraccarico stabilizzante	22.80		(kN/m <sup>2</sup> )
e = M / N B*= B - 2e	eccentricità larghezza equivalente	0.55 4.40	0.53 4.45	(m) (m)
I valori di Nc, N	q e Ng sono stati valutati con le espressioni suggerite da Vesic (1975)			
$N_{\gamma} = 2*(Nq + 1)$	$g(\phi')$ (2+ $\pi$ in cond. nd) *tg( $\phi'$ ) (0 in cond. nd)	10.66 20.72 10.88		(-) (-) (-)
I valori di ic, iq	e iγ sono stati valutati con le espressioni suggerite da Vesic (1975)			
iq = (1 - T/(N + ic = iq - (1 - iq)) $i\gamma = (1 - T/(N + iq))$	/(Nq - 1)	0.61 0.57 0.48	0.62 0.58 0.48	(-) (-)
(fondazione na	striforme m = 2)			
qlim	(carico limite unitario)	511.08	518.01	(kN/m <sup>2</sup> )

# 11.3.3 VERIFICA STATICA A RIBALTAMENTO, SCORRIMENTO E CARICO LIMITE VERTICALE C. NON DRENATE

# VERIFICA ALLO SCORRIMENTO (STR/GEO)

Pm + Pt + v + Stv + Sqv (+ Sovr acc)

Ν

MM =

Risultante forze orizzontali (T)

 $\Sigma M$ 

Xc\*N - MM

Sth + Sqh + f - Sp

Risultante dei momenti rispetto al piede di valle (MM)

Momento rispetto al baricentro della fondazione (M)

Risult N	ante forzo	verticali (N) Pm + Pt + v + Stv + Sqv perm + Sqv acc	734.58	(kN/m)	
Risult T	ante forz	orizzontali (T) Sth + Sqh + f	219.00	(kN/m)	
Coeffi f	ciente di =	attrito alla base (f) tgφ1'	0.47	(-)	
Fs	scorr.	(N*f + Sp) / T	1.56	>	1.1
VER	IFICA AL	RIBALTAMENTO			
Mome Ms		izzante (Ms) Mm + Mt + Mfext3	2110.48	( kNm/m )	
Mome Mr	ento ribalt =	ante (Mr) MSt + MSq + Mfext1+ Mfext2 + MSp	575.18	( kNm/m )	
Fs	ribaltar	nento Ms / Mr	3.67	>	1.15
VER	IFICA C	ARICO LIMITE DELLA FONDAZIONE (STR/GEO)			
Risult	ante forz	verticali (N)	Nmin	Nmax	

734.58

219.00

1535.30

484.80

867.98

219.00

(kN/m)

(kN/m)

1962.18 (kNm/m)

424.77 (kNm/m)



NV54: ROTATORIA 2: MURO DI SOSTEGNO MU81 RELAZIONE DI CALCOLO 
 COMMESSA
 LOTTO
 CODIFICA
 DOCUMENTO
 REV.
 FOGLIO

 RS3T
 30 D 78
 CL
 MU8100 001
 B
 100 di 119

1.62

Nmax

# Formula Generale per il Calcolo del Carico Limite Unitrario (Brinch-Hansen, 1970)

Fondazione Nastriforme

qlim = c'Nc\*ic +  $q_0$ \*Nq\*iq + 0,5\* $\gamma$ 1\*B\*N $\gamma$ \*i $\gamma$ 

FS carico li	mite F = qlim*E	3*/ N	Nmin	1.73	>	1.4
qlim	(carico limite unitario)			303.64	311.54	(kN/m <sup>2</sup> )
(fondazione na	striforme m = 2)					
iq = (1 - T/(N + ic = (1 - m)T / (ic + ic)) $i\gamma = (1 - T/(N + ic))$	B* cu*Nc))			1.00 0.73	1.00 0.75	(-) (-)
l valori di ic, iq	e iγ sono stati valutati con le espres	ssioni suggerite da	Vesic (1975)			
$Nq = tg^{2}(45 + q)$ $Nc = (Nq - 1)/tq$ $N_{\gamma} = 2*(Nq + 1)$	$p(\phi')$ (2+ $\pi$ in cond. nd)			1.00 5.14 0.00		(-) (-) (-)
l valori di Nc, N	q e Ng sono stati valutati con le esp	pressioni suggerite	da Vesic (197	75)		
e = M / N B*= B - 2e	eccentricità larghezza equivalente			0.66 4.18	0.49 4.52	(m) (m)
$q_0 = \gamma d^*H2'$	sovraccarico stabilizzante			22.80		(kN/m <sup>2</sup> )
γ1	peso unità di volume terreno fonda	az.		19.00		(kN/m <sup>3</sup> )
cu	res. al taglio nd terreno di fondaz.			75.00		(kPa)
	40 4 4 4 4 4					

# 11.3.4 VERIFICA SISMICA A RIBALTAMENTO, SCORRIMENTO E CARICO LIMITE VERTICALE - C. DRENATE

# Condizione sismica +

# **VERIFICA ALLO SCORRIMENTO**

VER Mome Ms	ento stab	L RIBALTAMENTO  ilizzante (Ms)  Mm + Mt + Mfext3	<b>1.83</b> 2110.48	> ( kNm/m )	1
Momo Mr <b>Fr</b>	ento ribalt = <b>=</b>	tante (Mr) MSst+MSsq+Mfext1+Mfext2+MSp+MPs+Mpts  Ms / Mr  CARICO LIMITE DELLA FONDAZIONE	499.69 <b>4.22</b>	( kNm/m )	1

Risultante forze verticali (N) N = Pm+ Pt + vp + vs + Sst1v + Ssq1v + Ps v + Ptsv + (Sovr acc)	Nmin 754.58	Nmax 772.98	(kN/m)
Risultante forze orizzontali (T) T = Sst1h + Ssq1h + fp + fs +Ps h + Ptsh - Sp	191.88		(kN/m)
Risultante dei momenti rispetto al piede di valle (MM) $MM  =   \Sigma M$	1671.14	1730.02	( kNm/m )
Momento rispetto al baricentro della fondazione (M)  M = Xc*N - MM	403.96	395.68	(kNm/m)



NV54: ROTATORIA 2: MURO DI SOSTEGNO MU81 RELAZIONE DI CALCOLO

LOTTO CODIFICA REV. FOGLIO COMMESSA DOCUMENTO RS3T 30 D 78 CL MU8100 001 102 di 119

### Formula Generale per il Calcolo del Carico Limite Unitrario (Brinch-Hansen, 1970)

Fondazione Nastriforme

FS carico limite

qlim = c'Nc\*ic +  $q_0$ \*Nq\*iq + 0,5\* $\gamma$ 1\*B\*N $\gamma$ \*i $\gamma$ 

ES carico lim	nite	E = alim*P*/ N	Nmin	1.89	>	12
qlim (	(carico limite (	unitario)		321.78	322.69	(kN/m <sup>2</sup> )
(fondazione nastr	riforme m = 2	)				
iq = (1 - T/(N + B)) ic = (1 - m) T / (B) $i\gamma = (1 - T/(N + B))$	3* cu*Nc))	(1 in cond. nd)		1.00 0.78	1.00 0.78	(-) (-)
l valori di ic, iq e	iγ sono stati v	valutati con le espressioni suggerit	e da Vesic (1975)			
$Nq = tg^{2}(45 + \phi'/2)$ $Nc = (Nq - 1)/tg(\phi'/2)$ $N\gamma = 2*(Nq + 1)*t$	φ')	(1 in cond. nd) (2+π in cond. nd) (0 in cond. nd)		1.00 5.14 0.00		(-) (-)
I valori di Nc, Nq	e Ng sono st	ati valutati con le espressioni sugg	gerite da Vesic (197	75)		
	eccentricità larghezza eq	uivalente		0.54 4.43	0.51 4.48	(m) (m)
$q_0 = \gamma d^*H2'$	sovraccarico	stabilizzante		22.80		(kN/m <sup>2</sup> )
γ1 F	peso unità di v	olume terreno fondaz.		19.00		(kN/m <sup>3</sup> )
cu r	res. al taglio n	d terreno di fondaz.		75.00		(kN/mq)

F = qlim\*B\*/N

Nmax

1.87

1.2



# Condizione sismica -

# VERIFICA ALLO SCORRIMENTO

VLK	III ICA AI	LEO SCORRIMENTO			
Risul N	tante forz =	e verticali (N) Pm+ Pt + vp + vs + Sst1v + Ssq1v + Ps v + Ptsv	714.58	(kN/m)	
Risul T	tante forz =	e orizzontali (T) Sst1h + Ssq1h + fp + fs +Ps h + Ptsh	185.06	(kN/m)	
Coeff f	iciente di =	attrito alla base (f) tgφ1'	0.47	(-)	
Fs	=	(N*f + Sp) / T	1.80	>	1
<u>VER</u>	IFICA AI	L RIBALTAMENTO			
Mom Ms	ento stab =	ilizzante (Ms) Mm + Mt + Mfext3	2110.48	( kNm/m )	
Mom Mr	ento ribali =	tante (Mr) MSst+MSsq+Mfext1+Mfext2+MSp+MPs+Mpts	650.27	( kNm/m )	
Fr	=	Ms / Mr	3.25	>	1
VER	IFICA A	CARICO LIMITE DELLA FONDAZIONE			
Risul N	tante forz =	e verticali (N) Pm+ Pt + vp + vs + Sst1v + Ssq1v + Ps v + Ptsv	Nmin 714.58	Nmax 732.98	(kN/m)
Risul	tante forz	e orizzontali (T)			

N	=	Pm+ Pt + vp + vs + Sst1v + Ssq1v + Ps v + Ptsv	714.58	732.98	(kN/m)
_	ıltante forz =	e orizzontali (T) Sst1h + Ssq1h + fp + fs +Ps h + Ptsh - Sp	185.06		(kN/m)
Risu	ıltante dei	momenti rispetto al piede di valle (MM)			
MM	=	ΣΜ	1570.97	1629.85	(kNm/m)
Mon	nento rispe	etto al baricentro della fondazione (M)			
M	= .	Xc*N - MM	394.12	385.84	(kNm/m)



NV54: ROTATORIA 2: MURO DI SOSTEGNO MU81 RELAZIONE DI CALCOLO 
 COMMESSA
 LOTTO
 CODIFICA
 DOCUMENTO
 REV.
 FOGLIO

 RS3T
 30 D 78
 CL
 MU8100 001
 B
 104 di 119

2.00

1.97

1.2

Nmin

Nmax

### Formula Generale per il Calcolo del Carico Limite Unitrario (Brinch-Hansen, 1970)

F = qlim\*B\*/N

Fondazione Nastriforme

FS carico limite

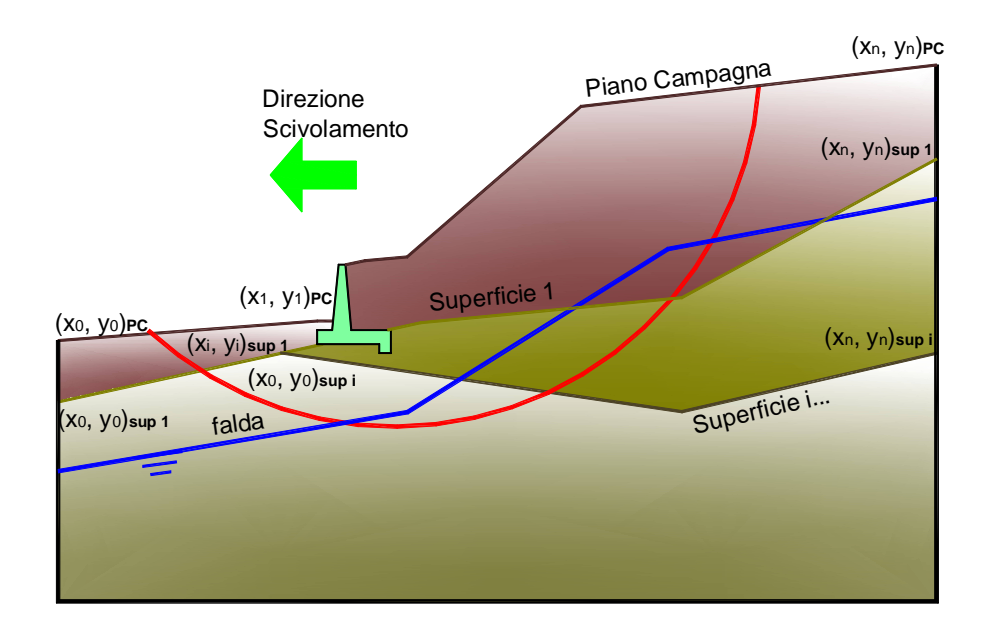
qlim = c'Nc\*ic +  $q_0$ \*Nq\*iq + 0,5\* $\gamma$ 1\*B\*N $\gamma$ \*i $\gamma$ 

cu	res. al taglio nd terreno di fondaz.	75.00		(kN/mq)
γ1	peso unità di volume terreno fondaz.	19.00		(kN/m <sup>3</sup> )
$q_0 = \gamma d^*H2'$	sovraccarico stabilizzante	22.80		(kN/m <sup>2</sup> )
e = M / N B*= B - 2e	eccentricità larghezza equivalente	0.55 4.40	0.53 4.45	(m) (m)
I valori di Nc, N	Nq e Ng sono stati valutati con le espressioni suggerite da Vesic (19	75)		
	$\phi'/2$ )* $e^{(\pi^* tg(\phi'))}$ (1 in cond. nd) $g(\phi')$ (2+ $\pi$ in cond. nd) )* $tg(\phi')$ (0 in cond. nd)	1.00 5.14 0.00		(-) (-) (-)
l valori di ic, iq	e i $\gamma$ sono stati valutati con le espressioni suggerite da Vesic (1975)			
$iq = (1 - T/(N + ic = (1 - m) T / i\gamma = (1 - T/(N + i\gamma + i))$	0177	1.00 0.78	1.00 0.78	(-) (-)
(fondazione na	striforme m = 2)			
qlim	(carico limite unitario)	324.24	325.19	(kN/m <sup>2</sup> )

GRUPPO FERROVIE DELLO STATO ITALIANE	NUOVO CO	LLEGAME	NTO PALERI	NA – CATANIA – MO – CATANIA ISETTA XIRBI (LO – LOTTO 3B		10
NV54: ROTATORIA 2: MURO DI SOSTEGNO MU81 RELAZIONE DI CALCOLO	COMMESSA RS3T	LOTTO 30 D 78	CODIFICA	DOCUMENTO MU8100 001	REV.	FOGLIO 105 di 119

# 11.3.5 VERIFICA DI STABILITÀ GLOBALE – COND. DRENATE

Le analisi di stabilità, di seguito riportate, sono state effettuate limitando la ricerca delle potenziali superfici di scorrimento critiche alla fascia più prossima alla linea stradale.

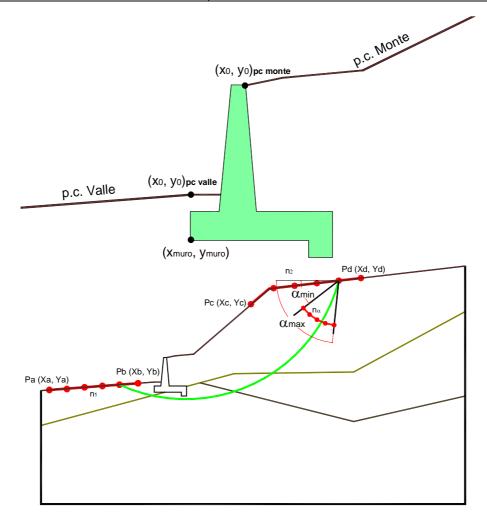


	γ [kN/m³]	φ [°]	<b>c</b> [kPa]	Descrizione
materiale 1	19.00	35	0	Rilevato - riporto
materiale 2	19.00	25	15	Unità geotecnica 1 - a2
materiale 3	21.00	39	0	Unità geotecnica 1 - TRVa
materiale 4				



NV54: ROTATORIA 2: MURO DI SOSTEGNO MU81 RELAZIONE DI CALCOLO 
 COMMESSA
 LOTTO
 CODIFICA
 DOCUMENTO
 REV.
 FOGLIO

 RS3T
 30 D 78
 CL
 MU8100 001
 B
 106 di 119

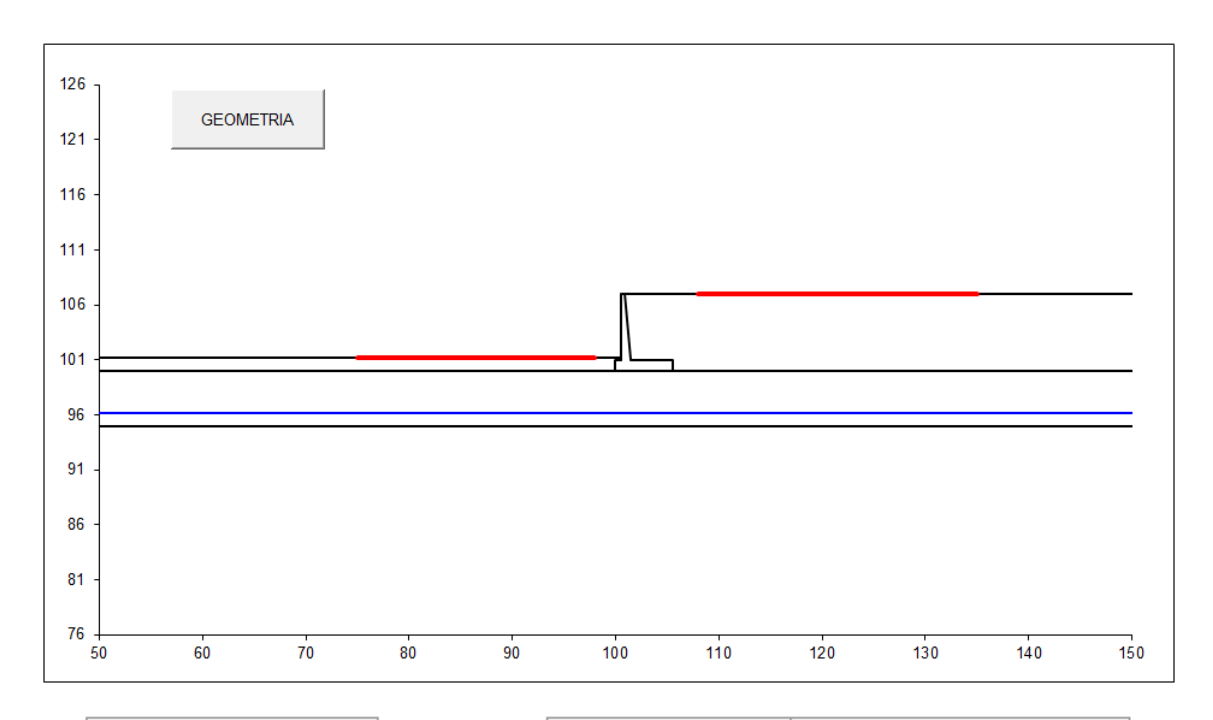


	p.c. va	lle		p.c. mor	nte		superfic	ie 1		superfici	e 2		superfic	cie 3		1110	
		materiale 1		$\overline{}$			materi	ale 2		materia	ale 3		mater	riale 4		<sup>5</sup> da	
	х	У		X	у		x	у		х	у		х	у		х	у
0	100.000	101.200	0	101.400	107.000	0	50.000	100.000	0	50.000	95.000	0			0	50.000	96.200
1	50.000	101.200	1	150.000	107,000	1	150.000	100.000	1	150.000	95.000	1			1	150.000	96.200
2			2			2			2			2			2		
3			3		î ji	3			3			3			3		
4			4			4			4			4			4		
5			5			5			5			5			5		
6			6			6			6			6			6		
7			7			7			7			7			7		
8			8			8			8			8			8		
9			9			9			9			9			9		
10			10			10			10			10			10		

# Sovraccarichi

		Xin	<b>q</b> in	X <sub>fin</sub>	<b>q</b> <sub>fin</sub>	% sisma
sovraccarico 1	V	104.400	20	107.000	20	20%
sovraccarico 2						

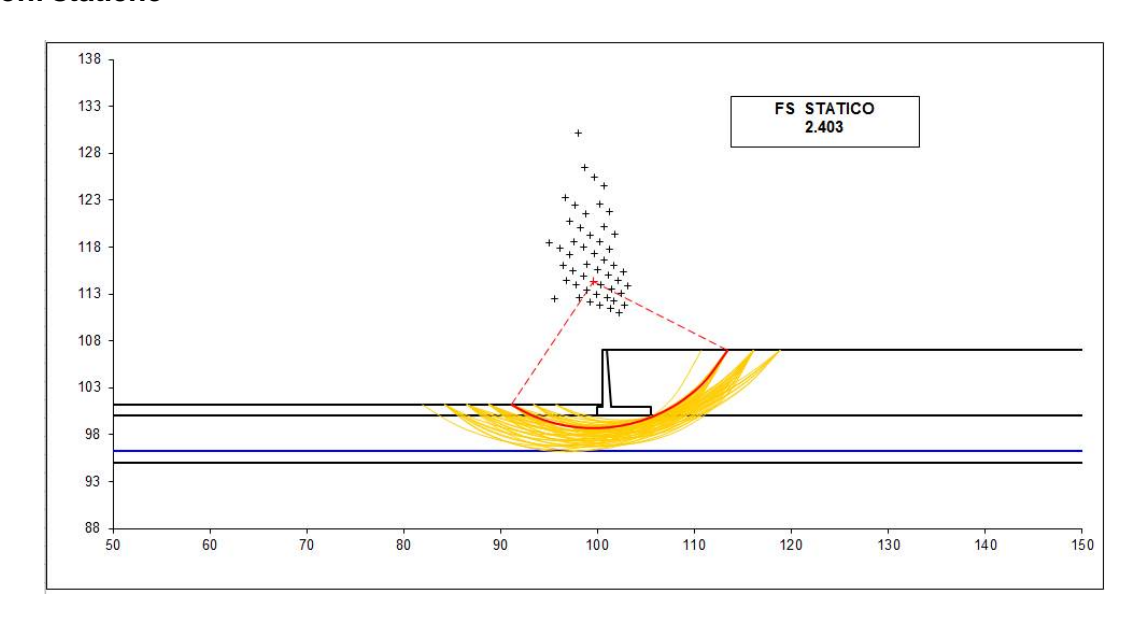




#strisce
30

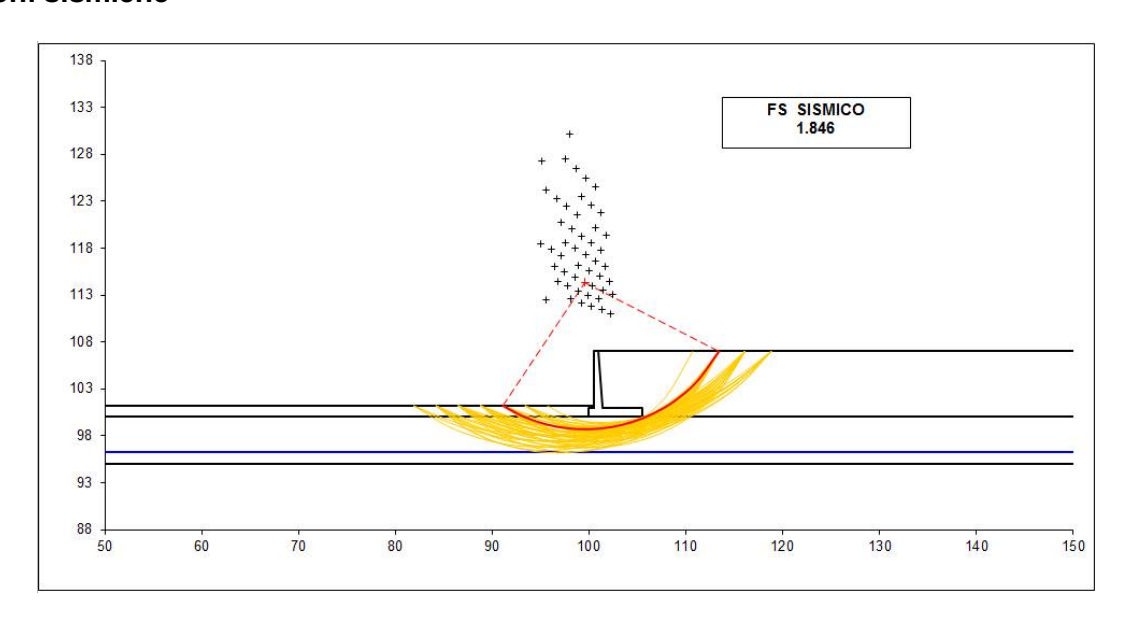
# Superfici Calcolate	FS Bishop					
720	STATICO	2.403				
720	SISMICO	1.846				

# Condizioni statiche





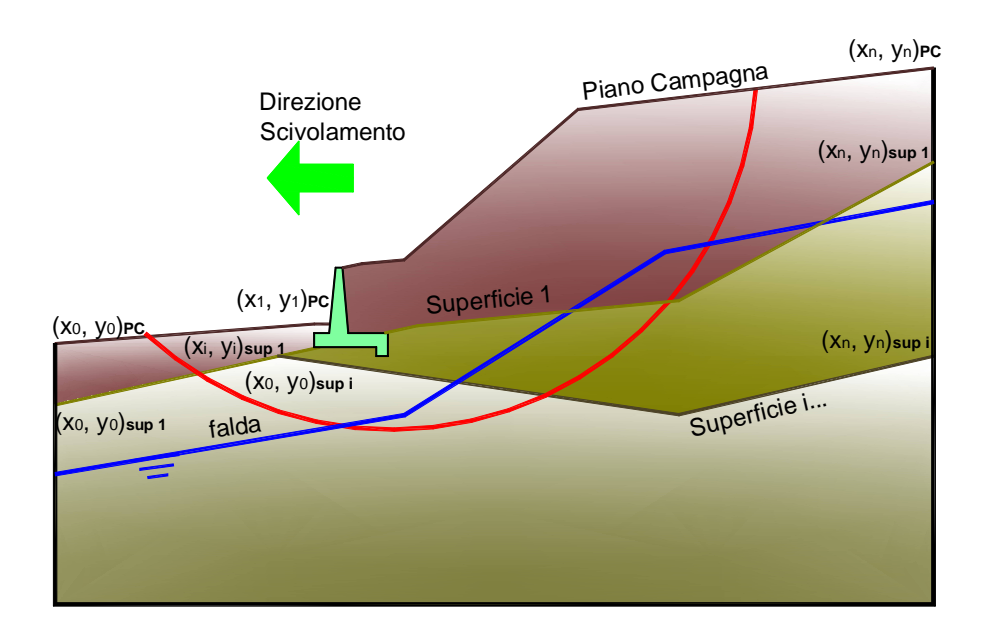
### Condizioni sismiche



GRUPPO FERROVIE DELLO STATO ITALIANE	NUOVO CO	LLEGAME LLELUNG	NTO PALERI	NA – CATANIA – 10 – CATANIA SETTA XIRBI (LO – LOTTO 3B		10
NV54: ROTATORIA 2: MURO DI SOSTEGNO MU81 RELAZIONE DI CALCOLO	COMMESSA RS3T	LOTTO 30 D 78	CODIFICA	DOCUMENTO MU8100 001	REV.	FOGLIO 109 di 119

# 11.3.6 VERIFICA DI STABILITÀ GLOBALE – COND. NON DRENATE

Le analisi di stabilità, di seguito riportate, sono state effettuate limitando la ricerca delle potenziali superfici di scorrimento critiche alla fascia più prossima alla linea stradale.

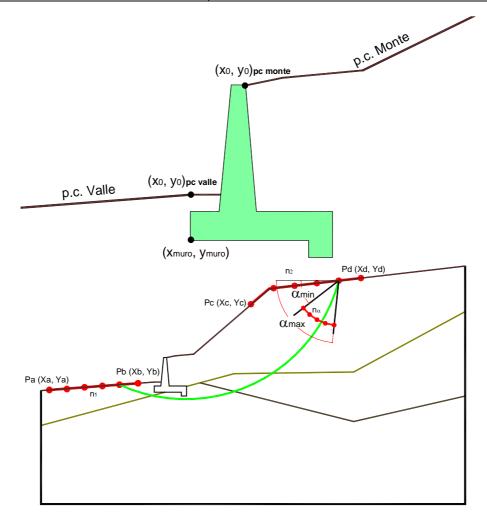


	γ [kN/m³]	φ [°]	<b>c</b> [kPa]	Descrizione
materiale 1	19.00	35	0	Rilevato - riporto
materiale 2	19.00	25	75	Unità geotecnica 1 - a2
materiale 3	21.00	39	0	Unità geotecnica 1 - TRVa
materiale 4				



NV54: ROTATORIA 2: MURO DI SOSTEGNO MU81 RELAZIONE DI CALCOLO 
 COMMESSA
 LOTTO
 CODIFICA
 DOCUMENTO
 REV.
 FOGLIO

 RS3T
 30 D 78
 CL
 MU8100 001
 B
 110 di 119

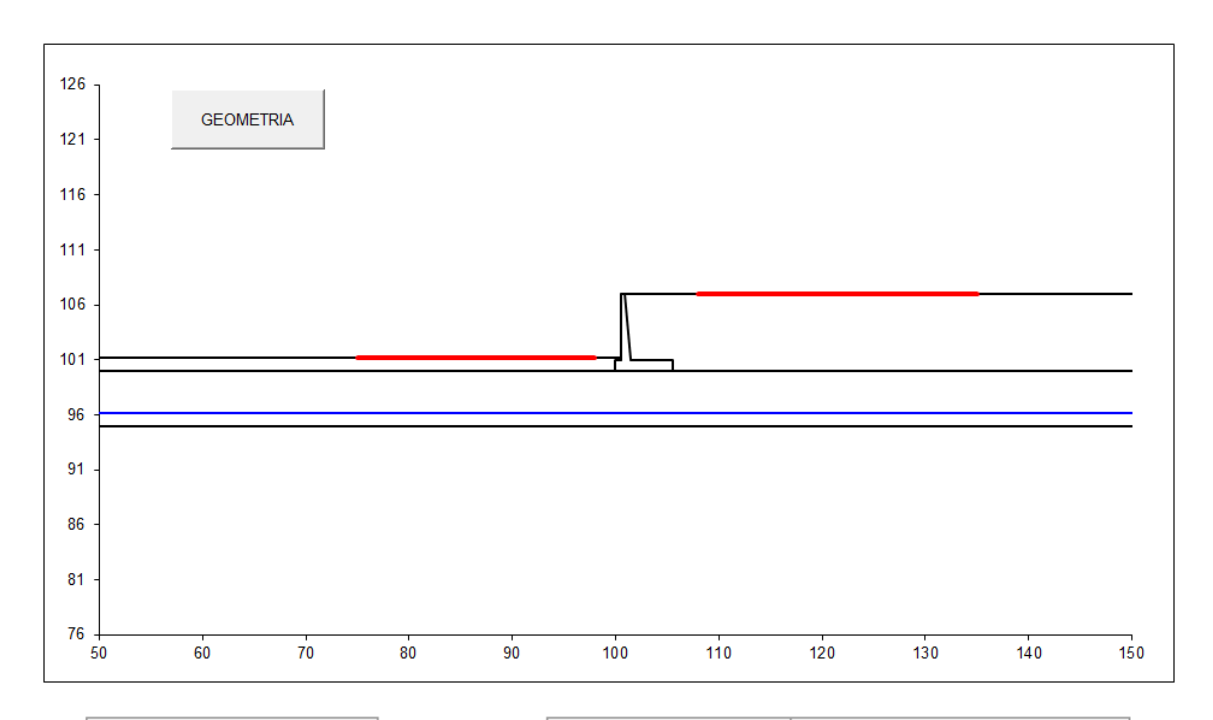


	p.c. valle		lle p.c. mo		p.c. monte			superficie 1			superficie 2		superficie 3			10100	
		materiale 1		$\blacksquare$		1	materi	materiale 2		materiale 3			materiale 4			<del>5</del> 'da	
	х	у		X	у		x	у		х	У		x	у		х	у
0	100.000	101.200	0	101.400	107.000	0	50.000	100.000	0	50.000	95.000	0			0	50.000	96.200
1	50.000	101.200	1	150.000	107.000	1	150.000	100.000	1	150.000	95.000	1			1	150.000	96.200
2			2			2			2			2			2		
3			3			3			3			3			3		
4			4			4			4			4			4		
5			5			5			5			5			5		
6			6			6			6			6			6		
7			7			7			7			7			7		
8			8			8			8			8			8		
9			9			9			9			9			9		
10			10			10			10			10			10		

# Sovraccarichi

		X <sub>in</sub>	<b>q</b> in	X <sub>fin</sub>	<b>q</b> <sub>fin</sub>	% sisma
sovraccarico 1	V	104.400	20	107.000	20	20%
sovraccarico 2						

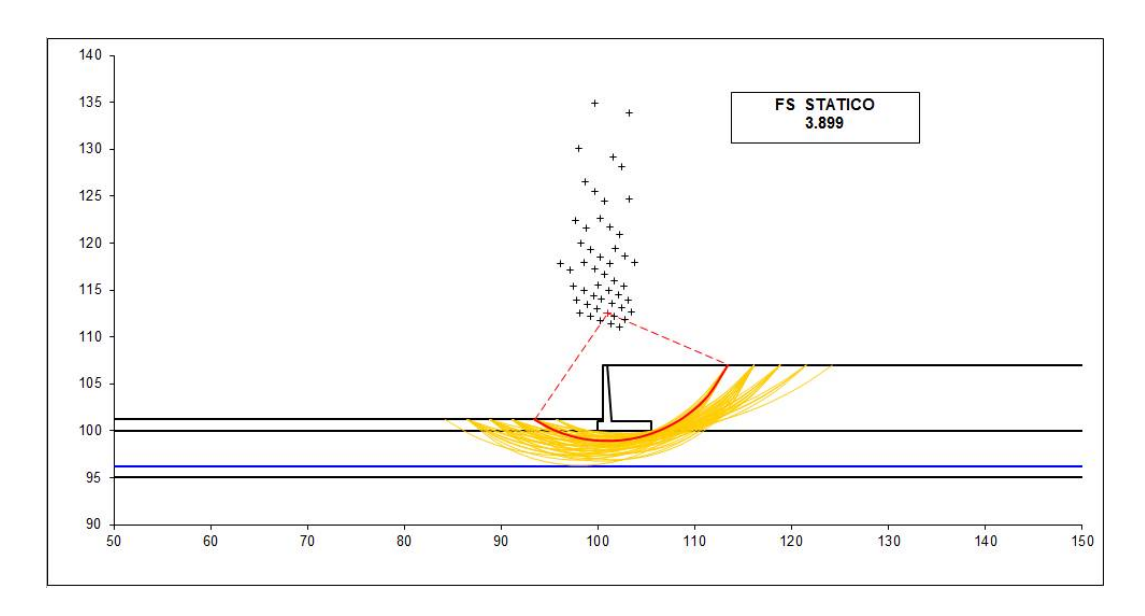




#strisce
30

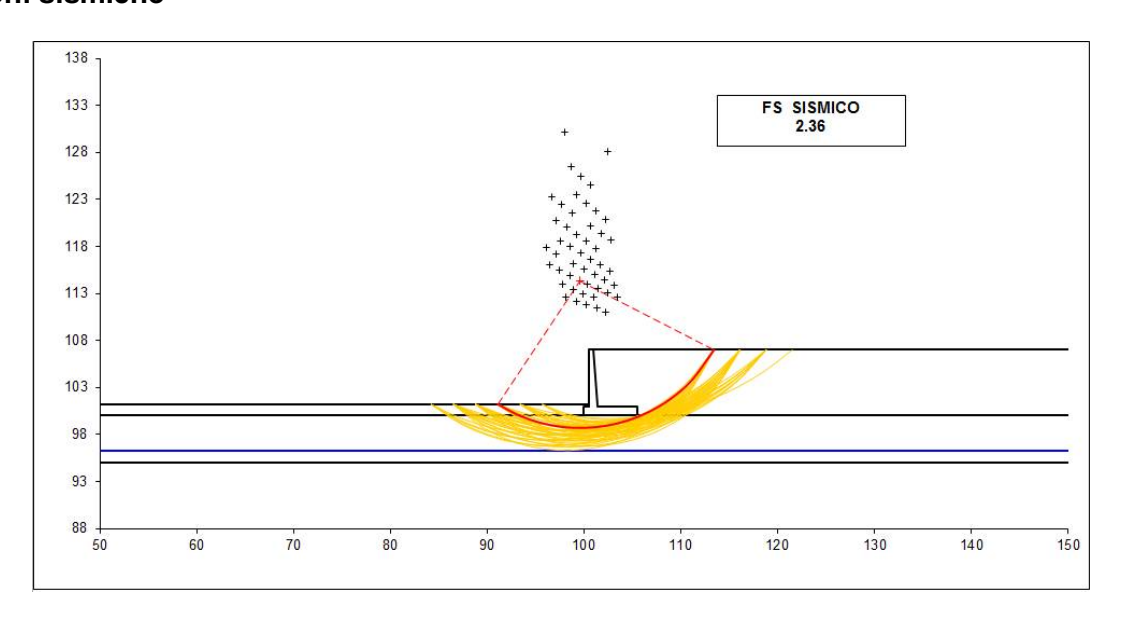
# Superfici Calcolate	FS Bishop					
720	STATICO	3.899				
720	SISMICO	2.360				

### Condizioni statiche





### Condizioni sismiche



LOTTO CODIFICA DOCUMENTO REV. FOGLIO COMMESSA RS3T 30 D 78 CL MU8100 001 В 113 di 119

NV54: ROTATORIA 2: MURO DI SOSTEGNO MU81 RELAZIONE DI CALCOLO

#### **VERIFICHE STRUTTURALI** 11.4

### 11.4.1 CALCOLO DELLE SOLLECITAZIONI

#### Reazione del terreno

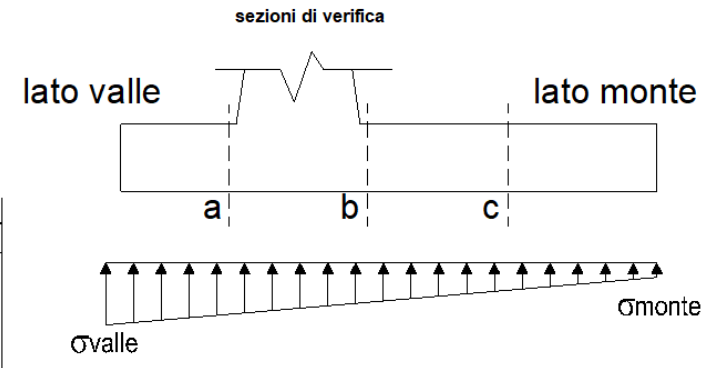
ovalle = N / A + M / Wgg

omonte = N / A - M / Wgg

A = 1.0\*B7.00 (m<sup>2</sup>)

 $Wgg = 1.0*B^2/6$ 8.17 (m<sup>3</sup>)

	N	M	ovalle	omonte
caso	[kN]	[kNm]	[kN/m <sup>2</sup> ]	[kN/m <sup>2</sup> ]
statico	886.08	292.07	162.35	90.82
Statico	1048.48	178.39	171.63	127.94
sisma+	910.23	231.91	158.43	101.64
Sisilia	932.63	216.23	159.71	106.76
sisma-	861.93	232.67	151.62	94.64
SISIIId-	884.33	216.99	152.90	99.76



#### Mensola Lato Valle

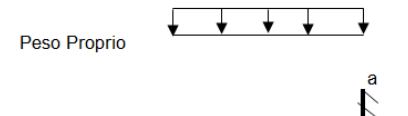
Peso Proprio.

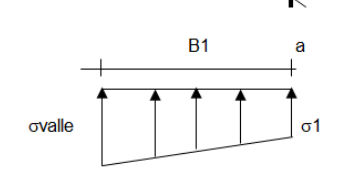
PP = 25.00 (kN/m)

Ma =  $\sigma 1*B1^2/2 + (\sigma valle - \sigma 1)*B1^2/3 - PP*B1^2/2*(1±kv)$ 

 $Va = \sigma 1*B1 + (\sigma valle - \sigma 1)*B1/2 - PP*B1*(1±kv)$ 

	ovalle	σ1	Ma	Va
caso	[kN/m <sup>2</sup> ]	[kN/m <sup>2</sup> ]	[kNm]	[kN]
statico	162.35	152.13	66.97	132.24
	171.63	165.39	72.27	143.51
aiama I	158.43	150.32	65.02	128.69
sisma+	159.71	152.14	66.09	130.24
sisma-	151.62	143.48	62.30	121.87
	152.90	145.31	62.69	123.42







PP	=	25.00	$(kN/m^2)$
PD	=	0.00	(kN/m)

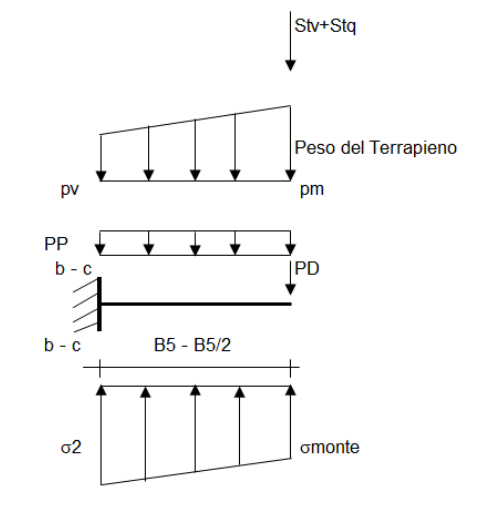
peso proprio soletta fondazione peso proprio dente

		•	•	
	Nmin	N max stat	N max sism	
=	114.00	143.00	118.00	(kN/m <sup>2</sup> )
=	114.00	143.00	118.00	(kN/m <sup>2</sup> )
=	114.00	143.00	118.00	(kN/m <sup>2</sup> )
	=	= 114.00 = 114.00	= 114.00 143.00 = 114.00 143.00	= 114.00 143.00 118.00 = 114.00 143.00 118.00

 $Mb = (\sigma_{monte} - (pvb + PP)^*(1 \pm kv))^*B5^2/2 + (\sigma 2b - \sigma_{monte})^*B5^2/6 - (pm - pvb))^*(1 \pm kv)^*B5^2/3 + (\sigma 2b - \sigma_{monte})^*B5^2/6 - (pm - pvb))^*(1 \pm kv)^*B5^2/3 + (\sigma 2b - \sigma_{monte})^*B5^2/6 - (pm - pvb))^*(1 \pm kv)^*B5^2/3 + (\sigma 2b - \sigma_{monte})^*B5^2/6 - (pm - pvb))^*(1 \pm kv)^*B5^2/3 + (\sigma 2b - \sigma_{monte})^*B5^2/6 - (pm - pvb))^*(1 \pm kv)^*B5^2/3 + (\sigma 2b - \sigma_{monte})^*B5^2/6 - (pm - pvb))^*(1 \pm kv)^*B5^2/3 + (\sigma 2b - \sigma_{monte})^*B5^2/6 - (pm - pvb))^*(1 \pm kv)^*B5^2/3 + (\sigma 2b - \sigma_{monte})^*B5^2/6 - (pm - pvb))^*(1 \pm kv)^*B5^2/3 + (\sigma 2b - \sigma_{monte})^*B5^2/6 - (pm - pvb))^*(1 \pm kv)^*B5^2/3 + (\sigma 2b - \sigma_{monte})^*B5^2/6 - (pm - pvb)^*(1 \pm kv)^*B5^2/3 + (\sigma 2b - \sigma_{monte})^*B5^2/6 - (pm - pvb)^*(1 \pm kv)^*B5^2/3 + (\sigma 2b - \sigma_{monte})^*B5^2/6 - (pm - pvb)^*(1 \pm kv)^*B5^2/3 + (\sigma 2b - \sigma_{monte})^*B5^2/6 - (pm - pvb)^*(1 \pm kv)^*B5^2/3 + (\sigma 2b - \sigma_{monte})^*B5^2/6 - (pm - pvb)^*(1 \pm kv)^*B5^2/3 + (\sigma 2b - \sigma_{monte})^*B5^2/6 - (pm - pvb)^*(1 \pm kv)^*B5^2/3 + (\sigma 2b - \sigma_{monte})^*B5^2/6 - (pm - pvb)^*(1 \pm kv)^*B5^2/6 - (pm - pvb)^*(1 \pm kv)^*(1 \pm kv)^*($ -(Stv+Sqv)\*B5-PD\*(1±kv)\*(B5-Bd/2)-PD\*kh\*(Hd+H2/2)+Msp+Sp\*H2/2

 $Mc = (\sigma_{monte} - (pvc + PP)^*(1 \pm kv))^*(B5/2)^2/2 + (\sigma_2 c - \sigma_{monte})^*(B5/2)^2/6 - (pm-pvc)^*(1 \pm kv)^*(B5/2)^2/3 + (\sigma_2 c - \sigma_{monte})^*(B5/2)^2/6 - (pm-pvc)^*(1 \pm kv)^*(B5/2)^2/3 + (\sigma_2 c - \sigma_{monte})^*(B5/2)^2/6 - (pm-pvc)^*(1 \pm kv)^*(B5/2)^2/3 + (\sigma_2 c - \sigma_{monte})^*(B5/2)^2/6 - (pm-pvc)^*(1 \pm kv)^*(B5/2)^2/3 + (\sigma_2 c - \sigma_{monte})^*(B5/2)^2/6 - (pm-pvc)^*(B5/2)^2/3 + (\sigma_2 c - \sigma_{monte})^*(B5/2)^2/3 + (\sigma_2 c - \sigma_{monte})^2/3 +$  $-(Stv+Sqv)^*(B5/2)-PD^*(1\pm kv)^*(B5/2-Bd/2)-PD^*kh^*(Hd+H2/2)+Msp+Sp^*H2/2$ 

 $Vb = (\sigma_{monte} - (pvb + PP)^*(1 \pm kv))^*B5 + (\sigma 2b - \sigma_{monte})^*B5/2 - (pm-pvb))^*(1 \pm kv)^*B5/2 - (Stv + Sqv) - PD^*(1 \pm kv)$ 



 $Vc = (\sigma_{monte} - (pvc + PP)^*(1 \pm kv))^*(B5/2) + (\sigma 2c - \sigma_{monte})^*(B5/2)/2 - (pm-pvc)^*(1 \pm kv)^*(B5/2)/2 - (Stv + Sqv) - PD^*(1 \pm kv)$ 



NV54: ROTATORIA 2: MURO DI SOSTEGNO MU81 RELAZIONE DI CALCOLO

COMMESSA	LOTTO	CODIFICA	DOCUMENTO	REV.	FOGLIO
RS3T	30 D 78	CL	MU8100 001	В	114 di 119

	omonte	σ <b>2b</b>	Mb	Vb	<b>σ2c</b>	Мс	Vc
caso	[kN/m <sup>2</sup> ]	[kN/m <sup>2</sup> ]	[kNm]	[kN]	[kN/m <sup>2</sup> ]	[kNm]	[kN]
statico	90.82	142.83	-399.55	-112.87	116.82	-127.96	-89.53
	127.94	159.71	-381.78	-123.06	143.82	-112.59	-81.74
	101.64	142.93	-354.97	-104.44	122.28	-111.03	-78.50
sisma+	106.76	145.26	-353.93	-106.40	126.01	-109.27	-77.70
	94.64	136.08	-346.43	-100.97	115.36	-108.97	-76.85
sisma-	99.76	138.40	-342.56	-101.82	119.08	-106.50	-75.50

### CALCOLO SOLLECITAZIONI PARAMENTO VERTICALE DEL MURO

#### Azioni sulla parete e Sezioni di Calcolo

Mt stat =  $\frac{1}{2} \text{Ka}_{\text{orizz.}}^{*} \gamma^{*} (1 \pm \text{kv})^{*} h^{2*} h/3$ 

 $\label{eq:Mtsism} \text{Mt sism} = \ 1/2 * \gamma * (\text{Kas}_{\text{orizz.}} * (1 \pm kv) - \text{Ka}_{\text{orizz.}}) * h^2 * h/2 \quad o * h/3$ 

 $Mq = \frac{1}{2} Ka_{\text{orizz}}^* q^* h^2$   $M_{\text{ext}} = m + f^* h$   $M_{\text{inerzia}} = \sum Pm_i^* b_i^* k h$ 

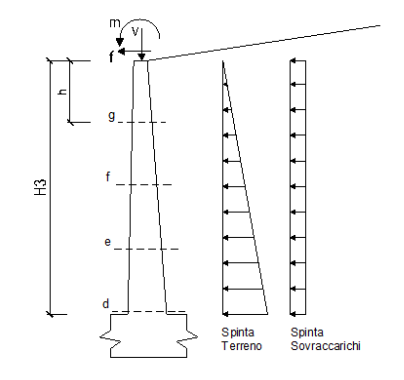
 $N_{ext} = v$ 

N  $_{pp+inerzia}$ =  $\Sigma Pm_i^*(1\pm kv)$ 

Vt stat =  $\frac{1}{2}$  Ka<sub>orizz</sub>\*  $\gamma$ \*(1±kv)\*h<sup>2</sup>

Vt sism =  $\frac{1}{2} * \gamma * (Kas_{orizz.} * (1\pm kv) - Ka_{orizz.}) * h^2$ 

 $\begin{array}{rcl} Vq & = Ka_{\text{orizz}} *q*h \\ V_{\text{ext}} & = f \\ V_{\text{inerzia}} & = \Sigma Pm_{i} *kh \end{array}$ 



#### condizione statica

sezione	h	Mt	Mq	M <sub>ext</sub>	M <sub>tot</sub>	N <sub>ext</sub>	$N_{pp}$	N <sub>tot</sub>
SCZIONE	[m]	[kNm/m]	[kNm/m]	[kNm/m]	[kNm/m]	[kN/m]	[kN/m]	[kN/m]
d-d	6.00	240.96	141.46	0.00	382.42	3.50	98.25	101.75
е-е	4.50	101.66	79.57	0.00	181.23	3.50	66.52	70.02
f-f	3.00	30.12	35.36	0.00	65.48	3.50	39.56	43.06
g-g	1.50	3.77	8.84	0.00	12.61	3.50	17.39	20.89

sezione	h	Vt	Vq	$V_{\rm ext}$	V <sub>tot</sub>
36210116	[m]	[kN/m]	[kN/m]	[kN/m]	[kN/m]
d-d	6.00	120.48	47.15	0.00	167.63
e-e	4.50	67.77	35.36	0.00	103.14
f-f	3.00	30.12	23.58	0.00	53.70
a-a	1.50	7.53	11 79	0.00	19.32

#### condizione sismica +

sezione	h	Mt stat	Mt sism	Mq	M <sub>ext</sub>	M <sub>inerzia</sub>	M <sub>tot</sub>	N <sub>ext</sub>	N <sub>pp+inerzia</sub>	N <sub>tot</sub>
	[m]	[kNm/m]	[kNm/m]	[kNm/m]	[kNm/m]	[kNm/m]	[kNm/m]	[kN/m]	[kN/m]	[kN/m]
d-d	6.00	185.36	25.46	21.60	0.00	14.04	246.45	3.50	100.94	104.44
е-е	4.50	78.20	10.74	12.15	0.00	7.31	108.39	3.50	68.34	71.84
f-f	3.00	23.17	3.18	5.40	0.00	2.99	34.74	3.50	40.64	44.14
g-g	1.50	2.90	0.40	1.35	0.00	0.68	5.33	3.50	17.87	21.37

sezione	h	Vt stat	Vt sism	Vq	V <sub>ext</sub>	V <sub>inerzia</sub>	V <sub>tot</sub>
	[m]	[kN/m]	[kN/m]	[kN/m]	[kN/m]	[kN/m]	[kN/m]
d-d	6.00	92.68	12.73	7.20	0.00	5.38	117.98
е-е	4.50	52.13	7.16	5.40	0.00	3.64	68.33
f-f	3.00	23.17	3.18	3.60	0.00	2.16	32.12
g-g	1.50	5.79	0.80	1.80	0.00	0.95	9.34

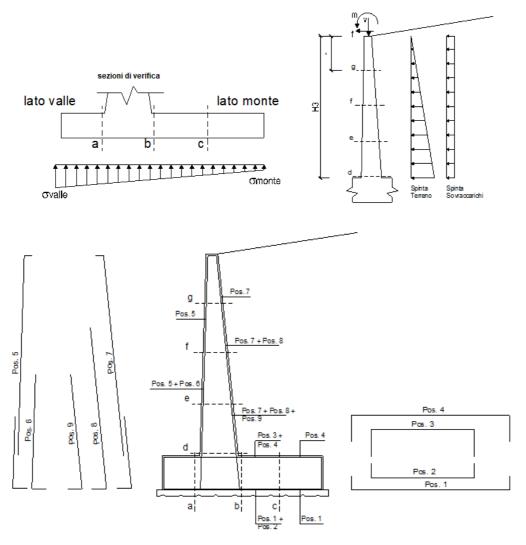
#### condizione sismica -

	CONTRICTION CONTRICT											
sezione	h	Mt stat	Mt sism	Mq	M <sub>ext</sub>	M <sub>inerzia</sub>	M <sub>tot</sub>	N <sub>ext</sub>	N <sub>pp+inerzia</sub>	$N_{tot}$		
	[m]	[kNm/m]	[kNm/m]	[kNm/m]	[kNm/m]	[kNm/m]	[kNm/m]	[kN/m]	[kN/m]	[kN/m]		
d-d	6.00	185.36	15.37	21.72	0.00	14.04	236.49	3.50	95.56	99.06		
e-e	4.50	78.20	6.48	12.22	0.00	7.31	104.21	3.50	64.70	68.20		
f-f	3.00	23.17	1.92	5.43	0.00	2.99	33.51	3.50	38.48	41.98		
g-g	1.50	2.90	0.24	1.36	0.00	0.68	5.18	3.50	16.91	20.41		

sezione	h	Vt stat	Vt sism	Vq	V <sub>ext</sub>	V <sub>inerzia</sub>	V <sub>tot</sub>
	[m]	[kN/m]	[kN/m]	[kN/m]	[kN/m]	[kN/m]	[kN/m]
d-d	6.00	92.68	7.68	7.24	0.00	5.38	112.98
e-e	4.50	52.13	4.32	5.43	0.00	3.64	65.52
f-f	3.00	23.17	1.92	3.62	0.00	2.16	30.88
g-g	1.50	5.79	0.48	1.81	0.00	0.95	9.03



#### 11.4.2 VERIFICHE SLU



### Armatura minima

L'armatura minima principale in fondazione deve essere in percentuale non inferiore allo 0.20% dell'area di conglomerato.

L'armatura minima principale presente in zona tesa deve essere in percentuale non inferiore allo 0.15% dell'area di conglomerato per l'intera lunghezza.

L'armatura secondaria, ortogonale a quella principale, deve essere pari al massimo delle seguenti percentuali:

- 0.10% dell'area di conglomerato in entrambi i lembi;
- 20% dell'armatura principale.



# Muro h = 6,00m su fondazione diretta

#### **ARMATURE**

pos	n°/ml	ф	II strato	pos	n°/ml	ф	II strato
1	10.0	16		5	10.0	16	
2	0.0	0		6	0.0	0	
3	0.0	0		7	10.0	20	
4	10.0	20		8	0.0	0	
				9	0.0	0	

Pertanto l'armatura secondaria sarà pari a:

sez a - a:  $\phi$ 10/20cm (ripartitori in fondazione e in elevazione);

sez b – b:  $\phi 10/20$ cm (ripartitori in fondazione);

sez c – c:  $\phi 10/20$ cm (ripartitori in fondazione);

sez d - d:  $\phi 10/20$ cm (ripartitori in fondazione);

sez e - e:  $\phi$ 10/20cm (ripartitori in fondazione);

sez f – f:  $\phi$ 10/20cm (ripartitori in fondazione);

sez g - g:  $\phi 10/20$ cm (ripartitori in fondazione);

Sez.	M	N	h	h Af		Mu
(-)	(kNm)	(kN)	(m)	(cm²)	(cm <sup>2</sup> )	(kNm)
a - a	26.49	0.00	1.00	20.11	31.42	709.16
b - b	-451.05	0.00	1.00	31.42	20.11	1086.96
C - C	-162.60	0.00	1.00	31.42	20.11	1086.96
d - d	382.42	101.75	0.91	31.42	20.11	1015.12
е -е	181.23	70.02	0.78	31.42	20.11	841.83
f-f	65.48	43.06	0.66	31.42	20.11	673.79
g - g	12.61	20.89	0.53	31.42	20.11	510.08

	Sez.	V <sub>Ed</sub>	h	$V_{rd}$	ø staffe	i orizz.	i vert.	θ	$V_{Rsd}$	_
_	(-)	(kN)	(m)	(kN)	(mm)	(cm)	(cm)	(°)	(kN)	<del>-</del> -
	a - a	104.70	1.00	324.74	10	20	20	21.8	1599.07	Armatura a taglio non necessaria
	b - b	130.00	1.00	360.20	10	20	20	21.8	1599.07	Armatura a taglio non necessaria
	C - C	134.65	1.00	360.20	10	20	20	21.8	1599.07	Armatura a taglio non necessaria
	d - d	167.63	0.91	356.05	10	20	20	21.8	1443.49	Armatura a taglio non necessaria
	е -е	103.14	0.78	324.46	10	20	20	21.8	1223.08	Armatura a taglio non necessaria
	f-f	53.70	0.66	291.61	10	20	20	21.8	1002.66	Armatura a taglio non necessaria
	g - g	19.32	0.53	256.82	10	20	20	21.8	782.25	Armatura a taglio non necessaria



### 11.4.3 VERIFICHE SLE TENSIONE

_			_		
( one	117	ıon		tet	100
Cond		IUII		rical	ıca

Sez.	M	M N h		Af	A'f	σC	र्ज	
(-)	(kNm)	(kN)	(m)	(cm <sup>2</sup> )	(cm <sup>2</sup> )	(N/mm <sup>2</sup> )	(N/mm <sup>2</sup> )	
a - a	22.54	0.00	1.00	20.11	31.42	0.22	13.03	
b - b	-327.20	0.00	1.00	31.42	20.11	2.80	122.95	
C - C	-116.42	0.00	1.00	31.42	20.11	0.99	43.75	
d - d	282.91	101.75	0.91	31.42	20.11	2.93	103.52	
e -e	133.07	70.02	0.78	31.42	20.11	1.81	56.04	
f-f	47.56	43.06	0.66	31.42	20.11	0.90	22.93	
g - g	8.99	20.89	0.53	31.42	20.11	0.26	4.21	

### Condizione Sismica

Sez.	M	N	h	Af	A'f	σc	σf
(-)	(kNm)	(kN)	(m)	(cm <sup>2</sup> )	(cm <sup>2</sup> )	(N/mm <sup>2</sup> )	(N/mm <sup>2</sup> )
a - a	23.57	0.00	1.00	20.11	31.42	0.23	13.63
b - b	-384.82	0.00	1.00	31.42	20.11	3.29	144.60
C - C	-137.73	0.00	1.00	31.42	20.11	1.18	51.76
d - d	246.45	99.06	0.91	31.42	20.11	2.56	88.69
е -е	108.39	68.20	0.78	31.42	20.11	1.48	44.06
f-f	34.74	41.98	0.66	31.42	20.11	0.67	15.28
g - g	5.33	20.41	0.53	31.42	20.11	0.16	1.54



#### 11.4.4 VERIFICHE SLE FESSURAZIONE

#### condizione Frequente

Sez.	M	N	h	Af	A'f	σC	σf	wk	W <sub>amm</sub>
(-)	(kNm)	(kN)	(m)	(cm <sup>2</sup> )	(cm <sup>2</sup> )	(N/mm <sup>2</sup> )	(N/mm <sup>2</sup> )	(mm)	(mm)
a - a	22.54	0.00	1.00	20.11	31.42	0.22	13.03	0.018	0.200
b - b	-327.20	0.00	1.00	31.42	20.11	2.80	122.95	0.149	0.200
C - C	-116.42	0.00	1.00	31.42	20.11	0.99	43.75	0.053	0.200
d - d	282.91	101.75	0.91	31.42	20.11	2.93	103.52	0.125	0.200
е -е	133.07	70.02	0.78	31.42	20.11	1.81	56.04	0.067	0.200
f-f	47.56	43.06	0.66	31.42	20.11	0.90	22.93	0.025	0.200
g - g	8.99	20.89	0.53	31.42	20.11	0.26	4.21	0.004	0.200

(n.b.: M+ tende le fibre di intradosso, M- tende le fibre di estradosso)

#### condizione Quasi Permanente

Sez.	M	N	h	Af	A'f	σc	σf	wk	$\mathbf{w}_{amm}$
(-)	(kNm)	(kN)	(m)	(cm <sup>2</sup> )	(cm <sup>2</sup> )	(N/mm <sup>2</sup> )	(N/mm <sup>2</sup> )	(mm)	(mm)
a - a	18.32	0.00	1.00	20.11	31.42	0.18	10.59	0.015	0.200
b - b	-216.12	0.00	1.00	31.42	20.11	1.85	81.21	0.098	0.200
C - C	-75.00	0.00	1.00	31.42	20.11	0.64	28.18	0.034	0.200
d - d	185.36	101.75	0.91	31.42	20.11	1.94	62.86	0.076	0.200
е -е	78.20	70.02	0.78	31.42	20.11	1.08	28.89	0.034	0.200
f-f	23.17	43.06	0.66	31.42	20.11	0.45	8.21	0.009	0.200
g - g	2.90	20.89	0.53	31.42	20.11	0.09	0.13	0.000	0.200



#### 11.4.5 VERIFICHE STRUTTURALI IN PRESENZA DI URTO

Per le verifiche strutturali dei muri <u>"tipo 2"</u> si considera la verifica a pressoflessione della sezione di spiccato del paramento per la quale:

M=[100\*(Hp+1)]/Lc=56.00 kNm/m momento allo spiccato

T=100/Lc=8.00 kN/m taglio allo spiccato

in cui

Lc=0.5 m +2 Hp=12.50 m larghezza di ripartizione come descritto al par. 8.4

Hp=6.00 m altezza max del paramento

			- 1	valori caratteristici	valori di p	rogetto
Carichi	<u>Agenti</u>			SLE - sisma	STR/GEO	EQU
==	Sovraccarico permanente	(kN/m <sup>2</sup> )	qp	0.00	0.00	0.00
Carichi oermanenti	Sovraccarico su zattera di monte 💿 si 🔾 no					
	Forza Orizzontale in Testa permanente	(kN/m)	fp	0.00	0.00	0.00
	Forza Verticale in Testa permanente	(kN/m)	vp	3.50	3.50	3.50
	Momento in Testa permanente	(kNm/m)	mp	0.00	0.00	0.00
	Sovraccarico Accidentale in condizioni statiche	$(kN/m^2)$	q	0.00	0.00	0.00
io et	Forza Orizzontale in Testa accidentale in condizioni statiche	(kN/m)	f	8.00	11.60	11.60
Condizioni Statiche	Forza Verticale in Testa accidentale in condizioni statiche	(kN/m)	V	0.00	0.00	0.00
S to	Momento in Testa accidentale in condizioni statiche	(kNm/m)	m	56.00	81.20	81.20
	Coefficienti di combinazione condizione frequer	ite Ψ1	1.00	condizione quasi permane	ente Ψ2	0.00
E e	Sovraccarico Accidentale in condizioni sismiche	$(kN/m^2)$	qs	0.00		
nict di	Forza Orizzontale in Testa accidentale in condizioni sismiche	(kN/m)	fs	0.00		
Condizioni Sismiche	Forza Verticale in Testa accidentale in condizioni sismiche	(kN/m)	VS	0.00		
0 0	Momento in Testa accidentale in condizioni sismiche	(kNm/m)	ms	0.00		

					<b>Verifich</b>	ne SLU
Sez.	M	N	h	Af	A'f	Mu
(-)	(kNm)	(kN)	(m)	(cm <sup>2</sup> )	(cm <sup>2</sup> )	(kNm)
a - a	23.08	0.00	1.00	20.11	31.42	705.16
b - b	-387.02	0.00	1.00	31.42	20.11	1076.39
C - C	-138.73	0.00	1.00	31.42	20.11	1076.39
d - d	342.46	101.75	0.91	31.42	20.11	1003.92
e -e	181.41	70.02	0.78	31.42	20.11	830.83
f-f	88.12	43.06	0.66	31.42	20.11	662.95
g - g	40.02	20.89	0.53	31.42	20.11	499.38

Sez.	$V_{Ed}$	h	$V_{rd}$	ø staffe	i orizz.	i vert.	θ	$V_{Rsd}$	_
(-)	(kN)	(m)	(kN)	(mm)	(cm)	(cm)	(°)	(kN)	<del>-</del> -
a - a	92.90	1.00	322.60	10	20	20	21.8	1585.25	Armatura a taglio non necessaria
b - b	107.16	1.00	358.62	10	20	20	21.8	1585.25	Armatura a taglio non necessaria
C - C	115.15	1.00	358.62	10	20	20	21.8	1585.25	Armatura a taglio non necessaria
d - d	134.98	0.91	354.27	10	20	20	21.8	1429.66	Armatura a taglio non necessaria
е -е	82.27	0.78	322.60	10	20	20	21.8	1209.25	Armatura a taglio non necessaria
f-f	44.62	0.66	289.63	10	20	20	21.8	988.83	Armatura a taglio non necessaria
g - g	22.03	0.53	254.67	10	20	20	21.8	768.42	Armatura a taglio non necessaria